

157629

Anexos



169 416

169	2652
2006	Setor:
Dulce	P.G.

Anexo I – Química mineral

As análises de química mineral foram realizadas no Laboratório de Microssonda Electrónica do centro de Geologia da Universidade de Lisboa, com uma microssonda electrónica JEOL JCXA 733X. O aparelho foi operado com potenciais de aceleração de 15 kV, corrente de emissão de 25 nA e um feixe electrónico com cerca de 5 µm de diâmetro, excepto para as análises dos óxidos nas quais se utilizou um potencial de aceleração de 18 kV.

As contagens iniciais foram corrigidas automaticamente segundo o método ZAFO e calibradas em função de padrões naturais (Si – volastonite e olivina; Ca – volastonite; Ti e Na – quersutite; Ti – ilmenite; Al – distena; Fe e Mg – olivina; Mn – rodonite; K – adularia) e metais sintéticos puros (Cr, V e Ni). O erro analítico para os elementos maiores foi, em geral, inferior a 2%.

Sistema Vulcânico Fissural - Olivinas

continua...

	PMT-8											
	oliv-1-n	oliv-2-n	oliv-2-n	oliv-3-n	oliv-4-n1	oliv-4-n2	oliv-4-n3	oliv-5-n	oliv-6-n	oliv-7-n	oliv-8-n1	oliv-8-n2
	FN	FN	FN	FN	FN	FN	FN	FN	FN	FN	FN	FN
SiO ₂	39,95	39,61	39,85	39,43	40,40	39,77	40,47	40,36	40,54	38,65	40,01	39,78
TiO ₂	0,01	0,02	0,00	0,02	0,00	0,00	0,00	0,02	0,00	0,03	0,03	0,02
Al ₂ O ₃	0,15	0,03	0,04	0,04	0,04	0,04	0,04	0,03	0,01	0,06	0,00	0,16
Cr ₂ O ₃	0,04	0,01	0,01	0,06	0,00	0,00	0,09	0,10	0,01	0,01	0,01	0,04
FeO	11,39	14,91	15,33	14,84	10,30	13,91	9,64	10,67	10,08	18,63	12,30	17,53
MnO	0,14	0,18	0,16	0,16	0,14	0,14	0,14	0,10	0,14	0,20	0,23	0,16
MgO	46,83	43,83	44,13	44,96	48,34	44,91	49,40	47,13	48,46	41,10	46,29	42,45
CaO	0,22	0,29	0,27	0,27	0,31	0,30	0,26	0,30	0,21	0,25	0,31	0,40
NiO	0,24	0,13	0,05	0,19	0,18	0,19	0,34	0,27	0,12	0,19	0,11	0,18
$\Sigma \text{Ox\%}$	98,97	99,02	99,84	99,97	99,72	99,32	100,34	99,02	99,63	99,11	99,23	100,71
<i>Fórmula estrutural calculada com base em 4 oxigénios</i>												
Si	0,998	1,005	1,004	0,992	0,997	1,002	0,990	1,004	0,999	0,998	1,001	1,004
Ti	0,000	0,000	0,000	0,000	0,000	0,000	0,000	0,000	0,000	0,000	0,001	0,000
Al/AlIV	0,004	0,001	0,001	0,001	0,001	0,001	0,001	0,001	0,002	0,000	0,005	0,001
Al VI	0,000	0,000	0,000	0,000	0,000	0,000	0,000	0,000	0,000	0,000	0,000	0,000
Cr	0,001	0,000	0,000	0,001	0,001	0,000	0,000	0,002	0,002	0,000	0,000	0,001
Fe ²⁺	0,238	0,316	0,323	0,312	0,213	0,293	0,197	0,222	0,208	0,402	0,257	0,370
Mn ²⁺	0,003	0,004	0,003	0,003	0,003	0,005	0,002	0,003	0,004	0,005	0,003	0,005
Mg	1,744	1,657	1,656	1,686	1,777	1,686	1,802	1,748	1,780	1,582	1,726	1,596
Ca	0,006	0,008	0,007	0,007	0,008	0,008	0,007	0,006	0,007	0,008	0,011	0,008
Ni	0,005	0,003	0,001	0,004	0,004	0,004	0,007	0,005	0,005	0,004	0,002	0,002
$\Sigma \text{Cat\#}$	2,999	2,996	3,007	3,003	2,998	3,008	2,994	3,000	3,001	2,999	2,998	2,996
%Fa	12,0	16,0	16,3	15,6	10,7	14,8	9,9	11,3	10,5	20,3	13,0	18,8
%Fo	88,0	84,0	83,7	84,4	89,3	85,2	90,1	88,7	89,5	79,7	87,0	81,2

FN	Núcleo de Fenocristal
FB	Bordo de Fenocristal
F1	Zona Intermédia de Fenocristal
FNC	Núcleo de Fenocristal em Cumulado
FBC	Bordo de Fenocristal em Cumulado
FIC	Zona Intermédia de Fenocristal de Cumulado
IPN	Núcleo de Inclusão em Plagioclase
IPB	Bordo de Inclusão de Plagioclase
MFN	Núcleo de Microfenocristal
MFB	Bordo de Microfenocristal
CM	Cristal da Matriz

Sistema Vulcânico Fissural - Olivinas

	...continuação											PMT-14	
	PMT-8			PMT-13			PMT-14						
	oliv-7-b	oliv-3-b1	OLIV-4-n4	OLIV-4-b4	OLIV-4-n3	OLIV-4-b1	OLIV-2-b5	OLIV-2-n5	OLIV-2-n3	OLIV-2-b3	OLIV-2-b2		
FB	FB	FN	FB	FN	FB	FN	FB	FN	FB	FN	FB	FB	
SiO ₂	40,17	39,99	40,69	39,24	40,59	38,87	38,28	38,76	39,30	40,52	39,61	37,23	
TiO ₂	0,05	0,02	0,01	0,02	0,00	0,01	0,07	0,03	0,01	0,00	0,01	0,06	
Al ₂ O ₃	0,02	0,03	0,04	0,01	0,02	0,00	0,03	0,01	0,01	0,06	0,01	0,02	
Cr ₂ O ₃	0,06	0,05	n.d.	n.d.									
FeO	12,28	13,13	10,58	15,78	10,24	17,18	22,65	18,86	17,18	14,38	27,90	17,68	
MnO	0,19	0,21	0,14	0,26	0,14	0,21	0,43	0,28	0,20	0,14	0,16	0,46	
MgO	46,04	44,84	47,91	43,45	48,40	43,04	37,87	41,06	42,55	47,35	44,90	33,35	
CaO	0,33	0,30	0,26	0,31	0,29	0,09	0,24	0,25	0,09	0,23	0,34	0,25	
NiO	0,17	0,16	0,27	0,15	0,19	0,11	0,13	0,15	0,27	0,15	0,10	0,18	
Σ OX%	99,32	98,74	99,92	99,22	99,96	99,60	99,69	99,41	99,48	100,01	99,57	99,36	
Si	1,004	1,009	1,002	0,999	0,999	0,992	1,002	0,999	1,003	1,001	0,998	1,004	
Ti	0,001	0,000	0,000	0,000	0,000	0,001	0,001	0,000	0,000	0,001	0,000	0,000	
Al/VI	0,001	0,001	0,001	0,001	0,001	0,001	0,001	0,000	0,002	0,000	0,001	0,001	
Cr	0,000	0,000	0,000	0,000	0,000	0,000	0,000	0,000	0,000	0,000	0,000	0,000	
Fe ²⁺	0,257	0,277	0,218	0,336	0,211	0,367	0,496	0,406	0,367	0,236	0,303	0,629	
Mn ²⁺	0,004	0,004	0,003	0,006	0,003	0,004	0,010	0,006	0,004	0,003	0,003	0,011	
Mg	1,715	1,686	1,759	1,649	1,775	1,638	1,477	1,577	1,618	1,744	1,686	1,340	
Ca	0,009	0,008	0,007	0,008	0,002	0,007	0,007	0,002	0,006	0,009	0,007	1,609	
Ni	0,003	0,003	0,005	0,003	0,004	0,002	0,003	0,005	0,003	0,003	0,002	0,004	
Σ Cat#	2,994	2,990	2,997	3,001	3,001	3,008	2,996	3,000	2,997	2,998	3,002	2,995	
%Fa	13,0	14,1	11,0	16,9	10,6	18,3	25,1	20,5	18,5	11,9	15,2	31,9	
%Fo	87,0	85,9	89,0	83,1	89,4	81,7	74,9	79,5	81,5	88,1	84,8	68,1	

Fórmula estrutural calculada com base em 4 oxigénios

FN	Núcleo de Fenocrystal
FB	Bordo de Fenocrystal
FI	Zona Intermédia de Fenocrystal
FNC	Núcleo de Fenocrystal em Cumulado
FBC	Bordo de Fenocrystal em Cumulado
FC	Zona Intermédia de Fenocrystal de Cumulado
IPN	Núcleo de Inclusão em Plagioclase
IPB	Bordo de Inclusão de Plagioclase
MFN	Núcleo de Microfenocrystal
MFB	Bordo de Microfenocrystal
CM	Cristal da Matriz

Sistema Vulcânico Fissural - Olivinas

...continuação

	PMT-14						PMT-15					
	Oliv-3-n1	Oliv-3-b1	Oliv-2-m	Oliv-1-n3	Oliv-1-n1	Oliv-1-b1	Oliv-3-n1	Oliv-2-n2	Oliv-1-n5	Oliv-1-b1	Oliv-1-b2	Oliv-1-n1
	FN	FB	FM	FN	FB	FN	FN	FB	FN	FB	FN	FN
SiO ₂	39,97	40,36	38,70	40,71	39,78	40,36	37,60	40,42	38,26	39,16	40,51	39,58
TiO ₂	0,02	0,03	0,00	0,02	0,01	0,03	0,00	0,07	0,01	0,07	0,00	0,02
Al ₂ O ₃	0,00	0,00	0,01	0,00	0,04	0,01	0,02	0,00	0,01	0,01	0,03	0,00
Cr ₂ O ₃	n.d.											
FeO	11,79	11,19	19,50	10,27	14,70	12,24	27,28	10,43	22,67	19,45	14,74	18,35
MnO	0,12	0,12	0,29	0,11	0,19	0,14	0,42	0,17	0,42	0,42	0,17	0,26
MgO	46,72	47,35	40,48	48,36	44,71	47,10	34,29	48,19	37,83	41,12	44,40	41,87
CaO	0,19	0,26	0,30	0,29	0,30	0,29	0,32	0,38	0,29	0,03	0,00	0,01
NiO	0,21	0,28	0,12	0,23	0,17	0,24	0,06	0,27	0,07	0,17	0,24	0,22
$\Sigma \text{Ox} \%$	99,03	99,58	99,40	99,97	99,92	100,38	100,03	99,87	99,62	100,38	100,77	99,58
<i>Fórmula estrutural calculada com base em 4 oxigénios</i>												
Si	1,000	1,001	1,000	1,001	0,999	1,003	0,997	1,002	1,001	0,996	0,998	0,999
Ti	0,000	0,000	0,000	0,000	0,000	0,000	0,001	0,000	0,001	0,000	0,000	0,003
Al/V Al IV	0,000	0,000	0,000	0,000	0,001	0,000	0,000	0,000	0,009	0,000	0,000	0,001
Al VI	0,000	0,000	0,000	0,000	0,000	0,000	0,000	0,000	0,000	0,000	0,000	0,000
Cr	-	-	-	-	-	-	-	-	-	-	-	-
Fe ²⁺	0,247	0,232	0,422	0,211	0,309	0,253	0,609	0,215	0,497	0,416	0,246	0,311
Mn ²⁺	0,003	0,002	0,006	0,002	0,004	0,003	0,010	0,004	0,009	0,009	0,004	0,005
Mg	1,741	1,750	1,560	1,772	1,674	1,735	1,363	1,772	1,477	1,567	1,755	1,668
Ca	0,005	0,007	0,008	0,008	0,008	0,009	0,010	0,008	0,001	0,000	0,000	0,001
Ni	0,004	0,006	0,002	0,005	0,003	0,005	0,001	0,005	0,001	0,004	0,005	0,004
$\Sigma \text{Cat} \#$	3,000	2,999	2,999	3,000	3,002	2,996	3,003	2,996	3,004	2,998	3,004	2,996
%Fa	12,4	11,7	21,3	10,6	15,6	12,7	30,9	10,8	25,2	21,0	12,3	19,7
%Fo	87,6	88,3	78,7	89,4	84,4	87,3	69,1	89,2	74,8	79,0	87,7	80,3

FN Núcleo de Fenocrystal

FB Bordo de Fenocrystal

FI Zona Intermédia de Fenocrystal

FNC Núcleo de Fenocrystal em Cumulado

FBC Bordo de Fenocrystal em Cumulado

FIC Zona Intermédia de Fenocrystal de Cumulado

IPN Núcleo de Inclusão em Plagioclase

IPB Bordo de Inclusão de Plagioclase

MFN Núcleo de Microfenocrystal

MFB Bordo de Microfenocrystal

CM Cristal da Matriz

Sistema Vulcânico Fissural - Olivinas

...continuação

	PMT-15															
	OLIV-2-b2 FB	OLIV-5-b FB	OLIV-5-n FN	OLIV-4-b1 FB	OLIV-4-n1 FN	OLIV-4-n2 FB	OLIV-4-n3 FN	OLIV-3-n1 FB	OLIV-3-b1 FB	OLIV-3-b2 FM	OLIV-4-m FN	OLIV-3-n3 FB	OLIV-3-s3 FN	OLIV-6-n FB	OLIV-6-p FB	
SiO ₂	40,02	37,50	39,40	39,08	39,90	40,39	40,20	39,09	39,50	38,13	39,53	39,04	39,02	39,60	40,18	39,33
TiO ₂	0,01	0,06	0,04	0,03	0,02	0,00	0,01	0,02	0,03	0,02	0,08	0,01	0,05	0,00	0,03	0,02
Al ₂ O ₃	0,05	0,00	0,00	0,04	0,08	0,00	0,01	0,03	0,02	0,05	0,02	0,07	0,00	0,00	n.d.	n.d.
Cr ₂ O ₃	n.d.	n.d.	n.d.	n.d.	n.d.	n.d.	n.d.	n.d.	n.d.	n.d.	n.d.	n.d.	n.d.	n.d.	n.d.	n.d.
FeO	13,92	25,15	15,43	18,68	11,63	11,82	12,96	18,33	16,81	21,69	17,94	20,90	18,16	17,12	12,73	17,97
MnO	0,18	0,34	0,19	0,27	0,19	0,14	0,19	0,23	0,32	0,34	0,22	0,28	0,31	0,29	0,21	0,28
MgO	46,12	35,78	44,31	40,93	47,88	47,78	46,56	41,47	43,50	39,43	42,71	39,67	41,62	43,53	46,91	42,60
CaO	0,00	0,01	0,00	0,00	0,02	0,00	0,00	0,00	0,00	0,00	0,00	0,01	0,26	0,32	0,27	0,34
NiO	0,20	0,05	0,10	0,19	0,20	0,21	0,20	0,11	0,13	0,03	0,16	0,08	0,07	0,19	0,33	0,17
Σ OX%	100,51	98,89	99,46	99,22	99,91	100,34	100,12	99,28	100,31	99,70	100,60	100,12	99,45	101,09	100,65	100,72
<i>Fórmula estrutural calculada com base em 4 oxigénios</i>																
Si	0,995	1,001	0,997	1,007	0,989	0,996	0,999	1,004	0,988	0,993	1,000	1,006	1,001	0,995	0,994	0,996
Ti	0,000	0,001	0,001	0,001	0,000	0,000	0,000	0,000	0,000	0,001	0,000	0,002	0,000	0,001	0,000	0,000
Al/Al IV	0,001	0,000	0,000	0,001	0,002	0,000	0,000	0,001	0,001	0,002	0,001	0,002	0,000	0,000	0,001	0,001
Al VI	0,000	0,000	0,000	0,000	0,000	0,000	0,000	0,000	0,000	0,000	0,000	0,000	0,000	0,000	0,000	0,000
Cr	-	-	-	-	-	-	-	-	-	-	-	-	-	-	-	-
Fe ²⁺	0,289	0,562	0,327	0,402	0,241	0,244	0,269	0,394	0,355	0,472	0,380	0,450	0,390	0,360	0,263	0,380
Mn ²⁺	0,004	0,008	0,004	0,006	0,004	0,003	0,004	0,005	0,007	0,008	0,005	0,006	0,007	0,006	0,004	0,006
Mg	1,710	1,424	1,671	1,572	1,769	1,757	1,724	1,588	1,638	1,530	1,610	1,524	1,592	1,630	1,730	1,608
Ca	0,000	0,000	0,000	0,000	0,000	0,000	0,000	0,000	0,000	0,000	0,000	0,007	0,009	0,007	0,009	0,009
Ni	0,004	0,001	0,002	0,004	0,004	0,004	0,002	0,003	0,001	0,003	0,002	0,001	0,001	0,004	0,007	0,004
Σ Cat#	3,004	2,997	3,002	2,992	3,010	3,004	3,001	2,995	3,001	3,006	2,999	2,991	2,999	3,004	3,006	3,004
%Fa	14,5	28,3	16,3	20,4	12,0	12,2	13,5	19,9	17,8	23,6	19,1	22,8	19,7	18,1	13,2	19,1
%Fo	85,5	71,7	83,7	79,6	88,0	87,8	86,5	80,1	82,2	76,4	80,9	77,2	80,3	81,9	86,8	80,9

FN	Núcleo de Fenocristal
FB	Bordo de Fenocristal
Fl	Zona Intermédia de Fenocristal
FNC	Núcleo de Fenocristal em Cumulado
FBC	Bordo de Fenocristal em Cumulado
FC	Zona Intermédia de Fenocristal de Cumulado
IPN	Núcleo de Inclusão em Plagioclase
IPB	Bordo de Inclusão de Plagioclase
MFN	Núcleo de Micropfenocristal
MFB	Bordo de Micropfenocristal
CM	Cristal da Matriz

Sistema Vulcânico Fissural - Olivinas

... Continuação

	PMT-61										PMT-19						
	OLV-1-mf	OLV-1-mfb	OLV-2-n	OLV-2-b	OLV-2-m	OLV-3-n2	OLV-3-b2	OLV-3-b1	OLV-3-n1	OLV-3-m	OLV-3-m1	Oliv-1-n	Oliv-1-b_2005	Oliv-1-b	OLV-2-n		
MFN	MFB	FN	FB	FM	FN	FB	FN	FM	FN	FM	FN	FN	FB	FN			
SiO ₂	39,66	37,58	39,89	38,37	37,32	39,86	38,37	38,21	39,71	38,43	38,49	39,07	36,92	39,93	38,42	39,29	
TiO ₂	0,00	0,16	0,00	0,04	0,09	0,01	0,01	0,00	0,01	0,03	0,05	0,00	0,03	0,01	0,06	0,04	
Al ₂ O ₃	0,00	0,00	0,02	0,00	0,04	0,00	0,00	0,12	0,03	0,03	0,01	0,03	0,00	0,04	0,03	0,00	
Cr ₂ O ₃	n.d.	n.d.	n.d.	n.d.	n.d.	n.d.	n.d.	n.d.	n.d.	n.d.	n.d.	n.d.	n.d.	0,00	0,01	0,01	
FeO	13,87	26,40	13,53	22,92	27,13	15,38	21,63	23,36	16,81	20,61	21,42	16,72	29,98	12,68	22,02	17,02	
MnO	0,18	0,40	0,19	0,28	0,38	0,21	0,31	0,34	0,25	0,29	0,29	0,25	0,46	0,15	0,36	0,20	
MgO	45,56	36,19	46,16	38,38	34,67	44,67	39,35	37,43	43,48	39,56	39,05	42,12	31,37	45,56	38,08	41,97	
CaO	0,29	0,29	0,27	0,27	0,36	0,26	0,27	0,28	0,00	0,00	0,01	0,27	0,29	0,25	0,27	0,27	
NiO	0,19	0,07	0,14	0,02	0,05	0,16	0,14	0,15	0,16	0,01	0,09	0,09	0,15	0,21	0,08	0,16	
Σ Ox%	99,75	101,08	100,21	100,29	100,04	100,55	100,21	99,80	100,46	98,95	99,43	98,56	99,20	98,83	99,33	98,96	
<i>Fórmula estrutural calculada com base em 4 oxigénios</i>																	
Si	0,995	0,988	0,994	0,998	0,996	0,998	0,994	1,002	1,001	1,002	1,003	1,005	1,008	1,004	1,006	1,007	
Ti	0,000	0,003	0,000	0,001	0,002	0,000	0,000	0,000	0,001	0,001	0,001	0,000	0,001	0,001	0,001	0,000	
Al/AlIV	0,000	0,000	0,000	0,000	0,001	0,000	0,004	0,001	0,001	0,000	0,001	0,000	0,001	0,001	0,001	0,000	
Cr	-	-	-	-	-	-	-	-	-	-	-	-	-	-	-	-	
Fe ²⁺	0,291	0,580	0,282	0,499	0,605	0,322	0,469	0,512	0,354	0,450	0,467	0,360	0,684	0,267	0,482	0,365	
Mn ²⁺	0,004	0,009	0,004	0,006	0,009	0,004	0,004	0,007	0,007	0,005	0,006	0,006	0,005	0,011	0,003	0,008	0,004
Mg	1,704	1,418	1,715	1,488	1,378	1,667	1,520	1,463	1,633	1,537	1,516	1,615	1,276	1,708	1,486	1,604	
Ca	0,008	0,008	0,007	0,008	0,010	0,007	0,007	0,008	0,000	0,000	0,000	0,007	0,008	0,007	0,008	0,007	
Ni	0,004	0,001	0,003	0,000	0,003	0,003	0,003	0,003	0,000	0,002	0,002	0,003	0,004	0,002	0,003	0,003	
Σ Cat#	3,005	3,009	3,006	3,001	3,002	3,002	3,004	2,997	2,998	2,997	2,996	2,995	2,992	2,995	2,993	2,992	
%Fa	14,6	29,0	14,1	25,1	30,5	16,2	23,6	25,9	17,8	22,6	23,5	0,2	0,3	0,1	0,2	0,2	
%Fo	85,4	71,0	85,9	74,9	69,5	83,8	76,4	74,1	82,2	77,4	76,5	0,8	0,7	0,9	0,8	0,8	

- FN Núcleo de Fenocristal
- FB Bordo de Fenocristal
- FI Núcleo Intermédia de Fenocristal
- FBC Bordo de Fenocristal em Cumulado
- FC Zona Intermédia de Fenocristal de Cumulado
- IPN Núcleo de Inclusão em Plagioclase
- IPB Bordo de Inclusão de Plagioclase
- MFN Núcleo de Microfenocristal
- MFB Bordo de Microfenocristal
- CM Cristal da Matriz

Sistema Vulcânico Fissural - Olivinas

...continuação

	PMT-19				PMT-3				PMT-27					
	Oliv-2-b	Oliv-3-n	Oliv-3-b	Oliv-2-n	Oliv-1-b	Oliv-6-n	Oliv-8-n	Oliv-1-b	Oliv-1-n1	Oliv-1-n2	Oliv-1-n3	Oliv-2-b2	Oliv-2-b1	Oliv-3-b3
	FB	FN	FB	FN	FB	FN	FB	FN	FB	FN	FB	FN	FB	FN
SiO ₂	38,03	39,21	39,05	40,19	38,71	39,85	39,85	38,53	38,79	38,74	36,78	38,12	35,23	37,20
TiO ₂	0,07	0,02	0,04	0,01	0,05	0,01	0,02	0,02	0,01	0,02	0,07	0,04	0,04	0,09
Al ₂ O ₃	0,04	0,03	0,02	0,05	0,04	0,03	0,02	0,01	0,03	0,02	0,01	0,00	0,00	0,14
Cr ₂ O ₃	0,01	0,01	0,08	0,08	0,00	0,09	0,00	n.d.	n.d.	n.d.	n.d.	n.d.	n.d.	n.d.
FeO	23,32	16,39	19,99	12,77	23,89	14,66	15,02	21,65	22,15	22,57	33,83	21,72	36,64	34,84
MnO	0,30	0,19	0,25	0,17	0,28	0,17	0,17	0,30	0,32	0,31	0,56	0,37	0,65	0,70
MgO	38,33	42,32	39,15	45,77	35,53	43,61	43,93	38,09	38,72	38,57	28,90	38,10	25,89	27,65
CaO	0,28	0,25	0,28	0,27	0,30	0,28	0,24	0,23	0,23	0,23	0,24	0,20	0,25	0,32
NiO	0,10	0,21	0,16	0,19	0,08	0,19	0,27	0,00	0,08	0,05	0,01	0,06	0,00	0,10
$\Sigma O\%$	100,47	98,63	99,02	99,50	98,88	98,89	99,54	98,82	100,34	100,49	100,39	98,61	98,71	99,24
<i>Fórmula estrutural calculada com base em 4 oxigénios</i>														
Si	0,991	1,006	1,014	1,004	1,025	1,011	1,006	1,011	1,004	1,004	1,009	1,004	1,002	1,019
Ti	0,001	0,000	0,001	0,000	0,001	0,000	0,000	0,000	0,001	0,001	0,001	0,000	0,002	0,000
Al/Al IV	0,001	0,001	0,001	0,002	0,001	0,001	0,000	0,000	0,001	0,000	0,000	0,000	0,005	0,000
Al VI	0,000	0,000	0,000	0,000	0,000	0,000	0,000	0,000	0,000	0,000	0,000	0,000	0,000	0,000
Cr	0,000	0,000	0,002	0,002	0,000	0,002	0,000	0,000	0,000	0,000	0,000	0,000	0,000	0,000
Fe ²⁺	0,508	0,352	0,434	0,267	0,529	0,311	0,317	0,475	0,480	0,489	0,776	0,478	0,872	0,798
Mn ²⁺	0,007	0,004	0,005	0,004	0,006	0,004	0,004	0,007	0,007	0,007	0,013	0,008	0,016	0,007
Mg	1,489	1,619	1,516	1,705	1,402	1,648	1,653	1,490	1,494	1,489	1,182	1,496	1,098	1,129
Ca	0,008	0,007	0,008	0,007	0,008	0,008	0,007	0,006	0,006	0,006	0,007	0,006	0,008	0,009
Ni	0,002	0,004	0,003	0,004	0,002	0,004	0,006	0,000	0,002	0,001	0,000	0,001	0,000	0,002
$\Sigma Ca\#$	3,007	2,993	2,984	2,974	2,988	2,993	2,989	2,995	2,996	2,989	2,995	2,997	2,977	3,001
%Fa	0,3	0,2	0,2	0,1	0,3	0,2	0,2	0,2	0,2	0,2	0,2	0,2	0,3	0,2
%Fo	0,7	0,8	0,8	0,9	0,7	0,8	0,8	0,8	0,8	0,8	0,8	0,8	0,7	0,8

FN Núcleo de Fenocristal

FB Bordo de Fenocristal

FI Zona Intermédia de Fenocristal

FNC Núcleo de Fenocristal em Cumulado

FBC Bordo de Fenocristal em Cumulado

FIC Zona Intermédia de Fenocristal de Cumulado

IPN Núcleo de Inclusão em Plagioclase

IPB Bordo de Inclusão de Plagioclase

MFN Núcleo de Microfenocristal

MFB Bordo de Microfenocristal

CM Cristal da Matriz

Sistema Vulcânico Fissural - Olivinas

...continuação

PMT-27					PMT-88											
	OLIV-3-n3	OLIV-3-b1	OLIV-3-n1	OLIV-3-m	OLIV-1-m	OLIV-2-n	OLIV-2-b	OLIV-2-na	OLIV-3-n	OLIV-3-b	OLIV-3-na	OLIV-4-b2	OLIV-4-n2	OLIV-4-n1	OLIV-4-b1	OLIV-4-ba
	FN	FB	FN	FM	FM	FN	FB	FI	FN	FB	FI	FBC	FNC	FNC	FBC	FIG
SiO ₂	38,66	38,42	38,69	36,05	33,96	39,15	36,33	38,56	39,51	36,81	39,22	39,27	39,66	39,53	37,64	38,03
TiO ₂	0,03	0,02	0,03	0,10	0,08	0,00	0,05	0,04	0,02	0,03	0,00	0,02	0,00	0,00	0,04	0,01
Al ₂ O ₃	0,06	0,02	0,04	0,00	0,00	0,03	0,01	0,03	0,00	0,01	0,01	0,02	0,03	0,00	0,03	0,03
Cr ₂ O ₃	n.d.	n.d.	n.d.	n.d.	n.d.	n.d.	n.d.	n.d.	n.d.	n.d.	n.d.	n.d.	n.d.	n.d.	n.d.	n.d.
FeO	20,04	21,49	20,19	39,20	45,83	16,72	32,22	21,28	16,85	29,92	16,39	14,63	15,06	14,87	26,54	23,75
MnO	0,30	0,24	0,35	0,73	1,10	0,22	0,66	0,37	0,22	0,56	0,24	0,21	0,21	0,21	0,54	0,40
MgO	40,30	39,46	40,28	25,30	17,39	43,67	30,65	39,67	43,82	33,14	43,98	44,83	45,16	44,68	35,00	37,69
CaO	0,22	0,23	0,23	0,22	0,33	0,29	0,22	0,26	0,24	0,23	0,27	0,28	0,29	0,27	0,29	0,27
NiO	0,08	0,11	0,01	0,01	0,02	0,16	0,03	0,16	0,15	0,07	0,16	0,19	0,20	0,25	0,12	0,16
Σ Ox%	99,70	100,00	99,82	101,61	98,72	100,22	100,17	100,35	100,84	100,77	100,26	99,45	100,59	99,84	100,17	100,36
<i>Fórmula estrutural calculada com base em 4 oxigénios</i>																
Si	0,999	0,996	0,999	1,004	1,017	0,991	0,994	0,996	0,993	0,989	0,991	0,992	0,992	0,996	1,000	0,995
Ti	0,001	0,000	0,001	0,002	0,002	0,000	0,001	0,001	0,000	0,001	0,000	0,000	0,000	0,001	0,000	0,000
Al/VI	0,002	0,001	0,001	0,001	0,000	0,001	0,000	0,001	0,000	0,000	0,000	0,001	0,001	0,001	0,000	0,001
Cr	-	-	-	-	-	-	-	-	-	-	-	-	-	-	-	-
Fe ²⁺	0,433	0,466	0,436	0,913	1,148	0,354	0,737	0,460	0,354	0,672	0,346	0,309	0,315	0,313	0,590	0,520
Mn ²⁺	0,007	0,005	0,008	0,017	0,028	0,005	0,015	0,008	0,005	0,013	0,005	0,004	0,004	0,004	0,012	0,009
Mg	1,551	1,525	1,550	1,050	0,776	1,648	1,250	1,527	1,642	1,327	1,656	1,689	1,684	1,678	1,386	1,469
Ca	0,006	0,007	0,006	0,006	0,011	0,008	0,007	0,007	0,006	0,007	0,007	0,008	0,008	0,007	0,008	0,008
Ni	0,002	0,002	0,000	0,001	0,003	0,001	0,003	0,003	0,001	0,003	0,003	0,004	0,004	0,005	0,003	0,003
Σ Cat#	3,000	3,003	3,000	2,994	2,981	3,009	3,005	3,003	3,006	3,010	3,009	3,007	3,008	3,004	2,999	3,005
%Fa	21,8	23,4	22,0	46,5	59,7	17,7	37,1	23,1	17,7	33,6	17,3	15,5	15,8	15,7	29,9	26,1
%Fo	78,2	76,6	78,0	53,5	40,3	82,3	62,9	76,9	82,3	66,4	82,7	84,5	84,2	84,3	70,1	73,9

FN	Níclleo de Fenocrystal
FB	Bordo de Fenocrystal
FI	Zona Intermédia de Fenocrystal
FNC	Níclleo de Fenocrystal em Cumulado
FBC	Bordo de Fenocrystal em Cumulado
FC	Zona Intermédia de Fenocrystal de Cumulado
IPN	Núcleo de Inclusão em Plagioclase
IPB	Bordo de Inclusão de Plagioclase
MFN	Núcleo de Microfenocrystal
MFB	Bordo de Microfenocrystal
CM	Cristal da Matriz

Sistema Vulcânico Fissural - Olivinas

...continuação

	PMT-88			PMT-51		
	Oliv-4-na	Oliv-4-n4	Oliv-4-n4a	Oliv-4-n3	Oliv-4-b3	Oliv-4-m
	FIC	FNC	FBC	FIC	FNC	FM
SiO ₂	40,14	39,51	36,88	39,15	39,42	37,09
TiO ₂	0,00	0,00	0,06	0,02	0,01	0,09
Al ₂ O ₃	0,01	0,02	0,00	0,03	0,00	0,16
Cr ₂ O ₃	n.d.	n.d.	n.d.	n.d.	n.d.	n.d.
FeO	15,16	14,99	31,91	14,95	15,16	33,31
MnO	0,18	0,23	0,63	0,16	0,23	0,73
MgO	45,49	45,16	31,18	44,26	44,67	30,39
CaO	0,32	0,28	0,26	0,28	0,32	0,26
NiO	0,26	0,17	0,08	0,18	0,23	0,03
$\Sigma \text{Ox}/\%$	101,56	100,37	101,01	99,02	100,04	101,91
						100,70
						99,26
						99,37
						99,78
						99,61
						99,10
						99,77

	Fórmula estrutural calculada com base em 4 oxigénios					
	Si	Ti	Al/Al IV	Al VI	Cr	Fe ²⁺
Si	0,994	0,991	0,997	0,995	1,000	1,001
Ti	0,000	0,000	0,001	0,000	0,002	0,003
Al/Al IV	0,000	0,001	0,000	0,001	0,000	0,000
Al VI	0,000	0,000	0,000	0,000	0,000	0,000
Cr	-	-	-	-	-	-
Fe ²⁺	0,314	0,722	0,318	0,319	0,751	0,875
Mn ²⁺	0,004	0,015	0,004	0,005	0,017	0,022
Mg	1,679	1,688	1,257	1,676	1,221	1,086
Ca	0,008	0,008	0,007	0,008	0,009	0,007
Ni	0,005	0,004	0,002	0,004	0,005	0,001
$\Sigma \text{Cat}\#$	3,006	3,001	3,004	3,007	3,002	2,998
%Fa	15,8	15,7	36,5	15,9	16,0	38,1
%Fo	84,2	84,3	63,5	84,1	84,0	61,9

	FN	FB	FI	FNC	FBC	FC	IPN	IPB	MFN	MFB	CM
Núcleo de Fenocristal	FN	Bordo de Fenocristal	Zona intermédia de Fenocristal	FNC	Núcleo de Fenocristal em Cumulado	FB	Bordo de Fenocristal em Cumulado	FC	Zona intermédia de Fenocristal de Cumulado	IPN	Núcleo de Inclusão em Plagioclase
Bordo de Fenocristal	FN	Bordo de Fenocristal	Zona intermédia de Fenocristal	FNC	Núcleo de Fenocristal em Cumulado	FB	Bordo de Fenocristal em Cumulado	FC	Zona intermédia de Fenocristal de Cumulado	IPB	Bordo de Inclusão de Plagioclase
Zona intermédia de Fenocristal	FN	Bordo de Fenocristal	Zona intermédia de Fenocristal	FNC	Núcleo de Fenocristal em Cumulado	FB	Bordo de Fenocristal em Cumulado	FC	Zona intermédia de Fenocristal de Cumulado	IPB	Bordo de Inclusão de Plagioclase
Zona intermédia de Fenocristal	FN	Bordo de Fenocristal	Zona intermédia de Fenocristal	FNC	Núcleo de Fenocristal em Cumulado	FB	Bordo de Fenocristal em Cumulado	FC	Zona intermédia de Fenocristal de Cumulado	IPB	Bordo de Inclusão de Plagioclase
Núcleo de Microfenocristal	FN	Bordo de Microfenocristal	Zona intermédia de Microfenocristal	FNC	Núcleo de Microfenocristal	FB	Bordo de Microfenocristal	FC	Zona intermédia de Microfenocristal	IPB	Cristal da Matriz

Sistema Vulcânico Fissural - Olivinas

...Continuação

	PMT-Serr-2		
	Serr_oliv_2_nucl FN	Serr_oliv_2_bord FB	Serr_oliv_4_nucl FN
SiO ₂	39,48	39,55	39,61
TiO ₂	0,09	0,00	0,00
Al ₂ O ₃	0,06	0,01	0,13
Cr ₂ O ₃	0,04	0,00	0,01
FeO	14,63	14,94	15,60
MnO	0,18	0,23	0,01
MgO	44,15	44,01	43,03
CaO	0,17	0,24	0,21
NiO	0,03	0,28	0,11
Σ O ^{x%}	98,84	99,26	98,72
Fórmula estrutural calculada com base em 4 oxigénios			
Si	1,002	1,002	1,009
Ti	0,002	0,000	0,000
Al/VAl/IV	0,002	0,000	0,004
Al/VI	0,000	0,000	0,001
Cr	0,001	0,000	0,000
Fe ²⁺	0,310	0,317	0,332
Mn ²⁺	0,004	0,005	0,000
Mg	1,670	1,662	1,634
Ca	0,005	0,007	0,006
Ni	0,001	0,006	0,002
Σ Cat#	2,995	2,998	2,989
%Fa	15,7	16,0	16,9
%Fo	84,3	84,0	83,1
			82,7

FN	Núcleo de Fenocristal
FB	Bordo de Fenocristal
FI	Zona Intermédia de Fenocristal
FNC	Núcleo de Fenocristal em Cumulado
FBC	Bordo de Fenocristal em Cumulado
FIC	Zona Intermédia de Fenocristal de Cumulado
IPN	Núcleo de Inclusão em Plagioclase
IPB	Bordo de Inclusão de Plagioclase
MFN	Núcleo de Microfenocristal
MFB	Bordo de Microfenocristal
CM	Cristal da Matriz

Sistema Vulcânico Fissural - Olivinas

...continuação

	PMT-101													
	OLIV-3-n1 FN	OLIV-3-n2 FN	OLIV-4-n1 FN	OLIV-4-n2 FN	OLIV-5-n1 FN	OLIV-5-n4 FN	OLIV-2-n FN	OLIV-1-n2 FN	OLIV-3-n1 FN	OLIV-3-n2 FN	OLIV-4-n FNC	OLIV-5-n2 FNC	OLIV-5-n4 FNC	OLIV-6-n2 FNC
SiO ₂	38,89	39,63	39,17	39,35	39,25	39,85	39,17	39,48	38,91	38,67	39,38	39,29	39,76	39,94
TiO ₂	0,02	0,02	0,00	0,03	0,05	0,02	0,03	0,01	0,01	0,00	0,01	0,02	0,02	0,00
Al ₂ O ₃	0,01	0,04	0,05	0,05	0,05	0,04	0,02	0,02	0,06	0,00	0,02	0,03	0,03	0,03
Cr ₂ O ₃	n.d.	n.d.	n.d.	n.d.	n.d.	n.d.	n.d.	n.d.	n.d.	n.d.	n.d.	n.d.	n.d.	n.d.
FeO	17,33	17,86	18,79	18,43	19,86	14,92	17,35	15,24	18,92	19,83	16,68	16,34	15,17	15,42
MnO	0,28	0,22	0,30	0,28	0,29	0,25	0,23	0,22	0,26	0,27	0,23	0,26	0,18	0,19
MgO	43,07	43,01	41,71	41,81	40,57	44,25	42,45	44,50	42,01	40,93	43,57	43,43	44,92	44,67
CaO	0,25	0,24	0,21	0,24	0,23	0,26	0,26	0,22	0,24	0,21	0,23	0,25	0,25	0,25
NiO	0,11	0,09	0,09	0,09	0,16	0,19	0,02	0,11	0,04	0,10	0,13	0,12	0,15	0,16
Σ OX%	99,97	101,12	100,31	100,27	100,45	99,73	99,54	99,88	100,37	100,06	100,22	99,72	100,47	100,67
<i>Fórmula estrutural calculada com base em 4 oxigénios</i>														
Si	0,990	0,997	0,999	1,002	1,004	1,004	1,000	0,995	0,993	0,995	0,996	0,997	0,995	0,999
Ti	0,000	0,000	0,000	0,001	0,001	0,000	0,001	0,000	0,000	0,000	0,000	0,000	0,000	0,000
Al/Al IV	0,000	0,001	0,001	0,001	0,001	0,001	0,001	0,002	0,000	0,000	0,001	0,001	0,001	0,001
Al VI	0,000	0,000	0,000	0,000	0,000	0,000	0,000	0,000	0,000	0,000	0,000	0,000	0,000	0,000
Cr	-	-	-	-	-	-	-	-	-	-	-	-	-	-
Fe ²⁺	0,369	0,376	0,401	0,392	0,425	0,314	0,370	0,321	0,404	0,426	0,353	0,347	0,318	0,322
Mn ²⁺	0,006	0,005	0,006	0,006	0,006	0,005	0,005	0,006	0,006	0,005	0,006	0,004	0,004	0,004
Mg	1,634	1,614	1,585	1,586	1,547	1,661	1,615	1,672	1,598	1,569	1,642	1,643	1,676	1,665
Ca	0,007	0,007	0,006	0,006	0,006	0,007	0,007	0,006	0,007	0,006	0,006	0,007	0,007	0,007
Ni	0,002	0,002	0,002	0,003	0,004	0,000	0,002	0,001	0,002	0,003	0,002	0,003	0,003	0,003
Σ Ca#	3,009	3,002	3,000	2,997	2,994	2,996	2,999	3,004	3,007	3,005	3,004	3,002	3,004	3,001
%Fa	18,4	18,9	20,2	19,8	21,5	15,9	18,7	16,1	20,2	21,4	17,7	17,4	15,9	16,2
%Fo	81,6	81,1	79,8	80,2	78,5	84,1	81,3	83,9	79,8	78,6	82,3	82,6	84,1	83,8

FN	Núcleo de Fenocristal
FB	Bordo de Fenocristal
FI	Zona Intermédia de Fenocristal
FNC	Núcleo de Fenocristal em Cumulado
FBC	Bordo de Fenocristal em Cumulado
FIC	Zona Intermédia de Fenocristal de Cumulado

Sistema Vulcânico Fissural - Olivinas

...continuação

	PMT-101						PMT-102					
	Oliv-6-n1 FNC	Oliv-7-n FN	Oliv-9-n FN	Oliv-8-n3 FN	Oliv-8-n2 FN	Oliv-8-n1 FN	Oliv-cum-n FB	Oliv-cum-n FB	Oliv-2-ba FB	Oliv-3-b1 FB	Oliv-3-b2 FB	Oliv-3-b3 FB
SiO ₂	39,32	39,41	37,92	39,08	39,44	40,18	39,62	38,71	39,00	39,07	38,77	38,83
TiO ₂	0,03	0,03	0,06	0,04	0,02	0,00	0,02	0,05	0,00	0,03	0,02	0,04
Al ₂ O ₃	0,00	0,02	0,03	0,04	0,06	0,01	0,01	0,03	0,01	0,02	0,05	0,02
Cr ₂ O ₃	n.d.	n.d.	n.d.	n.d.	n.d.	n.d.	n.d.	n.d.	n.d.	n.d.	n.d.	n.d.
FeO	14,72	17,09	25,06	15,39	15,28	15,41	17,49	17,57	17,53	15,37	15,70	18,18
MnO	0,17	0,24	0,45	0,20	0,21	0,23	0,23	0,27	0,27	0,28	0,24	0,20
MgO	45,06	43,11	35,65	44,36	44,75	44,93	43,94	42,06	42,13	42,49	44,33	43,92
CaO	0,28	0,24	0,24	0,25	0,23	0,27	0,24	0,25	0,25	0,27	0,26	0,27
NiO	0,15	0,09	0,07	0,13	0,15	0,13	0,01	0,11	0,15	0,07	0,11	0,16
Σ OX%	99,74	100,23	99,49	99,49	100,17	101,04	99,59	98,96	99,38	99,74	99,16	99,57
Si	0,991	0,998	1,006	0,991	0,992	1,000	1,002	0,996	0,999	0,997	0,987	0,990
Ti	0,001	0,001	0,001	0,001	0,000	0,000	0,000	0,001	0,000	0,000	0,001	0,000
Al/Al IV	0,000	0,001	0,001	0,001	0,002	0,000	0,000	0,001	0,000	0,001	0,002	0,000
Al VI	0,000	0,000	0,000	0,000	0,000	0,000	0,000	0,000	0,000	0,000	0,000	0,000
Cr	-	-	-	-	-	0,000	-	-	-	-	-	-
Fe ²⁺	0,310	0,362	0,556	0,326	0,322	0,318	0,326	0,376	0,376	0,374	0,327	0,335
Mn ²⁺	0,004	0,005	0,010	0,004	0,005	0,005	0,005	0,006	0,006	0,005	0,004	0,006
Mg	1,692	1,627	1,410	1,676	1,677	1,667	1,656	1,613	1,609	1,616	1,681	1,669
Ca	0,007	0,007	0,007	0,007	0,006	0,007	0,006	0,007	0,007	0,007	0,007	0,007
Ni	0,003	0,002	0,002	0,003	0,003	0,003	0,002	0,002	0,003	0,001	0,002	0,003
Σ Cat#	3,008	3,001	2,992	3,008	3,007	3,000	2,998	3,003	3,001	3,003	3,012	3,009
%Fa	15,5	18,2	28,3	16,3	16,1	16,0	16,4	18,9	19,0	18,8	16,3	19,6
%Fo	84,5	81,8	71,7	83,7	83,9	84,0	83,6	81,1	81,0	81,2	83,7	80,4

FN Núcleo de Fenocristal
FB Bordo de Fenocristal
FI Zona Intermédia de Fenocristal
FNC Núcleo de Fenocristal em Cumulado
FBC Bordo de Fenocristal em Cumulado
FIC Zona Intermédia de Fenocristal de Cumulado

IPN Núcleo de Inclusão em Plagioclase
IPB Bordo de Inclusão de Plagioclase
MFN Núcleo de Micropfenocristal
MFB Bordo de Micropfenocristal
CM Cristal da Matriz

PMT-101
PMT-102
Fórmula estrutural calculada com base em 4 oxigénios

Sistema Vulcânico Fissural - Olivinas

...continuação

	PMT-101													
	OLI-2-ba FB	OLI-3-b2 FB	OLI-3-b1 FB	OLI-4-ba FB	OLI-5-b FB	OLI-6-b FB	OLI-7-b FB	OLI-8-b FB	OLIV-3-b1 FB	OLIV-3-b2 FB	OLIV-4-b1 FB	OLIV-4-b2 FB	OLIV-5-b1 FB	OLIV-2-b4 FB
SiO ₂	37,20	39,39	38,67	39,19	38,38	39,03	39,09	39,59	39,11	37,70	39,53	38,52	38,05	37,96
TiO ₂	0,04	0,02	0,03	0,01	0,05	0,01	0,03	0,02	0,00	0,04	0,06	0,03	0,05	0,07
Al ₂ O ₃	0,01	0,02	0,01	0,02	0,05	0,01	0,02	0,00	0,00	0,04	0,06	0,00	0,00	0,02
Cr ₂ O ₃	n.d.	n.d.	n.d.	n.d.	n.d.	n.d.	n.d.	n.d.	n.d.	n.d.	n.d.	n.d.	n.d.	n.d.
FeO	28,23	14,75	19,55	17,07	24,33	18,78	18,56	16,93	17,85	25,36	20,83	21,56	24,91	29,07
MnO	0,40	0,21	0,24	0,30	0,39	0,29	0,28	0,28	0,26	0,37	0,26	0,30	0,36	0,46
MgO	33,55	44,63	40,66	43,44	37,42	42,16	42,18	43,42	42,03	35,89	39,49	38,60	35,86	33,45
CaO	0,25	0,29	0,28	0,29	0,26	0,23	0,24	0,25	0,29	0,25	0,26	0,25	0,35	0,35
NiO	0,01	0,14	0,10	0,13	0,04	0,12	0,08	0,05	0,09	0,09	0,10	0,15	0,04	0,01
Σ OX%	99,68	99,44	99,55	100,46	100,92	100,65	100,47	100,54	99,60	99,74	100,55	99,42	99,52	101,38
<i>Fórmula estrutural calculada com base em 4 oxigénios</i>														
Si	1,001	0,995	0,998	0,991	0,999	0,993	0,995	0,998	1,000	1,000	1,013	1,005	1,008	1,006
Ti	0,001	0,000	0,001	0,000	0,001	0,000	0,001	0,000	0,001	0,001	0,001	0,000	0,001	0,001
Al/Al IV	0,000	0,000	0,000	0,000	0,002	0,000	0,001	0,000	0,000	0,001	0,000	0,000	0,001	0,001
Al VI	0,000	0,000	0,000	0,000	0,000	0,000	0,000	0,000	0,000	0,000	0,000	0,000	0,000	0,000
Cr	-	-	-	-	-	-	-	-	-	-	-	-	-	-
Fe ²⁺	0,635	0,312	0,422	0,361	0,530	0,400	0,395	0,357	0,382	0,562	0,446	0,471	0,552	0,644
Mn ²⁺	0,009	0,004	0,005	0,006	0,009	0,006	0,006	0,006	0,008	0,006	0,007	0,008	0,010	0,010
Mg	1,345	1,681	1,564	1,638	1,452	1,598	1,600	1,632	1,602	1,418	1,509	1,501	1,415	1,321
Ca	0,007	0,008	0,008	0,008	0,007	0,007	0,006	0,007	0,008	0,007	0,007	0,007	0,010	0,010
Ni	0,000	0,003	0,002	0,003	0,001	0,002	0,001	0,002	0,002	0,002	0,003	0,003	0,001	0,000
Σ Cat#	2,998	3,004	3,001	3,008	3,000	3,007	3,004	3,001	2,999	2,999	2,985	2,994	2,991	2,993
%Fa	32,1	15,6	21,2	18,1	26,7	20,0	19,8	18,0	19,2	28,4	22,8	23,9	28,0	32,8
%FO	67,9	84,4	78,8	81,9	73,3	80,0	80,2	82,0	80,8	71,6	77,2	76,1	72,0	67,2

FN	Núcleo de Fenocristal
FB	Bordo de Fenocristal
FI	Zona Intermédia de Fenocristal
FNC	Núcleo de Fenocristal em Cumulado
FBC	Bordo de Fenocristal em Cumulado
FIC	Zona Intermédia de Fenocristal de Cumulado

IPN	Núcleo de Inclusão em Plagioclase
IPB	Bordo de Inclusão de Plagioclase
MFN	Núcleo de Microfenocristal
MFB	Bordo de Microfenocristal
CM	Cristal da Matriz

Sistema Vulcânico Fissural - Olivinas

...continuação

	PMT-10 ¹											
	Oliv-1-b FB	Oliv-2-b FB	Oliv-3-b1 FB	Oliv-3-b2 FB	Oliv-4-b FB	Oliv-5-b3 FB	Oliv-5-b4 FB	Oliv-6-b2 FB	Oliv-6-b1 FB	Oliv-7-b FB	Oliv-8-b3 FB	Oliv-8-b2 FB
SiO ₂	37,39	37,97	38,12	37,48	38,72	38,83	38,00	38,22	38,99	39,04	37,09	37,29
TiO ₂	0,02	0,01	0,02	0,06	0,03	0,04	0,01	0,04	0,00	0,04	0,02	0,08
Al ₂ O ₃	0,00	0,00	0,01	0,00	0,00	0,01	0,00	0,06	0,00	0,03	0,00	0,00
Cr ₂ O ₃	n.d.	n.d.	n.d.	n.d.	n.d.	n.d.	n.d.	n.d.	n.d.	n.d.	n.d.	n.d.
FeO	29,79	24,41	24,23	27,32	18,86	18,27	27,21	23,02	18,70	16,34	28,85	24,96
MnO	0,57	0,41	0,47	0,45	0,30	0,27	0,46	0,40	0,33	0,28	0,53	0,42
MgO	32,22	37,17	37,13	34,64	41,55	42,10	34,70	37,69	42,39	42,97	32,50	36,03
CaO	0,25	0,23	0,23	0,28	0,23	0,20	0,23	0,22	0,23	0,24	0,28	0,24
NiO	0,03	0,12	0,08	0,04	0,14	0,13	0,06	0,16	0,17	0,08	0,03	0,11
Σ O _x %	100,27	100,33	100,31	100,27	99,82	99,85	100,77	99,71	100,87	98,97	99,32	99,63
												99,81

Fórmula estrutural calculada com base em 4 oxigénios

	Si	Ti	Al/Al IV	Al VI	Cr	Fe ²⁺	Mn ²⁺	Mg	Ca	Ni	Cat#	
	1,007	0,996	0,999	0,998	0,994	0,994	1,004	1,002	0,990	0,999	1,005	1,003
	0,000	0,000	0,000	0,001	0,001	0,001	0,001	0,000	0,001	0,000	0,001	1,000
	0,000	0,000	0,000	0,000	0,000	0,006	0,006	0,010	0,009	0,007	0,006	0,002
	0,000	0,000	0,000	0,000	0,000	0,531	0,608	0,405	0,391	0,601	0,505	0,349
	-	-	-	-	-	0,536	0,531	0,405	0,391	0,601	0,505	0,349
	0,671	0,013	0,009	0,010	0,010	0,010	0,006	0,006	0,010	0,009	0,009	0,657
	1,293	1,453	1,451	1,374	1,590	1,374	1,590	1,606	1,367	1,473	1,604	1,317
	0,007	0,006	0,007	0,008	0,006	0,006	0,008	0,007	0,006	0,007	0,008	1,316
	0,001	0,003	0,002	0,001	0,003	0,001	0,003	0,001	0,003	0,002	0,001	0,008
	2,993	3,004	3,000	3,001	3,005	3,006	3,006	3,006	2,994	3,009	3,001	2,998
%Fa	34,2	26,9	26,8	30,7	20,3	19,6	30,6	25,5	19,8	17,6	33,2	33,3
%Fo	65,8	73,1	73,2	69,3	79,7	80,4	69,4	74,5	80,2	82,4	66,8	66,7

- FN Núcleo de Fenocristal
FB Bordo de Fenocristal
FI Zona Intermédia de Fenocristal
FNC Núcleo de Fenocristal em Cumulado
FBC Bordo de Fenocristal em Cumulado
FIC Zona Intermédia de Fenocristal de Cumulado
- IPN Núcleo de Inclusão em Plagioclase
IPB Bordo de Inclusão de Plagioclase
MFN Núcleo de Micrófenocristal
MFB Bordo de Micrófenocristal
CM Cristal da Matriz

Sistema Vulcânico Fissural - Olivinas

...continuação

	PMT-101												
	inc_1_n	inc_3_n	inc_3_b	inc_4_n	inc_4_b	eud_1_n	eud_1_b	eud_2_n	eud_2_b	eud_4_n	eud_4_b	eud(cast)_3_n	eud(cast)_3_b
	FN	FN	FB	FN	FB								
SiO ₂	37,91	39,56	37,70	37,96	37,58	39,05	37,99	37,04	38,01	38,50	38,25	38,76	38,76
TiO ₂	0,00	0,00	0,00	0,00	0,00	0,00	0,00	0,05	0,00	0,02	0,00	0,03	0,03
Al ₂ O ₃	0,02	0,08	0,03	0,02	0,04	0,05	0,03	0,02	0,02	0,03	0,02	0,04	0,04
Cr ₂ O ₃	n.d.	n.d.											
FeO	15,92	16,84	21,68	15,45	22,61	15,50	24,63	23,87	22,21	16,89	16,90	15,96	15,46
MnO	0,17	0,19	0,24	0,23	0,42	0,24	0,40	0,27	0,24	0,21	0,24	0,21	0,22
MgO	44,12	42,21	40,17	45,73	38,82	44,50	35,61	37,52	38,96	45,22	44,62	45,99	45,97
CaO	0,29	0,26	0,17	0,22	0,22	0,27	0,24	0,17	0,23	0,23	0,21	0,21	0,21
NiO	0,15	0,19	0,12	0,08	0,04	0,09	0,10	0,08	0,05	0,13	0,07	0,17	0,14
$\Sigma \text{Ox\%}$	98,58	99,33	100,13	99,69	99,74	99,72	99,01	99,91	98,78	100,70	100,60	100,81	100,84
<i>Fórmula estrutural calculada com base em 4 oxigénios</i>													
Si	0,975	1,009	0,980	0,964	0,985	0,988	1,010	0,997	0,979	0,962	0,973	0,962	0,971
Ti	0,000	0,000	0,000	0,000	0,000	0,000	0,000	0,000	0,001	0,000	0,000	0,000	0,000
Al/Al IV	0,001	0,002	0,001	0,000	0,001	0,002	0,001	0,001	0,001	0,001	0,001	0,001	0,001
Al VI	0,000	0,000	0,000	0,000	0,000	0,000	0,000	0,000	0,000	0,000	0,000	0,000	0,000
Cr	-	-	-	-	-	-	-	-	-	-	-	-	-
Fe ²⁺	0,342	0,359	0,471	0,328	0,496	0,328	0,548	0,524	0,491	0,357	0,357	0,336	0,324
Mn ²⁺	0,004	0,004	0,005	0,005	0,009	0,005	0,009	0,006	0,006	0,005	0,005	0,004	0,005
Mg	1,692	1,604	1,556	1,731	1,516	1,679	1,412	1,468	1,535	1,705	1,681	1,725	1,717
Ca	0,008	0,007	0,005	0,006	0,006	0,007	0,007	0,005	0,007	0,006	0,006	0,006	0,006
Ni	0,003	0,004	0,002	0,002	0,001	0,002	0,002	0,002	0,001	0,003	0,001	0,003	0,003
$\Sigma \text{Cat\#}$	3,025	2,990	3,020	3,036	3,014	3,011	2,989	3,002	3,020	3,038	3,026	3,037	3,028
%Fa	16,8	18,3	23,2	15,9	24,6	16,3	28,0	26,3	24,2	17,3	17,5	16,3	15,9
%Fo	83,2	81,7	76,8	84,1	75,4	83,7	72,0	73,7	75,8	82,7	82,5	83,7	84,1

FN	Núcleo de Fenocristal
FB	Bordo de Fenocristal
FI	Zona Intermédia de Fenocristal
FNC	Núcleo de Fenocristal em Cumulado
FBC	Bordo de Fenocristal em Cumulado
FIC	Zona Intermédia de Fenocristal de Cumulado
IPN	Núcleo de Inclusão em Plagioclase
IPB	Bordo de Inclusão de Plagioclase
MFN	Núcleo de Microfenocristal
MFB	Bordo de Microfenocristal
CM	Crystal da Matriz

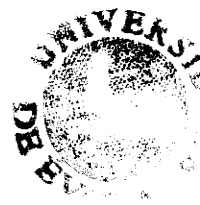
Sistema Vulcânico de Santa Bárbara - Olivinas

...continuação

	PMT-71						PMT-72						PMT-71					
	Oliv-3-n			Oliv-4-b			Oliv-4-n			Oliv-x-b			Oliv-2-n			Oliv-1-nf		
	FN	CM	FB	FN	FB	FN	FB	CM	FN	FB	CM	FN	FB	CM	FN	FB	CM	
SiO ₂	38,62	33,92	38,20	39,25	35,91	38,32	34,15	36,43	38,65	38,61	37,22	35,13	36,88	37,66				
TiO ₂	0,01	0,11	0,06	0,02	0,09	0,02	0,12	0,07	0,01	0,01	0,06	0,07	0,02	0,05				
Al ₂ O ₃	0,00	0,00	0,01	0,04	0,01	0,00	0,03	0,00	0,03	0,03	0,00	0,03	0,01	0,02				
Cr ₂ O ₃	n.d.	n.d.	n.d.	n.d.	n.d.	n.d.	n.d.	n.d.	n.d.	n.d.	n.d.	n.d.	n.d.	n.d.				
FeO	19,94	44,12	23,20	14,85	35,99	22,46	43,74	31,36	20,31	19,49	29,13	39,53	32,82	24,14				
MnO	0,34	0,91	0,31	0,15	0,71	0,29	0,88	0,60	0,34	0,21	0,49	0,85	0,48	0,36				
MgO	39,82	20,03	37,84	44,79	27,29	38,36	19,91	30,10	39,76	40,72	32,58	23,97	29,94	36,48				
CaO	0,20	0,22	0,25	0,28	0,24	0,22	0,57	0,23	0,22	0,21	0,23	0,25	0,19	0,24				
NiO	0,09	0,03	0,04	0,17	0,10	0,06	0,02	0,03	0,03	0,06	0,05	0,05	0,01	0,05				
Σ Ox%	99,03	99,35	99,91	99,55	100,34	99,75	99,42	98,82	99,36	99,35	99,76	99,90	100,35	98,99				
<i>Fórmula estrutural calculada com base em 4 oxigénios</i>																		
Si	1,004	0,999	1,000	0,992	1,000	1,001	1,003	1,006	1,003	1,006	0,998	1,005	1,002	1,007	1,000			
Ti	0,000	0,002	0,001	0,000	0,002	0,000	0,003	0,001	0,000	0,000	0,000	0,001	0,001	0,000	0,001	0,000		
Al/Al IV	0,000	0,000	0,000	0,001	0,000	0,000	0,001	0,000	0,001	0,001	0,000	0,000	0,000	0,000	0,000	0,000		
Al VI	0,000	0,000	0,000	0,000	0,000	0,000	0,000	0,000	0,000	0,000	0,000	0,000	0,000	0,000	0,000	0,000		
Cr	-	-	-	-	-	-	-	-	-	-	-	-	-	-	-	-		
Fe ²⁺	0,433	1,087	0,508	0,314	0,838	0,491	1,074	0,724	0,441	0,421	0,658	0,943	0,749	0,536				
Mn ²⁺	0,007	0,023	0,007	0,003	0,017	0,006	0,022	0,014	0,007	0,005	0,011	0,021	0,011	0,008				
Mg	1,543	0,879	1,476	1,686	1,132	1,493	0,872	1,239	1,537	1,569	1,311	1,019	1,218	1,444				
Ca	0,006	0,007	0,007	0,008	0,007	0,006	0,018	0,007	0,006	0,006	0,007	0,007	0,006	0,007	0,006	0,007		
Ni	0,002	0,001	0,001	0,004	0,002	0,001	0,000	0,001	0,001	0,001	0,001	0,001	0,002	0,000	0,001	0,001		
Σ Cat#	2,996	2,998	2,999	3,008	2,998	2,999	2,993	2,993	2,996	3,001	2,994	2,996	2,992	2,998				
%Fa	21,9	55,3	25,6	15,7	42,5	24,7	55,2	36,9	22,3	21,2	33,4	48,1	38,1	27,1				
%Fo	78,1	44,7	74,4	84,3	57,5	75,3	44,8	63,1	77,7	78,8	66,6	51,9	61,9	72,9				

FN Núcleo de Fenocristal
FB Bordo de Fenocristal
FI Zona Intermédia de Fenocristal
FNC Núcleo de Fenocristal em Cumulado
FBC Bordo de Fenocristal em Cumulado
FIC Zona Intermédia de Fenocristal de Cumulado

IPN Núcleo de Inclusão em Plagioclase
IPB Bordo de Inclusão de Plagioclase
MFN Núcleo de Microfenocristal
MBF Bordo de Microfenocristal
CM Cristal da Matriz



Sistema Vulcânico de Santa Bárbara - Olivinas

...continuação

	OLIV-1-n1		OLIV-1-n1		OLIV-2-b2		OLIV-2-n2		OLIV-2-b3		OLIV-3-n2		OLIV-3-b2		PMT-72	
	FB	FN	FB	FN	FB	FN	FB	FN	FB	FN	FB	FN	FB	FN	FB	FN
SiO ₂	36,55	38,31	38,28	37,47	38,90	38,66	38,81	38,55	38,36	36,82	39,37	38,56	38,93	40,12		
TiO ₂	0,02	0,00	0,01	0,03	0,01	0,04	0,03	0,02	0,03	0,06	0,00	0,03	0,02	0,01	0,00	0,00
Al ₂ O ₃	0,00	0,01	0,02	0,02	0,00	0,00	0,00	0,01	0,03	0,04	0,07	0,00	0,01	0,00	0,00	0,00
Cr ₂ O ₃	n.d.	n.d.	n.d.	n.d.	n.d.	n.d.	n.d.	n.d.	n.d.	n.d.	n.d.	n.d.	n.d.	n.d.	n.d.	n.d.
FeO	31,01	22,89	21,17	27,99	20,01	23,09	21,39	20,86	21,32	34,10	17,14	25,32	18,87	17,93		
MnO	0,51	0,33	0,32	0,45	0,30	0,34	0,30	0,35	0,37	0,34	0,55	0,26	0,32	0,27	0,30	
MgO	30,43	37,82	38,81	33,28	40,30	38,14	39,16	39,49	38,88	28,82	42,34	36,13	41,37	42,62		
CaO	0,25	0,23	0,24	0,24	0,22	0,23	0,23	0,23	0,21	0,21	0,26	0,25	0,22	0,23		
NiO	0,07	0,07	0,02	0,05	0,10	0,06	0,06	0,05	0,07	0,04	0,03	0,14	0,00	0,11	0,14	
Σ Ox%	98,84	99,67	98,86	99,54	99,85	100,56	100,05	99,57	99,22	100,64	99,59	100,61	99,82	101,34		
<i>Fórmula estrutural calculada com base em 4 oxigénios</i>																
Si	1,007	1,003	1,003	1,008	1,003	1,003	1,004	1,004	1,001	1,002	1,009	1,004	1,010	0,999	1,007	
Ti	0,000	0,000	0,000	0,001	0,000	0,001	0,001	0,001	0,000	0,001	0,001	0,000	0,001	0,000	0,000	
Al/Al ^{IV}	0,000	0,000	0,001	0,001	0,000	0,000	0,001	0,001	0,000	0,001	0,001	0,000	0,000	0,000	0,000	
Al/VI	0,000	0,000	0,000	0,000	0,000	0,000	0,000	0,000	0,000	0,000	0,000	0,000	0,000	0,000	0,000	
Cr	-	-	-	-	-	-	-	-	-	-	-	-	-	-	-	
Fe ²⁺	0,715	0,501	0,464	0,630	0,431	0,501	0,463	0,453	0,466	0,781	0,365	0,554	0,405	0,376		
Mn ²⁺	0,012	0,007	0,007	0,010	0,006	0,006	0,008	0,008	0,007	0,013	0,006	0,007	0,006	0,006	0,006	
Mg	1,250	1,476	1,515	1,334	1,548	1,475	1,510	1,528	1,514	1,177	1,609	1,410	1,582	1,594		
Ca	0,007	0,007	0,007	0,007	0,006	0,007	0,007	0,006	0,006	0,006	0,007	0,007	0,006	0,006	0,006	
Ni	0,001	0,002	0,000	0,001	0,002	0,001	0,001	0,001	0,001	0,001	0,003	0,000	0,002	0,003	0,003	
Σ Cat#	2,992	2,997	2,991	2,997	2,991	2,996	2,995	2,995	2,997	2,989	2,995	2,990	3,001	2,993		
%Fa	36,4	25,3	23,4	32,1	21,8	25,4	23,5	22,9	23,5	39,9	18,5	28,2	20,4	19,1		
%Fo	63,6	74,7	76,6	67,9	78,2	74,6	76,5	77,1	76,5	60,1	81,5	71,8	79,6	80,9		

FN Núcleo de Fenocristal
FB Bordo de Fenocristal
FI Zona Intermédia de Fenocristal
FNC Núcleo de Fenocristal em Cumulado
FBC Bordo de Fenocristal em Cumulado
FIC Zona Intermédia de Fenocristal de Cumulado

IPN Núcleo de Inclusão em Plagioclase
IPB Bordo de Inclusão de Plagioclase
MFN Núcleo de Microfenocristal
MFB Bordo de Microfenocristal
CM Cristal da Matriz

Sistema Vulcânico de Santa Bárbara - Olivinas

...continuação

	PMT-72						PMT-73							
	Oliv-4-p3		Oliv-5-h		Oliv-5-m1		Oliv-5-m2		Oliv-5-d		Oliv-1-n		Oliv-2-n	
	FB	FN	FB	FN	CM	FB	FN	FI	FB	FN	FB	FN	FB	FN
SiO ₂	38,50	39,03	37,36	34,46	34,52	37,28	40,03	39,67	36,53	37,90	37,69	38,16	39,54	36,59
TiO ₂	0,05	0,00	0,06	0,14	0,20	0,02	0,00	0,02	0,06	0,02	0,00	0,05	0,04	0,08
Al ₂ O ₃	0,00	0,05	0,03	0,00	0,00	0,02	0,02	0,03	0,00	0,00	0,00	0,00	0,00	0,00
Cr ₂ O ₃	n.d.	n.d.	n.d.	n.d.	n.d.	n.d.	n.d.	n.d.	n.d.	n.d.	n.d.	n.d.	n.d.	n.d.
FeO	23,29	15,39	27,61	45,27	46,19	27,49	14,75	14,89	36,26	25,46	26,05	26,95	18,56	33,49
MnO	0,27	0,20	0,46	0,93	0,90	0,46	0,24	0,18	0,74	0,41	0,44	0,48	0,24	0,59
MgO	37,77	43,33	33,78	19,83	19,05	34,22	45,03	44,19	27,53	35,75	35,44	34,87	41,85	28,96
CaO	0,23	0,32	0,24	0,22	0,31	0,22	0,27	0,28	0,25	0,20	0,21	0,23	0,22	0,21
NiO	0,08	0,15	0,07	0,04	0,00	0,06	0,16	0,11	0,04	0,05	0,00	0,05	0,08	0,02
Σ Ox%	100,19	98,48	99,61	100,89	101,18	99,78	100,51	99,37	101,40	99,81	99,83	100,79	100,53	99,93
<i>Fórmula estrutural calculada com base em 4 oxigénios</i>														
Si	1,004	0,999	1,003	1,002	1,004	0,999	1,000	1,003	1,005	1,004	1,001	1,007	1,004	1,008
Ti	0,001	0,000	0,001	0,003	0,004	0,000	0,000	0,000	0,001	0,000	0,000	0,001	0,001	0,002
Al/Al IV	0,000	0,001	0,001	0,000	0,000	0,001	0,001	0,001	0,000	0,000	0,000	0,000	0,000	0,000
Al VI	0,000	0,000	0,000	0,000	0,000	0,000	0,000	0,000	0,000	0,000	0,000	0,000	0,000	0,000
Cr	-	-	-	-	-	-	-	-	-	-	-	-	-	-
Fe ²⁺	0,508	0,329	0,620	1,100	1,124	0,616	0,308	0,315	0,834	0,564	0,579	0,595	0,394	0,771
Mn ²⁺	0,006	0,004	0,010	0,023	0,022	0,010	0,005	0,004	0,017	0,009	0,010	0,011	0,005	0,014
Mg	1,468	1,654	1,352	0,859	0,826	1,367	1,676	1,655	1,129	1,411	1,403	1,371	1,584	1,189
Ca	0,007	0,009	0,007	0,007	0,010	0,006	0,007	0,007	0,007	0,006	0,007	0,007	0,006	0,006
Ni	0,002	0,003	0,002	0,001	0,000	0,001	0,003	0,002	0,001	0,001	0,000	0,001	0,002	0,000
Σ Cat#	2,995	3,000	2,995	2,995	2,991	3,001	3,000	2,997	2,994	2,996	2,999	2,992	2,995	2,990
%Fa	25,7	16,6	31,4	56,2	57,6	31,1	15,5	15,9	42,5	28,5	29,2	30,3	19,9	39,4
%Fo	74,3	83,4	68,6	43,8	42,4	68,9	84,5	84,1	57,5	71,5	70,8	69,7	80,1	60,6

FN Núcleo de Fenocristal
FB Bordo de Fenocristal
FI Zona Intermédia de Fenocristal
FNC Núcleo de Fenocristal em Cumulado
FBC Bordo de Fenocristal em Cumulado
FIC Zona Intermédia de Fenocristal de Cumulado

IPN Núcleo de Inclusão em Plagioclase
IPB Bordo de Inclusão de Plagioclase
MFN Núcleo de Microfenocristal
MFB Bordo de Microfenocristal
CM Cristal da Matriz

Sistema Vulcânico de Santa Bárbara - Olivinas

...continuação

	PMT-73				PMT-74				PMT-83			
	Oliv-4-m CM	Oliv-4-m1 CM	Oliv-2-b IPB	Oliv-2-n IPB	Oliv-1-b FN	Oliv-1-n FI	Oliv-1-m CM	Oliv-1-n1 FN	Oliv-3-n FB	Oliv-3-m CM	Oliv-3-b CM	Oliv-3-m1 FB
SiO ₂	34,53	35,08	34,32	37,96	37,84	37,37	40,13	40,12	35,18	39,92	36,71	34,01
TiO ₂	0,10	0,13	0,20	0,04	0,03	0,02	0,01	0,00	0,08	0,03	0,02	0,19
Al ₂ O ₃	0,02	0,43	0,02	0,00	0,03	0,00	0,01	0,00	0,01	0,01	0,02	0,04
Cr ₂ O ₃	n.d.	n.d.	n.d.	n.d.	n.d.	n.d.	n.d.	n.d.	n.d.	n.d.	n.d.	n.d.
FeO	45,64	46,65	45,98	25,40	25,72	33,88	14,52	14,36	42,48	14,45	32,59	48,69
MnO	0,91	1,12	1,01	0,38	0,42	0,61	0,19	0,19	0,85	0,19	0,63	1,10
MgO	18,50	16,72	19,10	35,83	35,82	29,49	45,07	45,13	21,72	44,55	29,88	16,63
CaO	0,24	0,29	0,26	0,19	0,22	0,26	0,24	0,24	0,21	0,00	0,00	0,00
NiO	0,00	0,03	0,01	0,02	0,00	0,00	0,00	0,01	0,00	0,01	0,00	0,00
$\Sigma \text{Ox\%}$	99,94	100,45	100,89	99,90	100,05	101,58	100,18	100,06	100,52	99,16	99,85	100,63
												100,70
												99,10
<i>Fórmula estrutural calculada com base em 4 oxigénios</i>												
Si	1,015	1,029	1,002	1,004	1,001	1,011	1,003	1,003	1,010	1,007	1,010	1,004
Ti	0,002	0,003	0,004	0,001	0,001	0,000	0,000	0,000	0,002	0,001	0,000	0,002
Al/Al IV	0,001	0,015	0,001	0,000	0,001	0,000	0,000	0,000	0,000	0,001	0,000	0,001
Al VI	0,000	0,000	0,000	0,000	0,000	0,000	0,000	0,000	0,000	0,000	0,000	0,000
Cr	-	-	-	-	-	-	-	-	-	-	-	-
Fe ²⁺	1,123	1,145	1,123	0,562	0,569	0,767	0,304	0,300	1,020	0,305	0,748	1,209
Mn ²⁺	0,023	0,028	0,025	0,008	0,009	0,014	0,004	0,004	0,021	0,004	0,015	0,028
Mg	0,811	0,731	0,831	1,412	1,412	1,190	1,679	1,692	0,929	1,675	1,222	0,736
Ca	0,007	0,009	0,008	0,007	0,005	0,006	0,007	0,006	0,006	0,000	0,000	0,006
Ni	0,000	0,001	0,000	0,000	0,000	0,000	0,000	0,000	0,000	0,000	0,000	0,000
$\Sigma \text{Cat\#}$	2,982	2,960	2,993	2,995	2,998	2,988	2,997	2,997	2,988	2,992	2,992	2,987
%Fa	58,1	61,0	57,5	28,5	28,7	39,2	15,3	15,1	52,3	15,4	38,0	62,2
%Fo	41,9	39,0	42,5	71,5	71,3	60,8	84,7	84,9	47,7	84,6	62,0	37,8

FN Núcleo de Fenocristal
FB Bordo de Fenocristal
FI Zona Intermédia de Fenocristal
FNC Núcleo de Fenocristal em Cumulado
FBC Bordo de Fenocristal em Cumulado
FIC Zona Intermédia de Fenocristal de Cumulado

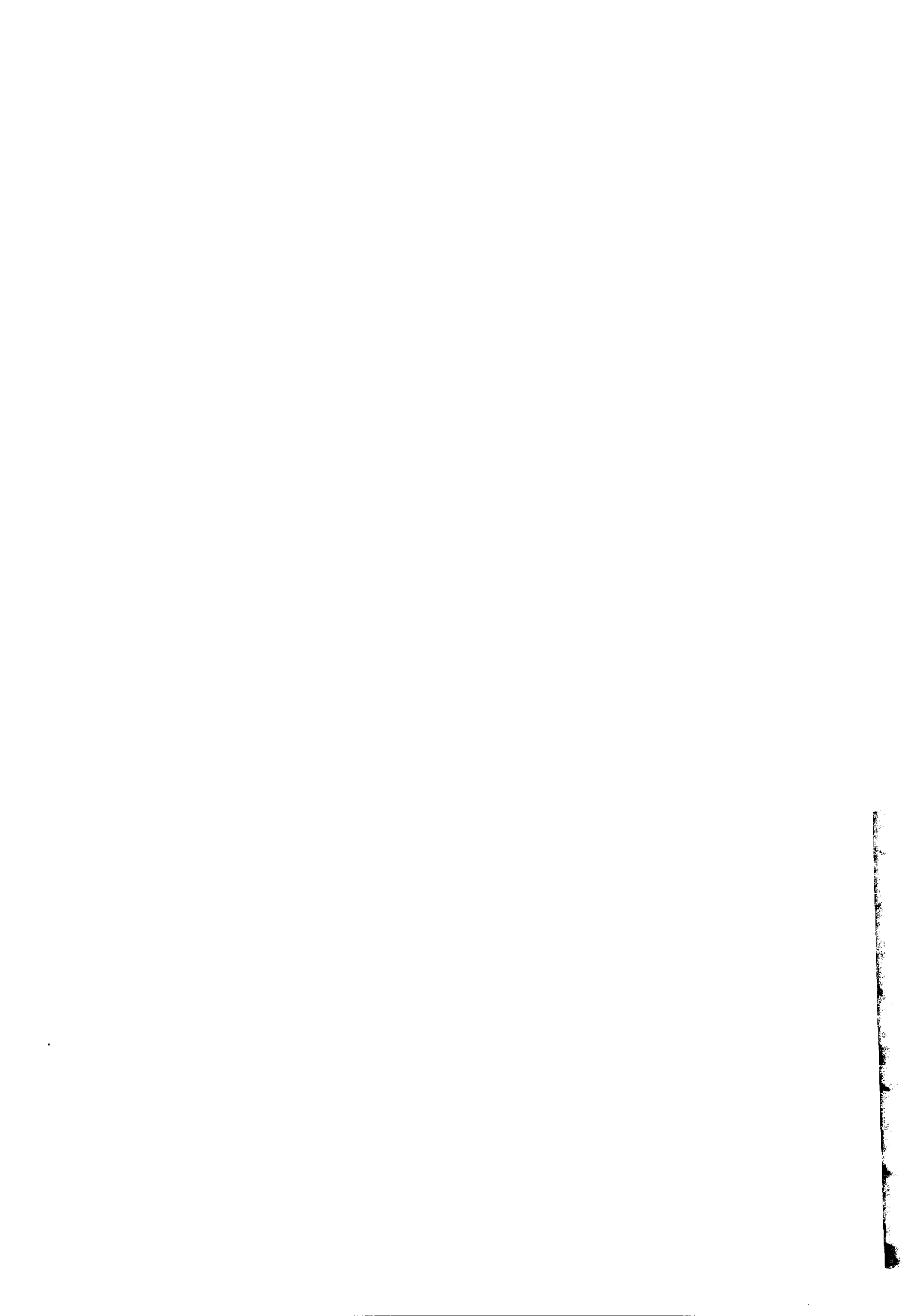
IPN Núcleo de Inclusão em Plagioclase
IPB Bordo de Inclusão de Plagioclase
MFN Núcleo de Microfenocristal
MFB Bordo de Microfenocristal
CM Cristal da Matriz

Sistema Vulcânico de Santa Bárbara - Olivinas

...continuação

	PMT-83				PMT-54				PMT-63			
	Oliv-2-n1 FN	Oliv-3-n1 FN	Oliv-3-n1 FB	Oliv-1-n FN	Oliv-1-b FN	Oliv-2-n FN	Oliv-4-n FN	Oliv-2-n FN	Oliv-1-b FN	Oliv-2-n FN	Oliv-4-n FN	
SiO ₂	35,76	36,06	35,57	40,29	39,26	38,56	35,72					
TiO ₂	0,01	0,05	0,03	0,00	0,00	0,02	0,06					
Al ₂ O ₃	0,00	0,01	0,00	0,01	0,01	0,00	0,13					
Cr ₂ O ₃	n.d.	n.d.	n.d.	n.d.	0,00	0,00	0,00					
FeO	36,07	35,94	36,19	12,16	21,10	25,42	34,19					
MnO	1,16	1,04	1,14	0,16	0,31	0,37	0,76					
MgO	25,62	26,04	25,55	46,91	39,09	36,46	28,12					
CaO	0,19	0,20	0,24	0,31	0,27	0,20	0,36					
NiO	0,00	0,00	0,03	0,21	0,15	0,05	0,03					
Σ Ox%	98,81	99,33	98,75	100,14	100,19	101,08	99,38					
Fórmula estrutural calculada com base em 4 oxigénios												
Si	1,014	1,015	1,011	0,998	1,012	1,006	0,997					
Ti	0,000	0,001	0,001	0,000	0,000	0,000	0,001					
Al/Al IV	0,000	0,000	0,000	0,000	0,000	0,000	0,004					
Al VI	0,000	0,000	0,000	0,000	0,000	0,000	0,000					
Cr	-	-	-	0,002	0,000	0,000	0,000					
Fe ²⁺	0,855	0,846	0,860	0,252	0,455	0,555	0,798					
Mn ²⁺	0,028	0,025	0,028	0,003	0,007	0,008	0,018					
Mg	1,083	1,092	1,082	1,732	1,503	1,418	1,170					
Ca	0,006	0,006	0,007	0,008	0,008	0,006	0,011					
Ni	0,000	0,000	0,001	0,004	0,003	0,001	0,001					
Σ Ca#	2,986	2,984	2,989	3,001	2,988	2,994	3,000					
%Fa	44,1	43,6	44,3	0,1	0,2	0,3	0,4					
%Fo	55,9	56,4	55,7	0,9	0,8	0,7	0,6					

FN	Núcleo de Fenocristal
FB	Bordo de Fenocristal
Fl	Zona Intermédia de Fenocristal
FNC	Núcleo de Fenocristal em Cumulado
FBC	Bordo de Fenocristal em Cumulado
FIC	Zona Intermédia de Fenocristal de Cumulado
IPN	Núcleo de Inclusão em Plagioclase
IPB	Bordo de Inclusão de Plagioclase
MFN	Núcleo de Microfenocristal
MFB	Bordo de Microfenocristal
CM	Cristal da Matriz



Sistema Vulcânico dos Cinco Picos - Olivinas

		PV-1	oliv-2-n	oliv-2-n
		FM	FN	FN
SiO ₂		35,93	38,75	
TiO ₂		0,05	0,03	
Al ₂ O ₃		0,00	0,00	
Cr ₂ O ₃		0,02	0,00	
FeO		40,49	23,97	
MnO		0,72	0,39	
MgO		23,85	37,76	
CaO		0,39	0,26	
NiO		0,01	0,05	
$\Sigma \text{Ox\%}$		101,48	101,20	
<i>Fórmula estrutural calculada com base em 4 oxigénios</i>				
Si		1,009	1,003	
Ti		0,001	0,001	
Al/Al IV		0,000	0,000	
Al VI		0,000	0,000	
Cr		0,000	0,000	
Fe ²⁺		0,951	0,519	
Mn ²⁺		0,017	0,009	
Mg		0,999	1,457	
Ca		0,012	0,007	
Ni		0,000	0,001	
$\Sigma \text{Cat}^{\#}$		2,990	2,996	
$\% \text{Fa}$		0,5	0,3	
$\% \text{Fo}$		0,5	0,7	

FN	Núcleo de Fenocristal
FB	Bordo de Fenocristal
FI	Zona Intermédia de Fenocristal
FNC	Núcleo de Fenocristal em Cumulado
FBC	Bordo de Fenocristal em Cumulado
FIC	Zona Intermédia de Fenocristal de Cumulado
IPN	Núcleo de Inclusão em Plagioclase
IPB	Bordo de Inclusão de Plagioclase
MFN	Núcleo de Microfenocrystal
MFB	Bordo de Microfenocrystal
CM	Cristal da Matriz

Sistema Vulcânico Fissural - Piroxenas

continua

MFN	Núcleo de MicroF-enocristal
MFB	Bordo de MicroF-enocristal
MFNV	Núcleo de MicroF-enocristal de cor verde

Sistema Vulcânico Fissural - Piroxenas

...continuação

	PMT-14						PMT-15								
	PIROX-1-n3	PIROX-2-n1	PIROX-2-n2	PIROX-2-b1	PIROX-3-n1	PIROX-3-n2	PIROX-3-b2	PIROX-3-b3	PIROX-3-n3	PIROX-3-b4	PIROX-3-n1	PIROX-1-n	PIROX-1-n	PIROX-3-b2	
	MFNV	FI	FN	FB	FN	FB	FN	FB	FN	FI	CM	FN	CM	FB	
SiO ₂	53,77	49,72	52,48	49,16	52,38	52,54	51,57	49,04	49,76	47,89	51,54	51,25	46,32	48,51	
TiO ₂	0,12	1,39	0,95	1,57	0,81	1,13	1,52	1,52	1,37	1,93	1,33	1,19	3,72	1,92	
Al ₂ O ₃	0,18	5,41	3,13	5,46	3,13	2,61	2,86	5,92	5,33	6,92	2,99	4,67	6,18	6,26	
Cr ₂ O ₃	0,03	1,43	0,84	1,08	0,87	0,31	0,06	1,38	1,20	0,90	0,15	0,91	0,03	0,78	
Fe ₂ O ₃ (C)	0,00	0,00	0,05	0,00	0,00	0,00	0,00	0,00	0,00	0,71	0,00	0,00	0,93	0,87	
FeO(C)	13,06	4,46	4,42	4,73	4,37	5,54	7,37	4,63	4,57	4,62	6,10	4,48	9,18	4,52	
MnO	0,81	0,08	0,12	0,07	0,08	0,08	0,15	0,08	0,08	0,09	0,14	0,08	0,17	0,09	
MgO	11,52	14,98	16,69	14,82	16,70	16,27	14,89	14,67	14,99	14,52	15,29	15,46	11,53	14,58	
CaO	21,22	21,64	21,08	21,39	20,97	20,67	20,95	21,37	21,50	20,80	21,16	21,45	20,47	21,53	
Na ₂ O	0,42	0,31	0,23	0,33	0,32	0,23	0,34	0,31	0,29	0,38	0,29	0,29	0,54	0,33	
K ₂ O	0,02	0,00	0,00	0,01	0,00	0,01	0,01	0,01	0,00	0,00	0,02	0,00	0,03	0,01	
Σ Ox%	101,15	99,42	99,95	98,68	99,65	99,38	99,73	98,91	99,08	98,77	99,01	99,78	99,11	99,41	
<i>Fórmula estrutural calculada com base em 6 oxigénios</i>															
Si	2,016	1,837	1,915	1,832	1,917	1,933	1,912	1,822	1,843	1,784	1,915	1,878	1,762	1,798	
Ti	0,003	0,039	0,026	0,044	0,022	0,031	0,042	0,042	0,038	0,054	0,037	0,033	0,106	0,054	
Al/Al IV	0,000	0,163	0,085	0,168	0,083	0,067	0,088	0,178	0,157	0,216	0,085	0,122	0,238	0,202	
Al VI	0,008	0,072	0,050	0,071	0,052	0,046	0,037	0,082	0,076	0,089	0,045	0,079	0,039	0,072	
Cr	0,001	0,042	0,024	0,032	0,025	0,009	0,002	0,040	0,035	0,026	0,004	0,026	0,001	0,023	
Fe ₃₊	0,000	0,000	0,000	0,001	0,000	0,000	0,000	0,000	0,000	0,020	0,000	0,000	0,027	0,024	
Fe ²⁺	0,410	0,138	0,135	0,147	0,134	0,170	0,229	0,144	0,141	0,144	0,144	0,189	0,137	0,292	
Mn ²⁺	0,026	0,002	0,004	0,002	0,002	0,003	0,005	0,002	0,003	0,003	0,005	0,003	0,005	0,003	
Mg	0,644	0,825	0,908	0,823	0,911	0,892	0,823	0,812	0,828	0,806	0,847	0,844	0,654	0,805	
Ca	0,852	0,856	0,824	0,854	0,822	0,832	0,815	0,851	0,853	0,830	0,842	0,842	0,834	0,855	
Na	0,030	0,022	0,016	0,024	0,023	0,017	0,025	0,022	0,021	0,027	0,021	0,021	0,040	0,024	
K	0,001	0,000	0,001	0,000	0,000	0,000	0,000	0,000	0,000	0,001	0,000	0,000	0,001	0,000	
Σ Cat#	3,991	3,997	4,000	3,992	3,983	3,995	3,997	3,995	4,000	3,991	3,986	4,000	4,000		
Wo(Ca)	44,7	47,1	44,2	46,8	44,0	43,4	44,2	47,1	46,8	46,6	44,8	46,2	46,9	47,5	
En(Mg)	33,8	45,4	48,6	45,1	48,8	47,5	43,7	45,0	45,4	45,3	45,1	46,3	36,7	44,7	
Fs(Fe ²⁺)	21,5	7,6	7,2	8,1	7,2	9,1	12,1	8,0	7,8	8,1	10,1	7,5	16,4	7,8	
Mg#	61,1	85,7	87,0	84,8	87,2	84,0	78,3	85,0	85,4	84,8	81,7	86,0	69,1	85,2	

FN Núcleo de Fenocristal
FB Bordo de Fenocristal
FI Zona Intermédia de Fenocristal

MFN Núcleo de MicroFenocristal
MFB Bordo de MicroFenocristal
MFNV Núcleo de MicroFenocristal de cor verde

Sistema Vulcânico Fissural - Piroxenas

...continuação

	PMT-24													
	PIROX-2-b1				PIROX-2-b2				PIROX-2-n1					
	FB	FI	FN	CM	FB	FI	FN	CM	FB	FI	FN	CM		
SiO ₂	51,58	51,00	53,37	51,42	45,83	46,56	53,35	53,59	53,31	50,65	51,31	53,84	50,15	48,10
TiO ₂	1,93	1,55	0,63	2,17	3,32	2,96	0,57	0,47	0,58	1,73	1,48	0,60	2,02	2,65
Al ₂ O ₃	6,28	2,93	2,83	3,32	6,73	6,03	2,14	1,70	1,89	3,68	2,72	1,93	3,12	5,13
Cr ₂ O ₃	0,09	0,16	0,77	0,08	0,17	0,26	1,16	1,13	0,65	0,08	0,00	0,95	0,00	0,03
Fe ₂ O _{3(c)}	0,00	0,11	0,00	0,00	2,36	2,17	0,00	0,00	0,00	0,00	0,00	0,00	0,06	1,25
FeO(c)	8,29	7,92	3,87	8,97	6,29	6,08	3,39	3,11	3,57	8,20	8,01	3,51	9,56	7,21
MnO	0,15	0,20	0,08	0,23	0,19	0,17	0,08	0,03	0,11	0,19	0,22	0,03	0,21	0,12
MgO	12,11	15,37	16,90	13,73	12,69	13,11	17,50	17,70	17,82	13,70	14,97	17,63	13,48	13,42
CaO	17,62	19,91	21,41	20,82	20,78	20,83	21,46	21,23	21,24	20,09	20,35	21,44	19,99	20,86
Na ₂ O	1,42	0,29	0,26	0,43	0,44	0,42	0,28	0,28	0,25	0,62	0,36	0,38	0,51	0,41
K ₂ O	0,41	0,00	0,01	0,00	0,01	0,02	0,00	0,01	0,02	0,02	0,00	0,00	0,00	0,00
Σ OX%	99,89	99,44	100,13	101,18	98,80	98,62	99,92	99,25	99,43	98,97	99,43	100,31	99,10	99,18
<i>Fórmula estrutural calculada com base em 6 oxigénios</i>														
Si	1,900	1,899	1,937	1,893	1,736	1,762	1,941	1,957	1,948	1,898	1,912	1,950	1,891	1,808
Ti	0,053	0,044	0,017	0,060	0,094	0,084	0,016	0,013	0,016	0,049	0,042	0,016	0,057	0,075
Al/Al+IV	0,100	0,101	0,063	0,107	0,264	0,238	0,059	0,043	0,052	0,102	0,088	0,050	0,109	0,192
Al VI	0,172	0,027	0,058	0,037	0,036	0,032	0,032	0,031	0,029	0,061	0,031	0,032	0,030	0,036
Cr	0,003	0,005	0,022	0,002	0,005	0,008	0,033	0,033	0,019	0,002	0,000	0,027	0,000	0,001
Fe ³⁺	0,000	0,003	0,000	0,000	0,067	0,062	0,000	0,000	0,000	0,000	0,000	0,000	0,002	0,035
Fe ²⁺	0,255	0,247	0,117	0,276	0,199	0,193	0,103	0,095	0,109	0,257	0,250	0,106	0,302	0,227
Mn ²⁺	0,005	0,006	0,002	0,007	0,006	0,006	0,002	0,001	0,003	0,006	0,007	0,001	0,007	0,004
Mg	0,665	0,853	0,914	0,753	0,716	0,740	0,949	0,963	0,970	0,766	0,832	0,952	0,758	0,752
Ca	0,695	0,794	0,833	0,821	0,843	0,845	0,836	0,831	0,831	0,807	0,813	0,832	0,808	0,840
Na	0,101	0,021	0,018	0,030	0,032	0,031	0,020	0,018	0,045	0,026	0,026	0,037	0,030	0,030
K	0,019	0,000	0,001	0,000	0,001	0,000	0,001	0,001	0,001	0,000	0,000	0,000	0,000	0,000
Σ Cat#	3,970	4,000	3,983	3,989	4,000	3,991	3,987	3,996	3,994	4,000	3,993	4,000	3,993	4,000
Wo(Ca)	43,0	41,9	44,7	44,4	47,9	47,5	44,3	44,0	43,5	44,1	42,9	44,0	43,3	46,2
En(Mg)	41,2	45,0	49,0	40,7	40,7	41,6	50,2	51,0	50,8	41,8	43,9	50,4	40,6	41,4
Fs(Fe ²⁺)	15,8	13,0	6,3	14,9	11,3	10,8	5,5	5,0	5,7	14,1	13,2	5,6	16,2	12,5
Mg#	72,3	77,6	88,6	73,2	78,2	79,3	90,2	91,0	89,9	74,9	76,9	90,0	71,5	76,9

FN Núcleo de Fenocristal
FB Bordo de Fenocristal
FI Zona Intermédia de Fenocristal

MFN Núcleo de MicroFenocristal
MFB Bordo de MicroFenocristal
MFNV Núcleo de MicroFenocristal de cor verde

Sistema Vulcânico Fissural - Piroxenas

...continuação

	PMT-24			PMT-61			PMT-61		
	FN	PIROX-4-n	PIROX-4-i	FB	FN	PIROX-4-b	FB	FN	PIROX-3-n1
SiO ₂	52,88	52,43	52,19	50,30	48,99	50,67	51,00	48,90	50,03
TiO ₂	0,75	0,74	1,42	1,55	2,08	0,93	1,01	1,79	1,12
Al ₂ O ₃	2,89	3,03	2,65	3,67	4,44	3,99	3,95	5,18	4,49
Cr ₂ O ₃	0,60	0,56	0,29	0,07	0,25	1,23	0,99	0,89	1,18
Fe ₂ O ₃ (C)	0,00	0,00	0,00	0,47	1,37	0,00	0,19	0,52	0,22
FeO(C)	4,13	3,83	7,37	7,02	6,55	4,52	4,55	5,70	4,64
MnO	0,09	0,08	0,17	0,14	0,16	0,08	0,06	0,10	0,11
MgO	17,25	16,88	16,34	15,42	14,31	15,85	16,11	14,66	15,44
CaO	21,16	21,59	19,47	19,93	20,62	21,05	21,33	20,67	21,08
Na ₂ O	0,31	0,23	0,27	0,29	0,39	0,29	0,27	0,35	0,33
K ₂ O	0,01	0,00	0,00	0,01	0,00	0,00	0,01	0,00	0,01
Σ O _x %	100,08	99,38	100,18	98,86	99,16	98,63	99,46	98,78	98,65
									100,27
									99,91
									99,65
									100,07
									98,62
Fórmula estrutural calculada com base em 6 oxigénios									
Si	1,924	1,921	1,917	1,879	1,835	1,882	1,879	1,862	1,815
Ti	0,020	0,020	0,039	0,044	0,059	0,026	0,028	0,050	0,031
Al/Al IV	0,076	0,079	0,083	0,121	0,165	0,118	0,121	0,172	0,138
Al VI	0,048	0,051	0,032	0,040	0,031	0,056	0,050	0,056	0,059
Cr	0,017	0,016	0,008	0,002	0,007	0,036	0,029	0,026	0,035
Fe ³⁺	0,000	0,000	0,000	0,013	0,039	0,000	0,005	0,015	0,006
Fe ²⁺	0,126	0,117	0,226	0,219	0,205	0,140	0,140	0,178	0,144
Mn ²⁺	0,003	0,003	0,005	0,004	0,005	0,003	0,002	0,003	0,004
Mg	0,935	0,922	0,895	0,858	0,799	0,877	0,884	0,817	0,856
Ca	0,825	0,847	0,766	0,798	0,827	0,838	0,842	0,828	0,840
Na	0,022	0,017	0,020	0,021	0,028	0,021	0,019	0,026	0,024
K	0,001	0,000	0,000	0,000	0,000	0,000	0,000	0,000	0,000
Σ Cat#	3,996	3,994	3,992	4,000	4,000	3,997	4,000	4,000	4,000
Wo(Ca)	43,7	44,9	40,6	42,5	45,2	45,1	45,4	45,6	44,9
En(Mg)	49,6	48,9	47,4	45,8	43,6	47,3	47,4	44,8	46,5
Fs(Fe ²⁺)	6,7	6,2	12,0	11,7	11,2	7,6	7,5	9,8	7,8
Mg#	88,1	88,7	79,8	79,7	79,6	86,2	86,3	82,1	85,6
FN	Núcleo de Fenocristal			Cristal da Matriz			MFN		
FB	Bordo de Fenocristal			MFB			Núcleo de MicroFenocristal		
FI	Zona Intermédia de Fenocristal			MFV			Bordo de MicroFenocristal		

FN Núcleo de Fenocristal
FB Bordo de Fenocristal
FI Zona Intermédia de Fenocristal

MFN Núcleo de MicroFenocristal
MFB Bordo de MicroFenocristal
MFV Núcleo de MicroFenocristal de cor verde

Sistema Vulcânico Fissural - Piroxenas

...continuação

	PMT-3				PMT-27									
	pplx-1-n	pplx-1-b	PIROX-1-b4	PIROX-1-b4	PIROX-1-n4	PIROX-1-n5	PIROX-2-n	PIROX-2-b	PIROX-2-m	PIROX-3-b	PIROX-3-n	PIROX-3-m	PIROX-4-b	PIROX-4-n1
	FN	FB	FB	FB	FN	FN	FN	FB	CM	FB	FN	CM	FB	FI
SiO ₂	49,80	46,50	49,67	49,76	51,82	50,83	48,37	52,32	49,21	50,96	49,52	48,25	50,86	49,87
TiO ₂	1,96	3,08	1,88	1,96	1,40	1,77	2,40	1,24	2,16	1,34	1,87	2,66	1,58	1,85
Al ₂ O ₃	5,30	6,44	4,27	4,11	3,30	3,75	4,81	2,37	4,40	2,73	4,34	5,27	2,83	4,21
Cr ₂ O ₃	0,34	0,38	0,23	0,18	0,27	0,22	0,05	0,05	0,09	0,09	0,41	0,26	0,06	0,45
Fe ₂ O ₃ (C)	0,24	2,75	0,53	0,40	0,04	0,00	1,61	0,00	1,07	0,77	0,61	0,24	1,25	0,69
FeO(C)	5,77	5,12	6,90	6,93	6,87	6,97	8,04	8,13	7,56	7,08	6,52	7,83	6,91	6,37
MnO	0,14	0,16	0,15	0,11	0,16	0,16	0,22	0,20	0,17	0,18	0,12	0,17	0,20	0,13
MgO	14,93	13,44	13,92	14,01	15,40	14,51	13,60	15,21	13,94	15,37	14,33	13,09	15,28	14,56
CaO	21,24	21,13	21,10	21,24	20,98	21,14	19,83	19,90	20,46	20,02	20,78	20,67	20,24	20,79
Na ₂ O	0,34	0,45	0,47	0,43	0,40	0,45	0,35	0,43	0,40	0,44	0,49	0,40	0,47	
K ₂ O	0,01	0,00	0,02	0,00	0,01	0,00	0,00	0,00	0,01	0,01	0,00	0,03	0,00	
Σ O _x %	100,04	99,45	99,11	99,14	100,63	99,76	99,37	99,76	99,50	98,94	98,96	98,93	99,64	99,39
<i>Fórmula estrutural calculada com base em 6 oxigénios</i>														
Si	1,835	1,743	1,859	1,862	1,900	1,884	1,819	1,937	1,841	1,904	1,853	1,818	1,891	1,857
Ti	0,054	0,087	0,053	0,055	0,039	0,049	0,068	0,035	0,061	0,038	0,053	0,075	0,044	0,052
Al/Al IV	0,165	0,257	0,141	0,138	0,100	0,116	0,181	0,063	0,159	0,096	0,147	0,182	0,109	0,143
Al VI	0,065	0,027	0,047	0,043	0,043	0,048	0,048	0,032	0,041	0,035	0,025	0,045	0,052	0,015
Cr	0,010	0,011	0,007	0,005	0,008	0,007	0,002	0,002	0,003	0,003	0,012	0,008	0,002	0,013
Fe ³⁺	0,007	0,078	0,015	0,011	0,001	0,000	0,046	0,000	0,030	0,022	0,017	0,007	0,035	0,019
Fe ²⁺	0,178	0,160	0,216	0,217	0,211	0,216	0,253	0,252	0,237	0,221	0,204	0,247	0,215	0,198
Mn ²⁺	0,004	0,005	0,005	0,003	0,005	0,005	0,007	0,006	0,006	0,006	0,004	0,005	0,006	0,004
Mg	0,820	0,751	0,777	0,781	0,842	0,802	0,762	0,839	0,778	0,856	0,800	0,735	0,847	0,808
Ca	0,838	0,848	0,846	0,852	0,824	0,840	0,799	0,789	0,820	0,801	0,833	0,835	0,806	0,829
Na	0,024	0,033	0,034	0,031	0,029	0,029	0,033	0,025	0,031	0,029	0,032	0,036	0,029	0,034
K	0,000	0,000	0,000	0,001	0,000	0,000	0,000	0,000	0,000	0,000	0,001	0,000	0,001	0,000
Σ Cat#	4,000	4,000	4,000	4,000	3,996	4,000	3,988	4,000	4,000	4,000	4,000	4,000	4,000	4,000
Wo(Ca)	45,7	48,2	46,0	46,0	43,9	45,2	44,0	42,0	44,7	42,7	45,4	46,0	43,2	45,2
En(Mg)	44,7	42,7	42,3	42,2	44,8	43,2	42,0	44,6	42,4	45,6	43,5	40,5	45,3	44,0
Fs(Fe ²⁺)	9,7	9,1	11,7	11,2	11,6	13,9	13,4	12,9	11,8	11,1	13,6	11,5	10,8	
Mg#	82,2	82,4	78,3	78,3	80,0	78,8	75,1	76,9	76,7	79,5	79,7	74,9	79,8	80,3

FN Núcleo de Fenocristal
FB Bordo de Fenocristal
FI Zona Intermédia de Fenocristal

MFN Núcleo de MicroFenocristal
MFB Bordo de MicroFenocristal
MFNV Núcleo de MicroFenocristal de cor verde

Sistema Vulcânico Fissural - Piroxenas

...continuação

	PMT-101											
	PIROX-0-12		PRX-0-n-1		PRX-1-n2-2		PRX-1-n2-3		PRX-1-n1-4		PRX-1-n1-5	
	FI	FN	FB	FN	FB	FN	FB	FN	FB	FN	FB	FN
SiO ₂	49,07	51,79	50,25	52,11	49,04	49,79	51,94	50,13	51,69	48,86	50,45	51,19
TiO ₂	1,79	0,88	1,66	1,22	1,86	1,85	1,13	1,91	1,93	1,71	1,07	2,07
Al ₂ O ₃	6,19	3,39	3,76	2,81	5,48	5,07	2,85	4,58	2,97	5,49	5,11	4,38
Cr ₂ O ₃	0,42	0,20	0,02	0,20	0,20	0,20	0,32	0,12	0,33	0,61	0,44	0,47
Fe ₂ O ₃ (c)	0,28	0,00	1,13	0,00	0,93	0,46	0,04	0,78	0,30	0,59	0,00	0,13
FeO(c)	6,06	5,76	6,13	6,30	5,83	5,57	6,08	5,61	6,66	5,67	5,57	4,61
MnO	0,12	0,10	0,11	0,13	0,13	0,07	0,10	0,11	0,15	0,13	0,08	0,14
MgO	14,93	16,67	14,90	16,58	14,42	15,04	16,42	15,06	16,14	14,31	14,66	15,86
GaO	20,20	20,02	21,17	20,29	20,83	21,15	20,73	21,44	20,37	21,39	20,97	21,68
Na ₂ O	0,34	0,31	0,34	0,27	0,42	0,36	0,24	0,35	0,29	0,31	0,37	0,30
K ₂ O	0,01	0,00	0,03	0,00	0,00	0,00	0,00	0,00	0,00	0,01	0,00	0,00
Σ Oxy%	99,40	99,12	99,50	99,92	99,15	99,67	99,84	100,09	100,23	99,31	100,37	99,83
Si	1,818	1,911	1,868	1,914	1,827	1,840	1,911	1,848	1,900	1,819	1,854	1,878
Ti	0,050	0,024	0,046	0,034	0,052	0,051	0,031	0,053	0,037	0,054	0,047	0,030
Al/Al IV	0,182	0,089	0,132	0,086	0,173	0,160	0,089	0,152	0,100	0,181	0,146	0,122
Al VI	0,088	0,058	0,033	0,036	0,067	0,061	0,034	0,046	0,029	0,060	0,075	0,067
Cr	0,012	0,006	0,001	0,006	0,006	0,006	0,009	0,009	0,004	0,010	0,018	0,013
Fe ³⁺	0,008	0,000	0,032	0,000	0,026	0,013	0,001	0,022	0,008	0,017	0,000	0,004
Fe ²⁺	0,188	0,178	0,191	0,194	0,182	0,172	0,172	0,187	0,173	0,205	0,177	0,202
Mn ²⁺	0,004	0,003	0,003	0,004	0,004	0,002	0,003	0,003	0,005	0,004	0,003	0,004
Mg	0,825	0,917	0,825	0,908	0,801	0,828	0,900	0,827	0,884	0,794	0,803	0,867
Ca	0,802	0,791	0,843	0,798	0,831	0,837	0,817	0,847	0,802	0,853	0,825	0,852
Na	0,025	0,022	0,025	0,020	0,031	0,026	0,017	0,025	0,020	0,023	0,026	0,021
K	0,000	0,000	0,001	0,000	0,000	0,000	0,000	0,000	0,000	0,026	0,021	0,032
Σ Cat#	4,000	3,999	4,000	3,998	4,000	4,000	4,000	4,000	4,000	3,995	4,000	3,998
Wo(Ca)	44,2	42,0	45,4	42,0	45,8	45,6	42,9	45,8	42,4	46,8	45,1	45,8
En(Mg)	45,5	48,6	44,4	47,8	44,1	45,1	47,3	44,8	46,8	43,5	43,9	46,6
Fs(Fe ²⁺)	10,3	9,4	10,3	10,2	10,0	9,4	9,8	9,4	10,8	9,7	11,0	41,0
Mg#	81,5	83,8	81,2	82,4	81,5	82,8	82,8	82,7	81,2	81,8	79,9	86,0

Fórmula estrutural calculada com base em 6 oxigénios

FN Núcleo de Fenocristal
FB Borda de Fenocristal
FI Zona Intermédia de Fenocristal

MN Núcleo de MicroFenocristal
MF Borda de MicroFenocristal
MFV Núcleo de MicroFenocristal de cor verde

Sistema Vulcânico Fissural - Piroxenas

...continuação

	PMT-101			PMT-17			PMT-51			
	PIROX-3-b2	PIROX-3-i1	PIROX-3-i2	PIROX-4-d	PIROX-4-m	PIROX-5-b	PIROX-5-n	pirox-3-b	pirox-4-b	pirox-4-n
	FB	FI	CM	FB	FN	FB	FN	FB	FN	FB
SiO ₂	49,41	49,74	49,88	49,02	50,20	47,79	49,34	53,19	48,74	48,81
TiO ₂	2,14	1,56	1,57	2,78	2,04	2,89	2,31	0,97	1,70	2,29
Al ₂ O ₃	4,90	5,10	5,04	5,26	4,55	5,61	5,17	1,55	4,75	3,83
Cr ₂ O ₃	0,61	0,92	0,80	0,41	0,12	0,30	0,43	0,01	0,01	0,09
Fe ₂ O _{3(c)}	0,29	0,77	0,37	0,04	0,75	1,08	0,37	0,32	3,20	3,03
FeO(C)	6,92	4,77	5,33	7,64	6,96	7,28	7,53	9,33	4,86	5,65
MnO	0,07	0,11	0,10	0,14	0,18	0,18	0,44	0,44	0,11	0,16
MgO	14,27	15,12	15,01	13,77	14,26	13,36	14,07	15,53	13,90	14,55
CaO	21,08	21,48	21,39	20,92	21,20	20,73	20,46	19,30	21,99	21,51
Na ₂ O	0,34	0,33	0,31	0,42	0,47	0,41	0,44	0,49	0,46	0,50
K ₂ O	0,00	0,00	0,00	0,01	0,00	0,00	0,01	0,00	0,00	0,00
Σ O _x %	100,01	99,90	99,81	100,41	100,70	99,64	100,31	101,13	100,01	101,17
										100,85
										100,71
										101,11
Fórmula estrutural calculada com base em 6 oxigénios										
Si	1,833	1,834	1,841	1,816	1,849	1,790	1,827	1,953	1,812	1,846
Ti	0,060	0,043	0,044	0,078	0,057	0,081	0,064	0,027	0,056	0,047
Al/Al IV	0,167	0,166	0,159	0,184	0,151	0,210	0,173	0,047	0,188	0,154
Al VI	0,047	0,055	0,060	0,046	0,047	0,038	0,053	0,020	0,020	0,012
Cr	0,018	0,027	0,023	0,012	0,004	0,009	0,013	0,000	0,000	0,008
Fe ³⁺	0,008	0,021	0,010	0,001	0,021	0,031	0,010	0,009	0,089	0,084
Fe ²⁺	0,215	0,147	0,165	0,237	0,214	0,228	0,233	0,287	0,151	0,174
Mn ²⁺	0,002	0,003	0,003	0,004	0,004	0,006	0,006	0,014	0,004	0,005
Mg	0,789	0,831	0,826	0,761	0,783	0,746	0,777	0,850	0,770	0,797
Ca	0,838	0,848	0,846	0,831	0,837	0,832	0,812	0,759	0,876	0,847
Na	0,024	0,024	0,023	0,031	0,034	0,030	0,032	0,035	0,036	0,041
K	0,000	0,000	0,000	0,000	0,000	0,000	0,000	0,000	0,000	0,000
Σ Cat#	4,000	4,000	4,000	4,000	4,000	4,000	4,000	4,000	4,000	4,000
Wo(Ca)	45,5	46,5	46,1	45,4	45,6	46,1	44,6	40,1	48,7	46,6
En(Mg)	42,9	45,5	45,0	41,6	42,7	41,3	42,6	44,8	42,9	43,9
Fs(Fe ²⁺)	11,7	8,1	9,0	13,0	11,7	12,6	12,8	15,1	8,4	9,6
Mg#	78,6	85,0	83,4	76,3	78,5	76,6	76,9	74,8	83,6	82,1
FN	Núcleo de Fenocristal				CM	Cristal da Matriz				MFN
FB	Bordo de Fenocristal				MFB	Bordo de MicroFenocristal				MFB
FI	Zona Intermédia de Fenocristal				MFNV	Núcleo de MicroFenocristal de cor verde				MFNV

Sistema Vulcânico Fissural - Piroxenas

	...continuação			
	PMT-79		PMT-13	
	FN	FB	FN	FB
SiO ₂	51,33	49,47	49,10	51,43
TiO ₂	1,61	2,26	2,09	1,52
Al ₂ O ₃	3,23	4,45	4,76	2,55
Cr ₂ O ₃	0,00	0,15	0,10	0,13
Fe ₂ O ₃ (c)	0,25	0,10	2,68	0,73
FeO(C)	7,40	7,28	4,65	6,46
MnO	0,15	0,18	0,10	0,11
MgO	14,48	13,86	14,44	14,92
CaO	21,19	21,15	21,85	21,64
Na ₂ O	0,50	0,40	0,45	0,42
K ₂ O	0,00	0,01	0,00	0,00
Σ OX%	100,14	99,32	100,22	99,92
<i>Fórmula estrutural calculada com base em 6 oxigénios</i>				
Si	1,899	1,850	1,816	1,905
Ti	0,045	0,064	0,058	0,042
Al/Al IV	0,101	0,150	0,184	0,095
Al VI	0,040	0,046	0,023	0,016
Cr	0,000	0,005	0,003	0,004
Fe ₃₊	0,007	0,003	0,075	0,020
Fe ²⁺	0,229	0,228	0,144	0,200
Mn ²⁺	0,005	0,006	0,003	0,004
Mg	0,799	0,773	0,796	0,824
Ca	0,840	0,847	0,866	0,859
Na	0,036	0,029	0,032	0,030
K	0,000	0,001	0,000	0,000
Σ Cat#	4,000	4,000	4,000	4,000
Wo(Ca)	45,0	45,9	48,0	45,6
En(Mg)	42,8	41,8	44,1	43,8
Fs(Fe ²⁺)	12,3	12,3	8,0	10,6
Mg#	77,7	77,2	84,7	80,5

FN Núcleo de Fenocristal
FB Bordo de Fenocristal
FI Zona Intermédia de Fenocristal

CM Cristal da Matriz
Cri Cristal da Matriz

MFN Núcleo de MicroFenocristal
MFB Bordo de MicroFenocristal
MFNV Núcleo de MicroFenocristal de cor verde

Sistema Vulcânico de Santa Bárbara - Piroxenas

...continuação

	PMT-73			PMT-74			PMT-54			
	PIROX-1-b	PIROX-3-n	PIROX-4-n	PIROX-3-b1	PIROX-3-b2	PIROX-3-m	PIROX-3-b	PIROX-3-n	PIROX-4-n	
	FB	FN	FB	FB	CM	FB	FN	FN		
SiO ₂	50,03	49,31	50,58	48,22	48,11	47,17	47,80	54,10	48,83	
TiO ₂	1,77	2,11	1,73	2,55	2,27	2,13	2,73	0,59	2,13	
Al ₂ O ₃	4,20	5,12	3,59	4,97	4,96	5,88	5,62	1,51	4,56	
Cr ₂ O ₃	0,02	0,04	0,12	0,01	0,01	0,00	0,05	0,58	0,00	
Fe ₂ O _{3(c)}	0,32	1,09	1,00	1,15	1,19	12,11	0,93	0,00	1,76	
FeO(c)	7,39	7,59	6,94	8,63	8,29	2,07	9,35	3,94	8,40	
MnO	0,21	0,20	0,16	0,22	0,21	0,24	0,22	0,06	0,17	
MgO	14,35	13,68	14,60	12,73	13,02	14,97	12,44	18,00	13,15	
CaO	20,60	20,58	20,73	20,41	19,94	9,92	19,70	21,42	20,40	
Na ₂ O	0,40	0,50	0,49	0,48	0,50	2,88	0,55	0,29	0,46	
K ₂ O	0,00	0,00	0,02	0,02	0,00	1,07	0,03	0,00	0,00	
Σ O _x %	99,29	100,22	99,96	99,38	98,50	98,43	99,42	100,49	99,88	
Fórmula estrutural calculada com base em 6 oxigénios										
Si	1,868	1,831	1,876	1,819	1,826	1,769	1,804	1,957	1,831	
Ti	0,050	0,059	0,048	0,072	0,065	0,060	0,078	0,016	0,060	
Al/Al IV	0,132	0,169	0,124	0,181	0,174	0,231	0,196	0,043	0,169	
Al VI	0,052	0,055	0,033	0,040	0,047	0,029	0,054	0,022	0,033	
Cr	0,001	0,001	0,003	0,000	0,000	0,000	0,001	0,017	0,000	
Fe ³⁺	0,009	0,031	0,028	0,033	0,034	0,342	0,026	0,000	0,050	
Fe ²⁺	0,231	0,236	0,215	0,272	0,263	0,065	0,295	0,119	0,264	
Mn ²⁺	0,006	0,006	0,005	0,007	0,007	0,008	0,007	0,002	0,005	
Mg	0,799	0,757	0,807	0,715	0,736	0,837	0,700	0,971	0,735	
Ca	0,824	0,819	0,824	0,825	0,811	0,399	0,797	0,830	0,820	
Na	0,029	0,036	0,035	0,035	0,037	0,209	0,040	0,020	0,034	
K	0,000	0,000	0,001	0,001	0,000	0,051	0,001	0,000	0,000	
Σ Cat#	4,000	4,000	4,000	4,000	4,000	4,000	4,000	3,996	4,000	
Wo(Ca)	44,5	45,2	44,6	45,5	44,8	30,7	44,5	43,2	45,1	
En(Mg)	43,1	41,8	43,7	39,5	40,7	64,3	39,1	50,6	40,4	
Fs(Fe ²⁺)	12,4	13,0	11,7	15,0	14,5	5,0	16,5	6,2	14,5	
Mg#	77,6	76,3	79,0	72,4	73,7	92,8	70,3	89,1	73,6	

FN Núcleo de Fenocristal
FB Borda de Fenocristal
FI Zona Intermédia de Fenocristal
CM Cristal da Matriz
MFN Núcleo de MicroFenocristal
MFB Borda de MicroFenocristal
MFNV Núcleo de MicroFenocristal de cor verde

Sistema Vulcânico de Santa Bárbara - Piroxenas

...continuação

	PMT-83			PMT-83		
	PIROX-1-b	PIROX-6-n1	PIROX-6-b1	PIROX-6-n2	PIROX-6-b2	PIROX-1-n
	FB	FN	FB	FN	FB	FN
SiO ₂	51,22	52,09	52,35	52,37	51,64	52,62
TiO ₂	1,16	0,98	0,97	0,52	1,07	0,95
Al ₂ O ₃	2,77	2,08	2,23	1,08	2,45	2,12
Cr ₂ O ₃	0,00	0,00	0,00	0,02	0,02	0,01
Fe ₂ O ₃ (C)	0,78	0,00	0,00	0,00	0,00	0,00
FeO(c)	8,35	8,42	8,48	12,51	9,46	8,90
MnO	0,38	0,29	0,32	0,68	0,40	0,32
MgO	14,11	14,43	14,77	12,35	13,60	14,53
CaO	20,50	20,43	20,58	19,63	20,28	20,51
Na ₂ O	0,45	0,42	0,42	0,33	0,48	0,38
K ₂ O	0,02	0,01	0,01	0,00	0,01	0,00
Σ Ox%	99,75	99,14	100,13	99,50	99,40	100,33
Fórmula estrutural calculada com base em 6 oxigénios						
Si	1,912	1,948	1,940	1,985	1,937	1,947
Ti	0,032	0,028	0,027	0,015	0,030	0,026
Al/Al IV	0,088	0,052	0,060	0,015	0,063	0,053
Al VI	0,034	0,040	0,037	0,034	0,045	0,040
Cr	0,000	0,000	0,000	0,001	0,000	0,000
Fe ²⁺	0,022	0,000	0,000	0,000	0,000	0,000
Fe ³⁺	0,261	0,263	0,263	0,397	0,297	0,275
Mn ²⁺	0,012	0,009	0,010	0,022	0,013	0,010
Mg	0,785	0,805	0,816	0,698	0,761	0,802
Ca	0,820	0,819	0,817	0,797	0,815	0,813
Na	0,032	0,030	0,030	0,024	0,035	0,027
K	0,001	0,000	0,000	0,000	0,000	0,000
Σ Cat#	4,000	3,994	4,000	3,988	3,996	3,994
Wo(Ca)	43,9	43,4	43,1	42,1	43,5	43,0
En(Mg)	42,1	42,6	43,0	36,9	40,6	42,4
Fs(Fe ²⁺)	14,0	14,0	13,9	21,0	15,8	14,6
Mg#	75,1	75,3	75,6	63,8	71,9	74,4

FN Núcleo de Fenocristal
 FB Bordo de Fenocristal
 FI Zona Intermédia de Fenocristal

CM Cristal da Matriz

MFN Núcleo de MicroFenocristal
 MFB Bordo de MicroFenocristal
 MFNV Núcleo de MicroFenocristal de cor verde

Sistema Vulcânico Fissural - Plagioclases

continua...

	PMT-8						PMT-14					
	Plag-m-n CMM	Plag-m-b CMB	Plag-m-n1 CMN	Plag-m-b1 CMB	Plag-m-n2 CMN	Plag-m-n3 CMB	Plag-5-b FB	Plag-5-n FN	Plag-5-nn CMN	Plag-5-mb CMB	Plag-5-m-n CMN	Plag-m-n1 CMB
SiO ₂	51,38	53,20	52,20	55,71	50,99	51,82	56,97	51,35	51,68	58,13	51,58	53,65
TiO ₂	n.d.	n.d.	n.d.	n.d.	n.d.	n.d.	n.d.	n.d.	n.d.	n.d.	n.d.	n.d.
Al ₂ O ₃	30,80	29,55	30,96	27,91	31,08	30,68	27,11	31,12	30,71	30,69	25,90	30,78
Fe ₂ O ₃	0,52	0,66	0,62	0,80	0,63	0,79	0,87	0,72	0,58	0,89	0,65	0,75
MgO	n.d.	n.d.	n.d.	n.d.	n.d.	n.d.	n.d.	n.d.	n.d.	n.d.	n.d.	n.d.
CaO	13,41	12,07	13,26	9,99	13,81	12,99	9,11	12,93	12,83	12,50	7,49	12,79
SrO	0,00	0,00	0,09	0,21	0,00	0,16	0,00	0,00	0,04	0,06	0,04	0,09
Na ₂ O	3,40	4,19	3,57	4,99	3,34	3,49	5,37	3,66	3,75	5,53	3,63	4,22
K ₂ O	0,28	0,35	0,29	1,12	0,23	0,25	1,17	0,26	0,25	0,33	2,22	0,29
Σ Ox%	99,78	100,02	100,99	100,73	100,08	100,18	100,60	100,03	99,71	99,90	99,95	99,91
Fórmula estrutural calculada com base em 32 oxigénios												
Si	2,340	2,410	2,350	2,503	2,320	2,351	2,552	2,333	2,353	2,351	2,618	2,346
Ti	-	-	-	-	-	-	-	-	-	-	-	-
Al/AlIV	1,653	1,578	1,642	1,478	1,667	1,640	1,431	1,666	1,647	1,645	1,375	1,650
Al VI	0,000	0,000	0,000	0,000	0,000	0,000	0,000	0,000	0,000	0,000	0,000	0,000
Fe ³⁺	0,018	0,023	0,021	0,027	0,022	0,027	0,029	0,025	0,020	0,030	0,022	0,026
Mg	-	-	-	-	-	-	-	-	-	-	-	-
Ca	0,654	0,586	0,639	0,481	0,673	0,632	0,437	0,629	0,626	0,609	0,362	0,623
Sr	0,000	0,000	0,002	0,005	0,000	0,004	0,000	0,000	0,001	0,002	0,001	0,001
Ba	-	-	-	-	-	-	-	-	-	-	-	-
Na	0,301	0,368	0,312	0,435	0,295	0,307	0,467	0,322	0,319	0,331	0,483	0,320
K	0,016	0,020	0,017	0,064	0,013	0,015	0,067	0,015	0,014	0,019	0,127	0,017
Rb	-	-	-	-	-	-	-	-	-	-	-	-
Σ Cat#	4,983	4,984	4,983	4,993	4,990	4,976	4,984	4,990	4,980	4,987	4,988	4,984
Ab	31,0	37,8	32,1	44,1	30,0	32,0	48,1	33,3	33,2	34,5	49,6	33,2
An	67,4	60,2	65,9	48,8	68,6	66,0	45,0	65,1	65,2	63,4	37,2	64,8
Or	1,7	2,1	1,7	6,5	1,3	1,5	6,9	1,6	1,5	2,0	13,1	1,9

FN Núcleo de Fenocristal
FB Bordo de Fenocristal
FI Zona Intermédia de Fenocristal
IP Núcleo de Inclusão em Plagioclase
MFN Núcleo de Microfenocristal
MFB Bordo de Microfenocristal
CM Cristal da Matriz
CMN Cristal da Matriz Núcleo
CMB Cristal da Matriz Bordo

Sistema Vulcânico Fissural - Plagioclases

...continuação

	PMT-14			PMT-15			PMT-15			PMT-24		
	Plag-m-b1 CMB	Plag-m-n2 CMN	Plag-m-n3 CMN	Plag-i-n FN	Plag-i-b FB	Plag-x-n FN	Plag-x-b FB	Plag-m-n CMB	Plag-m-n CMB	Plag-m-b1 FN	Plag-1-n FB	Plag-2-n FN
SiO ₂	58,81	51,78	52,15	51,49	51,24	51,16	51,91	51,74	54,94	51,95	57,68	53,94
TiO ₂	n.d.	n.d.	n.d.	n.d.	n.d.	n.d.	n.d.	n.d.	n.d.	n.d.	n.d.	n.d.
Al ₂ O ₃	25,77	30,61	30,39	31,23	31,24	31,27	31,46	30,71	28,48	30,63	26,66	28,88
Fe ₂ O ₃	0,54	0,90	0,82	0,55	0,60	0,64	0,63	0,62	0,75	0,57	0,73	0,68
MgO	n.d.	n.d.	n.d.	n.d.	n.d.	n.d.	n.d.	n.d.	n.d.	n.d.	n.d.	0,79
CaO	7,29	12,96	12,56	13,69	13,74	13,58	13,64	13,53	10,62	13,30	8,34	11,19
SrO	0,11	0,00	0,00	0,05	0,12	0,02	0,13	0,03	0,05	0,07	0,16	0,10
Na ₂ O	6,62	3,62	3,87	3,29	3,31	3,36	3,42	3,62	5,00	3,72	5,89	4,58
K ₂ O	0,66	0,24	0,25	0,25	0,28	0,26	0,28	0,59	0,35	1,06	0,25	0,56
Σ OX%	99,80	100,10	100,03	100,49	100,44	100,39	101,34	100,63	100,40	100,53	100,43	99,67
<i>Fórmula estrutural calculada com base em 32 oxigénios</i>												
Si	2,636	2,351	2,366	2,330	2,322	2,330	2,342	2,474	2,351	2,582	2,447	2,529
Ti	-	-	-	-	-	-	-	-	-	-	-	2,423
Al/Al+IV	1,361	1,637	1,625	1,665	1,669	1,672	1,664	1,638	1,511	1,634	1,407	1,544
Al/VI	0,000	0,000	0,000	0,000	0,000	0,000	0,000	0,000	0,000	0,000	0,000	0,000
Fe ³⁺	0,018	0,031	0,028	0,019	0,021	0,022	0,021	0,021	0,025	0,020	0,025	0,023
Mg	-	-	-	-	-	-	-	-	-	-	-	-
Ca	0,350	0,630	0,610	0,664	0,667	0,660	0,656	0,656	0,512	0,645	0,400	0,544
Sr	0,003	0,000	0,000	0,001	0,003	0,000	0,003	0,001	0,001	0,002	0,004	0,003
Ba	-	-	-	-	-	-	-	-	-	-	-	-
Na	0,576	0,319	0,340	0,289	0,291	0,296	0,297	0,318	0,436	0,326	0,511	0,403
K	0,038	0,014	0,014	0,014	0,016	0,015	0,016	0,034	0,020	0,060	0,014	0,033
Rb	-	-	-	-	-	-	-	-	-	-	-	-
Σ Cat#	4,981	4,981	4,984	4,980	4,986	4,989	4,984	4,995	4,993	4,996	4,988	4,978
Ab	59,6	33,1	35,3	29,9	29,9	30,3	30,7	32,0	44,4	32,8	52,5	41,7
An	36,2	65,5	63,3	68,6	68,5	67,7	67,7	66,0	52,1	65,0	41,1	56,4
Or	3,9	1,4	1,5	1,5	1,6	1,5	1,6	1,6	3,5	2,1	6,2	1,5

FN Núcleo de Fenocristal

FB Bordo de Fenocristal

FI Zona Intermédia de Fenocristal

IP Núcleo de Inclusão em Plagioclase

MFN Núcleo de Microfenocristal

MFB Bordo de Microfenocristal

CM Cristal da Matriz

CMN Cristal da Matriz Núcleo

CMB Cristal da Matriz Bordo

Sistema Vulcânico Fissural - Plagioclases

...continuação

	PMT-24						PMT-61					
	Plag-2-b _b		Plag-2-mn		Plag-2-mb		Plag-x-mn		Plag-x-mb		Plag-x-mn1	
	FB	C _{MN}	FB	C _{MN}	FB	C _{MN}	FB	C _{MN}	FB	C _{MN}	FB	
SiO ₂	54,57	53,79	56,35	55,27	56,72	53,90	54,46	48,10	49,90	56,04	52,71	51,97
TiO ₂	n.d.	n.d.	n.d.	n.d.	n.d.	n.d.	n.d.	n.d.	n.d.	n.d.	n.d.	n.d.
Al ₂ O ₃	28,41	28,30	26,83	28,48	26,77	29,28	28,97	32,95	31,53	27,98	30,45	30,14
Fe ₂ O ₃	0,94	1,05	1,03	0,88	0,96	0,81	0,65	0,72	0,65	0,65	0,70	0,71
MgO	n.d.	n.d.	n.d.	n.d.	n.d.	n.d.	n.d.	n.d.	n.d.	n.d.	n.d.	n.d.
CaO	10,94	10,74	9,12	10,79	8,89	11,56	11,07	15,70	14,54	10,08	12,77	12,59
SrO	0,19	0,09	0,07	0,00	0,04	0,15	0,15	0,05	0,00	0,05	0,12	0,03
Na ₂ O	4,75	4,81	5,71	4,86	5,71	4,48	4,76	2,15	2,93	5,38	3,89	3,93
K ₂ O	0,39	0,40	0,59	0,42	0,69	0,36	0,42	0,08	0,12	0,51	0,20	0,25
$\Sigma \text{Ox} \%$	100,20	99,18	99,71	100,71	99,77	100,53	100,48	99,75	99,68	100,69	100,85	99,61
<i>Fórmula estrutural calculada com base em 32 oxigénios</i>												
Si	2,465	2,455	2,546	2,478	2,558	2,429	2,452	2,208	2,284	2,510	2,373	2,369
Ti	-	-	-	-	-	-	-	-	-	-	-	-
Al/Al IV	1,512	1,522	1,429	1,505	1,423	1,555	1,537	1,783	1,701	1,476	1,616	1,619
Al VI	0,000	0,000	0,000	0,000	0,000	0,000	0,000	0,000	0,000	0,000	0,000	0,000
Fe ³⁺	0,032	0,036	0,035	0,030	0,033	0,027	0,022	0,025	0,022	0,022	0,024	0,024
Mg	-	-	-	-	-	-	-	-	-	-	-	-
Ca	0,529	0,525	0,442	0,519	0,429	0,558	0,534	0,772	0,713	0,484	0,616	0,615
Sr	0,005	0,002	0,002	0,000	0,001	0,004	0,004	0,001	0,000	0,001	0,003	0,001
Ba	-	-	-	-	-	-	-	-	-	-	-	-
Na	0,416	0,426	0,500	0,422	0,500	0,391	0,416	0,192	0,260	0,467	0,339	0,347
K	0,022	0,024	0,034	0,024	0,040	0,021	0,024	0,005	0,007	0,029	0,012	0,015
Rb	-	-	-	-	-	-	-	-	-	-	-	-
$\Sigma \text{Cat} \#$	4,982	4,990	4,989	4,978	4,983	4,986	4,989	4,986	4,988	4,989	4,983	4,990
Ab	42,7	43,6	51,2	43,8	51,5	40,2	42,5	19,8	26,5	47,6	35,0	35,5
An	54,4	53,8	45,2	53,7	44,3	57,3	54,6	79,6	72,7	49,3	63,5	62,9
Or	2,3	3,5	2,4	2,5	4,1	2,1	2,5	0,5	0,7	3,0	1,2	1,5

FN Núcleo de Fenocristal
 FB Bordo de Fenocristal
 FI Zona Intermédia de Fenocristal
 IP Núcleo de Inclusão em Plagioclase

MFN Núcleo de Microfenocristal
 MFB Bordo de Microfenocristal
 CM Zona Intermédia em Plagioclase

CM Cristal da Matriz
 CMN Cristal da Matriz Núcleo
 CMB Cristal da Matriz Bordo

Sistema Vulcânico Fissural - Plagioclases

...continuação

PMT-61										PMT-3				
	Plag-3-m CM	Plag-m-n CMN	Plag-m-b CMB	Plag-m1 CM	Plag-m2 CM	feld-4-b 2005 FN	feld-4-11 2005 FI	feld-1-n FN	feld-2-b FN	feld-2-n FN	plag-7-b FB	plag-7-n FN	plag-8-m CM	plag-8-m1 CM
SiO ₂	63,94	51,66	54,41	55,91	53,89	52,85	52,22	49,85	54,52	48,67	53,89	53,43	54,54	54,10
TiO ₂	n.d.	n.d.	n.d.	n.d.	n.d.	0,18	0,17	0,09	0,16	0,08	0,00	0,14	0,21	0,20
Al ₂ O ₃	22,72	29,78	28,28	27,76	28,62	28,61	28,82	32,36	28,23	32,89	28,47	29,24	28,46	28,77
Fe ₂ O ₃	0,63	0,81	0,96	0,93	0,72	0,67	0,76	0,61	0,80	0,72	0,20	0,67	0,89	0,94
MgO	n.d.	n.d.	n.d.	n.d.	n.d.	0,11	0,15	0,16	0,09	0,09	0,16	0,17	0,14	0,16
CaO	4,01	12,66	10,65	9,94	10,98	11,09	11,38	14,95	10,98	15,26	11,16	12,08	10,95	11,50
SrO	0,03	0,11	0,05	0,03	0,00	n.d.	n.d.	n.d.	n.d.	n.d.	n.d.	n.d.	n.d.	n.d.
Na ₂ O	7,43	3,80	4,86	5,22	4,55	4,73	4,56	2,46	4,93	2,16	4,57	4,04	4,92	4,52
K ₂ O	2,38	0,22	0,45	0,51	0,44	0,42	0,39	0,14	0,41	0,12	0,39	0,30	0,43	0,36
Σ OX%	101,14	99,04	99,67	100,30	99,19	98,66	98,46	100,61	100,11	100,00	98,83	100,07	100,55	100,53
<i>Fórmula estrutural calculada com base em 32 oxigénios</i>														
Si	2,814	2,371	2,468	2,513	2,454	2,427	2,406	2,260	2,464	2,224	2,461	2,417	2,455	2,437
Ti	-	-	-	-	-	0,006	0,006	0,003	0,005	0,003	0,000	0,005	0,007	0,007
Al/Al IV	1,178	1,611	1,512	1,470	1,536	1,548	1,565	1,729	1,504	1,771	1,532	1,559	1,510	1,527
Al VI	0,000	0,000	0,000	0,000	0,000	0,000	0,000	0,000	0,000	0,000	0,000	0,000	0,000	0,000
Fe ³⁺	0,021	0,028	0,033	0,032	0,025	0,023	0,026	0,021	0,027	0,025	0,007	0,023	0,030	0,032
Mg	-	-	-	-	-	-	-	0,008	0,010	0,011	0,006	0,011	0,011	0,011
Ca	0,189	0,622	0,518	0,478	0,536	0,546	0,562	0,726	0,532	0,747	0,546	0,585	0,528	0,555
Sr	0,001	0,003	0,001	0,001	0,000	-	-	-	-	-	-	-	-	-
Ba	-	-	-	-	-	-	-	-	-	-	-	-	-	-
Na	0,634	0,338	0,427	0,455	0,402	0,421	0,407	0,216	0,432	0,191	0,405	0,354	0,430	0,394
K	0,134	0,013	0,026	0,029	0,026	0,024	0,023	0,008	0,023	0,007	0,022	0,017	0,025	0,021
Rb	-	-	-	-	-	-	-	-	-	-	-	-	-	-
Σ Cat#	4,971	4,986	4,986	4,978	4,979	5,004	5,007	4,974	4,993	4,975	4,984	4,973	4,995	4,984
Ab	66,2	34,7	43,9	47,2	41,7	42,5	41,0	22,8	43,7	20,2	41,6	37,0	43,7	40,7
An	19,7	63,7	53,2	49,7	55,6	55,0	56,6	76,4	53,9	79,0	56,1	61,2	53,7	57,2
Or	14,0	1,3	2,7	3,0	2,7	2,5	2,3	0,8	2,4	0,8	2,3	1,8	2,5	2,1

FN Núcleo de Fenocristal
FB Bordo de Fenocristal
F1 Zona Intermédia de Fenocristal
IP Núcleo de Inclusão em Plagioclase

MFN Núcleo de Microfenocristal
MFB Bordo de Microfenocristal
CM Cristal da Matriz
CMN Cristal da Matriz Núcleo
CMB Cristal da Matriz Bordo

Sistema Vulcânico Fissural - Plagioclases

...continuação

	PMT-27						PMT-88								
	Plag-3-b		Plag-3-i		Plag-3-n		Plag-4-b1		Plag-4-b2-1		Plag-4-m-n-4		Plag-4-m-n-5		
	FB	FI	FB	FI	FN	FB	FN	FB	FN	FB	CMN	FB	CMB	CMN	CMB
SiO ₂	55,75	49,04	51,32	49,57	54,78	50,84	51,33	52,46	55,52	56,75	60,80	55,77	58,11	53,85	
TiO ₂	n.d.	n.d.	n.d.	n.d.	n.d.	n.d.	n.d.	n.d.	n.d.	n.d.	n.d.	n.d.	n.d.	n.d.	
Al ₂ O ₃	27,59	32,95	30,86	31,53	28,38	30,68	30,34	30,23	27,90	26,90	23,91	28,32	26,57	29,28	
Fe ₂ O ₃	0,80	0,61	0,62	0,61	0,68	0,58	0,76	0,57	0,68	0,86	0,93	0,96	0,80	0,81	
MgO	n.d.	n.d.	n.d.	n.d.	n.d.	n.d.	n.d.	n.d.	n.d.	n.d.	n.d.	n.d.	n.d.	n.d.	
CaO	9,80	15,15	13,36	14,22	10,77	13,38	13,05	12,56	10,08	9,05	5,50	10,30	8,37	11,23	
SiO	0,05	0,00	0,13	0,15	0,09	0,00	0,08	0,08	0,20	0,02	0,00	0,03	0,29	0,00	
Na ₂ O	5,42	2,59	3,56	2,93	5,07	3,47	3,78	3,99	5,39	5,91	7,48	5,31	6,32	4,80	
K ₂ O	0,41	0,11	0,20	0,15	0,30	0,18	0,22	0,18	0,35	0,49	1,07	0,36	0,49	0,32	
Σ O _{x%}	99,83	100,44	100,05	99,15	100,08	99,12	99,56	100,20	99,94	99,96	99,72	101,31	100,66	100,59	
<i>Fórmula estrutural calculada com base em 32 oxigénios</i>															
Si	2,516	2,231	2,334	2,281	2,473	2,332	2,347	2,377	2,504	2,554	2,721	2,489	2,590	2,428	
Ti	-	-	-	-	-	-	-	-	-	-	-	-	-	-	
Al/Al IV	1,468	1,767	1,654	1,710	1,510	1,659	1,635	1,614	1,483	1,427	1,261	1,489	1,396	1,556	
Al VI	0,000	0,000	0,000	0,000	0,000	0,000	0,000	0,000	0,000	0,000	0,000	0,000	0,000	0,000	
Fe ³⁺	0,027	0,021	0,021	0,021	0,023	0,020	0,026	0,020	0,023	0,029	0,031	0,032	0,027	0,027	
Mg	-	-	-	-	-	-	-	-	-	-	-	-	-	-	
Ca	0,474	0,738	0,651	0,701	0,521	0,658	0,639	0,610	0,487	0,436	0,264	0,492	0,399	0,542	
Sr	0,001	0,000	0,003	0,004	0,002	0,000	0,002	0,005	0,000	0,000	0,001	0,008	0,000	0,008	
Ba	-	-	-	-	-	-	-	-	-	-	-	-	-	-	
Na	0,475	0,228	0,314	0,261	0,444	0,308	0,335	0,350	0,471	0,516	0,649	0,459	0,546	0,419	
K	0,024	0,006	0,012	0,009	0,017	0,010	0,013	0,011	0,020	0,028	0,061	0,021	0,028	0,019	
Rb	-	-	-	-	-	-	-	-	-	-	-	-	-	-	
Σ Cat#	4,985	4,992	4,990	4,988	4,991	4,988	4,987	4,987	4,990	4,988	4,990	4,986	4,986	5,000	
Ab	48,7	23,5	32,0	26,8	45,1	31,6	33,8	35,9	48,1	52,6	66,6	46,9	56,1	42,4	
An	48,7	75,9	66,4	71,9	52,9	67,4	64,6	62,5	49,7	44,5	27,1	50,3	41,0	54,9	
Or	2,5	0,7	1,2	0,9	1,8	1,0	1,3	1,1	2,1	2,9	6,3	2,1	2,9	1,9	

FN Núcleo de Fenocristal
FB Bordo de Fenocristal
FI Zona Intermédia de Fenocristal
IP Núcleo de Inclusão em Plagioclase
CM Cristal da Matriz
CMN Cristal da Matriz Nucleo
CMB Cristal da Matriz Bordo

Sistema Vulcânico Fissural - Plagioclases

...continuação

	PMT-88									PMT-101							
	Plag-6a2			Plag-6-n2			Plag-6-i			Plag-mn	Plag-mm1	Plag-mm2	Plag-mb2	Plag-3-m	Plag-x-b	Plag-x-n	Plag-x-i
	FB	FN	FI	CWN	CMB	CMB	CWN	CWN	CWN	FB	FN	FI					
SiO ₂	57,35	55,03	54,72	55,05	56,17	56,72	56,59	56,34	55,35	56,52	55,17	52,92	48,17	47,85			
TiO ₂	n.d.	n.d.	n.d.	n.d.	n.d.	n.d.	n.d.	n.d.	n.d.	n.d.	n.d.	n.d.	n.d.	n.d.			
Al ₂ O ₃	27,53	28,84	28,57	27,67	27,85	27,00	27,17	27,40	28,65	27,20	28,07	30,57	33,78	33,76			
Fe ₂ O ₃	0,86	0,73	0,74	1,04	1,07	0,88	1,20	1,34	0,94	0,85	1,10	0,66	0,53	0,56			
MgO	n.d.	n.d.	n.d.	n.d.	n.d.	n.d.	n.d.	n.d.	n.d.	n.d.	n.d.	n.d.	n.d.	n.d.			
CaO	9,00	10,88	10,65	10,03	9,63	8,87	9,17	9,49	10,50	9,30	10,05	12,99	16,44	16,43			
SrO	0,07	0,20	0,18	0,01	0,04	0,00	0,00	0,00	0,00	0,00	0,00	0,00	0,25				
Na ₂ O	5,82	4,96	4,96	5,16	5,36	5,84	5,26	5,60	5,03	5,48	5,23	3,88	2,01				
K ₂ O	0,56	0,37	0,38	0,39	0,43	0,55	1,15	0,53	0,42	0,55	0,47	0,25	0,07	0,07			
Σ Ox%	101,19	101,02	100,20	99,36	100,54	99,87	100,55	100,70	100,90	99,91	100,07	101,26	101,00	100,97			
<i>Fórmula estrutural calculada com base em 32 oxigénios</i>																	
Si	2,549	2,464	2,468	2,499	2,516	2,554	2,540	2,524	2,476	2,544	2,489	2,372	2,186	2,178			
Ti	-	-	-	-	-	-	-	-	-	-	-	-	-	-			
Al/Al+IV	1,442	1,522	1,519	1,480	1,471	1,433	1,437	1,447	1,511	1,443	1,492	1,615	1,807	1,811			
Al/VI	0,000	0,000	0,000	0,000	0,000	0,000	0,000	0,000	0,000	0,000	0,000	0,000	0,000	0,000			
Fe ³⁺	0,029	0,025	0,025	0,036	0,036	0,030	0,041	0,045	0,032	0,029	0,037	0,022	0,018	0,019			
Mg	-	-	-	-	-	-	-	-	-	-	-	-	-	-			
Ca	0,428	0,522	0,515	0,488	0,462	0,428	0,441	0,456	0,503	0,448	0,486	0,624	0,800	0,801			
Sr	0,002	0,005	0,005	0,000	0,001	0,000	0,000	0,000	0,000	0,000	0,000	0,000	0,007	0,007			
Ba	-	-	-	-	-	-	-	-	-	-	-	-	-	-			
Na	0,502	0,430	0,434	0,455	0,465	0,510	0,458	0,486	0,436	0,479	0,458	0,338	0,176	0,180			
K	0,032	0,021	0,022	0,023	0,025	0,032	0,066	0,030	0,024	0,031	0,027	0,014	0,004	0,004			
Rb	-	-	-	-	-	-	-	-	-	-	-	-	-	-			
Σ Cat#	4,983	4,989	4,987	4,981	4,976	4,986	4,983	4,988	4,983	4,975	4,989	4,985	4,991	5,000			
Ab	52,1	44,0	44,5	47,1	48,8	52,6	47,5	50,0	45,3	49,9	47,2	34,6	18,0	18,1			
An	44,4	53,3	52,8	50,6	48,5	44,1	45,7	46,9	52,2	46,8	50,1	64,0	81,6	80,8			
Or	3,3	2,2	2,2	2,3	3,3	3,3	6,8	3,1	2,5	3,3	2,8	1,4	0,4	0,4			

FN
FB

Núcleo de Fenocristal
Bordo de Fenocristal
Zona Intermédia de Fenocristal

MFN
MFB

Núcleo de Microfenocristal
Bordo de Microfenocristal

CM
CWN

Cristal da Matriz
Cristal da Matriz Núcleo
Cristal da Matriz Bordo

FI
IP

Núcleo de Inclusão em Plagioclase

Sistema Vulcânico Fissural - Plagioclases

...continuação

	PMT-101						PMT-17					
	Plag-1-n1 FN	Plag-1-b1 FB	Plag-1-i2 FB	Plag-1-n2 FN	Plag-2-b FB	Plag-2-i FI	Plag-5-olv-i FB	Plag-5-olv-b FI	Plag-5-olv-n FN	Plag-5-olv-mn CMB	Plag-5-olv-mb MFN	Plag-5-olv-mfn FB
SiO ₂	51,39	51,89	51,53	51,46	55,28	52,28	54,19	48,08	48,57	52,79	56,49	52,06
TiO ₂	n.d.	n.d.	n.d.	n.d.	n.d.	n.d.	n.d.	n.d.	n.d.	n.d.	n.d.	0,09
Al ₂ O ₃	30,97	30,78	31,36	31,55	28,08	29,53	29,80	28,35	33,22	32,75	29,76	31,18
Fe ₂ O ₃	0,60	0,71	0,60	0,57	0,79	0,53	0,49	0,80	0,62	0,66	0,77	0,65
MgO	n.d.	n.d.	n.d.	n.d.	n.d.	n.d.	n.d.	n.d.	n.d.	n.d.	n.d.	0,06
CaO	13,64	13,44	13,58	13,75	10,08	11,59	11,63	10,88	15,63	15,21	12,03	9,42
SiO	0,00	0,00	0,17	0,06	0,00	0,05	0,00	0,13	0,18	0,00	0,36	0,00
Na ₂ O	3,53	3,71	3,41	3,33	4,93	4,35	4,45	4,82	2,26	2,35	4,08	5,63
K ₂ O	0,16	0,21	0,18	0,17	0,47	0,25	0,23	0,38	0,10	0,08	0,29	0,47
Σ O _{x%}	100,29	100,73	100,84	100,90	99,64	98,58	99,89	99,54	100,09	99,62	100,06	100,55
												101,28
												99,60
Fórmula estrutural calculada com base em 32 oxigénios												
Si	2,331	2,344	2,326	2,320	2,499	2,401	2,412	2,463	2,202	2,228	2,396	2,531
Ti	-	-	-	-	-	-	-	-	-	-	-	-
Al/Al IV	1,656	1,638	1,668	1,676	1,496	1,599	1,518	1,793	1,771	1,792	1,449	1,651
Al VI	0,000	0,000	0,000	0,000	0,000	0,000	0,000	0,000	0,000	0,000	0,000	0,000
Fe ³⁺	0,021	0,024	0,020	0,019	0,027	0,018	0,017	0,027	0,021	0,023	0,026	0,036
Mg	-	-	-	-	-	-	-	-	-	-	-	-
Ca	0,663	0,650	0,657	0,664	0,488	0,570	0,564	0,530	0,767	0,747	0,585	0,452
Sr	0,000	0,000	0,005	0,002	0,000	0,001	0,000	0,003	0,005	0,000	0,000	0,005
Ba	-	-	-	-	-	-	-	-	-	-	-	-
Na	0,311	0,325	0,299	0,291	0,432	0,387	0,391	0,424	0,201	0,209	0,359	0,489
K	0,009	0,012	0,011	0,010	0,027	0,015	0,013	0,022	0,006	0,005	0,017	0,027
Rb	-	-	-	-	-	-	-	-	-	-	-	-
Σ Cat#	4,990	4,993	4,985	4,982	4,969	4,992	4,987	4,988	4,994	4,983	4,985	4,985
Ab	31,6	32,9	30,8	30,1	45,6	39,8	40,3	43,3	20,5	21,8	37,0	50,5
An	67,5	65,9	67,7	68,7	51,5	58,6	58,3	54,1	78,4	77,7	60,3	46,7
Or	0,9	1,2	1,1	1,0	2,9	1,5	1,4	2,2	0,6	0,5	1,7	2,8

FN Núcleo de Fenocristal
FB Bordo de Fenocristal
FI Zona Intermédia de Fenocristal
IP Núcleo de Inclusão em Plagioclase

MFN Núcleo de Microfenocristal
MFB Bordo de Microfenocristal
CM Cristal da Matriz
CMN Cristal da Matriz Núcleo
CMB Cristal da Matriz Bordo

Sistema Vulcânico Fissural - Plagioclases

...continuação

	PMT-17 plag-4-n FN	plg-4-inc1	PMT-51 plg-4-inc2	plg-4-inc3
SiO ₂	50,73	46,93	48,84	48,11
TiO ₂	0,13	0,02	0,11	0,07
Al ₂ O ₃	30,78	32,77	32,16	32,97
Fe ₂ O ₃	0,63	0,57	0,68	0,76
MgO	0,12	0,10	0,07	0,06
CaO	13,44	16,08	15,20	15,90
SrO	n.d.	n.d.	n.d.	n.d.
Na ₂ O	3,80	2,04	2,82	2,29
K ₂ O	0,17	0,08	0,11	0,11
Σ OX%	99,80	98,58	99,98	100,27
<i>Fórmula estrutural calculada com base em 32 oxigénios</i>				
Si	2,317	2,185	2,237	2,201
Ti	0,005	0,001	0,004	0,002
Al/Al IV	1,657	1,798	1,736	1,778
Al VI	0,000	0,000	0,000	0,000
Fe ³⁺	0,022	0,020	0,023	0,026
Mg	0,008	0,007	0,005	0,004
Ca	0,658	0,802	0,746	0,779
Sr	-	-	-	-
Ba	-	-	-	-
Na	0,337	0,184	0,250	0,203
K	0,010	0,005	0,006	0,007
Rb	-	-	-	-
Σ Cat#	5,012	5,000	5,008	5,000
Ab	33,5	18,6	25,0	20,5
An	65,5	80,9	74,4	78,8
Or	1,0	0,5	0,6	0,7

FN Núcleo de Fenocristal

FB Bordo de Fenocristal

FI Zona Intermédia de Fenocristal

IP Núcleo de Inclusão em Plagioclase

MFN Núcleo de Microfenocristal

MFB Bordo de Microfenocristal

C Cristal da Matriz

CM Cristal da Matriz Núcleo

CMB Cristal da Matriz Bordo

Sistema Vulcânico de Santa Bárbara - Plagioclases

continua...

	PMT-70						PMT-71					
	Plag-x-n FN	Plag-x-1 FI	Plag-x-n1 FN	Plag-x-mn CMN	Plag-x-mf-i MFI	Plag-x-mf-i FB	Plag-3-n FN	Plag-3-n1 FI	Plag-3-n1 FN	Plag-3-n1 CMM	Plag-3-mn CMB	Plag-3-mn1 CMM
SiO ₂	48,29	51,16	48,33	55,35	47,85	50,64	49,22	51,98	49,33	51,15	50,35	53,65
TiO ₂	n.d.	n.d.	n.d.	n.d.	n.d.	n.d.	n.d.	n.d.	n.d.	n.d.	n.d.	n.d.
Al ₂ O ₃	32,34	30,85	32,78	27,24	33,52	31,64	31,67	29,38	31,64	31,57	30,61	29,22
Fe ₂ O ₃	0,68	0,69	0,59	1,00	0,73	0,75	0,77	0,82	0,85	0,75	0,74	1,27
MgO	n.d.	n.d.	n.d.	n.d.	n.d.	n.d.	n.d.	n.d.	n.d.	n.d.	n.d.	n.d.
CaO	15,12	13,44	15,55	9,86	16,12	14,30	14,07	14,00	12,05	14,09	14,42	13,06
SrO	0,00	0,08	0,01	0,06	0,00	0,06	0,00	0,11	0,03	0,34	0,00	0,18
Na ₂ O	2,26	3,61	2,38	5,46	2,06	3,05	2,82	2,93	3,96	2,91	2,83	3,53
K ₂ O	0,09	0,19	0,10	0,50	0,07	0,18	0,15	0,13	0,27	0,15	0,16	0,24
Σ O _x %	98,78	100,02	99,73	99,48	100,36	100,62	98,61	98,76	98,52	99,13	99,05	98,99
Fórmula estrutural calculada com base em 32 oxigénios												
Si	2,233	2,329	2,218	2,513	2,186	2,295	2,275	2,269	2,393	2,271	2,273	2,319
Ti	-	-	-	-	-	-	-	-	-	-	-	2,424
Al/Al IV	1,763	1,655	1,773	1,458	1,805	1,690	1,722	1,725	1,594	1,720	1,715	1,649
Al VI	0,000	0,000	0,000	0,000	0,000	0,000	0,000	0,000	0,000	0,000	0,000	1,556
Fe ³⁺	0,024	0,024	0,020	0,034	0,025	0,026	0,027	0,029	0,030	0,026	0,027	0,030
Mg	-	-	-	-	-	-	-	-	-	-	-	-
Ca	0,749	0,656	0,765	0,480	0,789	0,695	0,697	0,693	0,594	0,696	0,712	0,640
Sr	0,000	0,002	0,000	0,002	0,000	0,002	0,000	0,003	0,001	0,009	0,000	0,005
Ba	-	-	-	-	-	-	-	-	-	-	-	-
Na	0,203	0,318	0,212	0,480	0,182	0,268	0,252	0,263	0,354	0,261	0,253	0,313
K	0,005	0,011	0,006	0,029	0,004	0,010	0,009	0,008	0,016	0,009	0,009	0,014
Rb	-	-	-	-	-	-	-	-	-	-	-	-
Σ Cat#	4,977	4,996	4,994	4,996	4,992	4,986	4,981	4,989	4,980	4,991	4,988	4,987
Ab	21,2	32,2	21,6	48,5	18,7	27,5	26,4	27,2	36,7	26,7	25,9	32,2
An	78,2	66,4	77,8	48,4	80,9	71,3	72,7	71,7	61,6	71,4	73,1	65,8
Or	0,6	1,1	0,6	2,9	0,4	1,0	0,9	0,8	1,6	0,9	1,0	1,4

FN Núcleo de Fenocristal
FB Bordo de Fenocristal
FI Zona Intermédia de Fenocristal
IP Núcleo de Inclusão em Plagioclase
CMB Cristal da Matriz Bordo
CMN Cristal da Matriz Núcleo
CMM Cristal da Matriz

Sistema Vulcânico de Santa Bárbara - Plagioclases

...continuação

	PMT-71				PMT-72				PMT-73			
	Plag-3-mb1 CMB	Plag-inc-3-n IP	Plag-1-b FB	Plag-1-n FN	Plag-3-b FB	Plag-3-n FN	Plag-3-i1 FI	Plag-3-i2 FI	Plag-3-i3 FI	Plag-3-i4 CMN	Plag-3-i5 FB	Plag-2-b FN
SiO ₂	55,84	48,41	48,95	49,91	51,39	50,24	50,10	49,36	47,48	50,24	48,49	52,57
TiO ₂	n.d.	n.d.	n.d.	n.d.	n.d.	n.d.	n.d.	n.d.	n.d.	n.d.	n.d.	n.d.
Al ₂ O ₃	27,30	33,17	32,02	32,79	31,66	32,32	32,81	32,03	32,58	31,58	33,04	31,10
Fe ₂ O ₃	1,06	0,75	0,62	0,70	0,65	0,74	0,59	0,66	0,62	0,57	0,65	0,74
MgO	n.d.	n.d.	n.d.	n.d.	n.d.	n.d.	n.d.	n.d.	n.d.	n.d.	n.d.	n.d.
CaO	9,40	15,70	14,97	15,16	13,98	14,48	15,02	14,65	15,63	14,27	15,60	14,04
SrO	0,05	0,01	0,23	0,09	0,06	0,10	0,00	0,08	0,15	0,00	0,24	0,00
Na ₂ O	5,55	2,42	2,63	2,54	3,25	3,02	2,75	2,77	2,14	3,08	2,30	3,12
K ₂ O	0,46	0,12	0,17	0,12	0,20	0,13	0,12	0,15	0,09	0,15	0,13	0,20
Σ Ox%	99,65	100,58	99,60	101,33	101,21	101,02	101,40	99,69	98,68	99,88	100,44	99,45
Fórmula estrutural calculada com base em 32 oxigénios												
Si	2,525	2,206	2,250	2,312	2,270	2,255	2,262	2,205	2,293	2,213	2,303	2,379
Ti	-	-	-	-	-	-	-	-	-	-	-	2,337
Al/Al IV	1,455	1,782	1,735	1,743	1,679	1,721	1,741	1,730	1,784	1,698	1,777	1,680
Al VI	0,000	0,000	0,000	0,000	0,000	0,000	0,000	0,000	0,000	0,000	0,000	0,000
Fe ³⁺	0,036	0,026	0,021	0,024	0,022	0,025	0,020	0,023	0,022	0,020	0,022	0,023
Mg	-	-	-	-	-	-	-	-	-	-	-	-
Ca	0,455	0,767	0,737	0,732	0,674	0,701	0,725	0,719	0,778	0,698	0,763	0,690
Sr	0,001	0,000	0,006	0,002	0,002	0,003	0,000	0,002	0,004	0,000	0,006	0,000
Ba	-	-	-	-	-	-	-	-	-	-	-	-
Na	0,486	0,213	0,235	0,222	0,284	0,265	0,240	0,246	0,193	0,272	0,203	0,278
K	0,026	0,007	0,010	0,007	0,012	0,008	0,007	0,009	0,005	0,009	0,007	0,012
Rb	-	-	-	-	-	-	-	-	-	-	-	-
Σ Cat#	4,986	5,000	4,994	4,981	4,985	4,993	4,988	4,991	4,989	4,992	4,988	4,991
Ab	50,2	21,6	23,7	23,1	29,2	27,1	24,7	25,2	19,7	27,8	20,7	28,4
An	47,0	77,7	74,6	76,0	69,4	71,8	74,6	73,7	79,4	71,3	77,9	70,4
Or	2,7	0,7	1,0	0,7	1,2	0,8	0,7	0,9	0,5	0,9	0,7	1,2

FN Núcleo de Fenocrystal
FB Bordo de Fenocrystal
FI Zona Intermédia de Fenocrystal
IP Núcleo de Inclusão em Plagioclase
MFN Núcleo de Microfenocrystal
MFB Bordo de Microfenocrystal
ZI Zona Intermédia de Fenocrystal
NIC Núcleo de Inclusão em Plagioclase
CM Cristal da Matriz
CMN Cristal da Matriz Núcleo
CMB Cristal da Matriz Bordo

Sistema Vulcânico de Santa Bárbara - Plagioclases

...continuação

	PMT-72						PMT-73						PMT-74					
	Plag-2-i FI	Plag-2-b1 FB	Plag-2-m1 FN	Plag-2-mm CMN	Plag-2-mb CMB	Plag-2-b FB	Plag-2-h FI	Plag-2-n FN	Plag-3-b FB	Plag-3-n FN	Plag-3-mm CMN	Plag-3-mb CMB	Plag-2-b FB	Plag-2-h FI	Plag-2-b FB	Plag-2-h FI		
SiO ₂	51,87	66,06	54,28	53,17	54,70	57,84	53,15	53,23	57,17	52,82	57,01	58,03	58,54	53,73	n.d.	n.d.	n.d.	
TiO ₂	n.d.	n.d.	n.d.	n.d.	n.d.	n.d.	n.d.	n.d.	n.d.	n.d.	n.d.	n.d.	n.d.	n.d.	n.d.	n.d.	n.d.	
Al ₂ O ₃	30,22	21,27	28,26	29,08	28,18	26,95	30,31	30,21	27,27	29,92	27,02	26,45	25,99	29,32				
Fe ₂ O ₃	0,68	0,50	0,83	0,80	1,14	0,84	0,64	0,63	0,64	0,64	0,94	0,84	0,89	0,70				
MgO	n.d.	n.d.	n.d.	n.d.	n.d.	n.d.	n.d.	n.d.	n.d.	n.d.	n.d.	n.d.	n.d.	n.d.	n.d.	n.d.	n.d.	
CaO	12,65	2,39	10,96	11,69	10,72	8,78	12,38	12,40	9,14	12,47	9,12	8,22	7,90	11,55				
SrO	0,00	0,00	0,26	0,02	0,06	0,03	0,14	0,20	0,14	0,17	0,17	0,07	0,00	0,09				
Na ₂ O	3,78	7,57	4,70	4,45	4,87	5,94	4,11	4,26	5,85	4,07	5,75	6,37	6,25	4,60				
K ₂ O	0,21	3,58	0,36	0,35	0,43	0,58	0,25	0,23	0,54	0,21	0,56	0,62	0,71	0,29				
Σ O ₂ %	99,41	101,38	99,65	99,55	100,11	100,95	100,97	101,15	100,74	100,31	100,58	100,61	100,29	100,28				
<i>Fórmula estrutural calculada com base em 32 oxigénios</i>																		
Si	2,368	2,896	2,465	2,421	2,472	2,573	2,388	2,389	2,553	2,390	2,553	2,591	2,616	2,426				
Ti	-	-	-	-	-	-	-	-	-	-	-	-	-	-				
Al/Al IV	1,626	1,099	1,513	1,560	1,501	1,413	1,605	1,598	1,435	1,596	1,426	1,392	1,369	1,560				
Al VI	0,000	0,000	0,000	0,000	0,000	0,000	0,000	0,000	0,000	0,000	0,000	0,000	0,000	0,000	0,000	0,000	0,000	
Fe ³⁺	0,023	0,016	0,028	0,027	0,039	0,028	0,022	0,021	0,022	0,022	0,022	0,032	0,028	0,030	0,024			
Mg	-	-	-	-	-	-	-	-	-	-	-	-	-	-	-	-	-	
Ca	0,618	0,112	0,533	0,570	0,519	0,418	0,596	0,596	0,437	0,605	0,438	0,393	0,378	0,559				
Sr	0,000	0,000	0,007	0,000	0,002	0,001	0,004	0,005	0,004	0,005	0,004	0,004	0,002	0,000	0,002	0,000	0,000	
Ba	-	-	-	-	-	-	-	-	-	-	-	-	-	-	-	-	-	
Na	0,335	0,644	0,414	0,393	0,427	0,512	0,358	0,370	0,507	0,357	0,499	0,552	0,541	0,403				
K	0,012	0,200	0,021	0,020	0,025	0,033	0,014	0,013	0,031	0,012	0,032	0,036	0,041	0,017				
Rb	-	-	-	-	-	-	-	-	-	-	-	-	-	-	-	-	-	
Σ Cat#	4,981	4,968	4,981	4,992	4,984	4,979	4,985	4,993	4,988	4,986	4,984	4,993	4,975	4,992				
Ab	34,7	67,3	42,5	39,9	43,9	53,1	36,9	37,6	51,8	36,5	51,3	56,2	56,4	41,1				
An	64,1	11,8	54,7	57,9	53,4	43,4	61,3	60,5	44,7	61,8	45,0	40,0	39,4	57,0				
Or	1,2	21,0	2,1	2,1	2,5	3,4	1,5	1,3	3,2	1,2	3,3	3,6	4,2	1,7				

FN Núcleo de Fenocristal
FB Bordo de Fenocristal
FI Zona Intermédia de Fenocristal
IP Núcleo de Inclusão em Plagioclase
CN Cristal da Matriz
CM Cristal da Matriz Núcleo
CB Cristal da Matriz Bordo

Sistema Vulcânico de Santa Bárbara - Plagioclases

...continuação

	PMT-74				PMT-54								
	Plag-2-i2 FI	Plag-2-i3 FI	Plag-2-n FN	Plag-2-mn CMN	Plag-1-b FB	Plag-1-i1 FI	Plag-1-n FN	Plag-1-mn CMN	plag-1-inc IP	plag-1-b FB	plag-1-i1 FI	plag-1-i2 FI	plag-1-3 FI
SiO ₂	52,03	51,46	53,33	55,15	58,62	56,98	52,58	58,03	48,31	52,16	49,70	48,40	47,84
TiO ₂	n.d.	n.d.	n.d.	n.d.	n.d.	n.d.	n.d.	n.d.	0,07	0,17	0,11	0,10	0,06
Al ₂ O ₃	30,25	31,05	29,92	28,03	26,09	27,09	30,12	30,74	26,31	33,38	29,96	31,60	32,70
Fe ₂ O ₃	0,61	0,63	0,69	0,80	1,24	0,78	0,66	0,67	1,04	0,80	0,89	0,80	0,84
MgO	n.d.	n.d.	n.d.	n.d.	n.d.	n.d.	n.d.	n.d.	n.d.	n.d.	0,09	0,09	0,07
CaO	12,78	13,54	12,09	10,34	8,23	9,07	12,47	12,84	8,68	15,96	12,57	14,51	15,36
SrO	0,14	0,06	0,21	0,19	0,20	0,16	0,07	0,21	0,00	n.d.	n.d.	n.d.	n.d.
Na ₂ O	3,96	3,50	4,30	5,13	6,21	5,96	4,10	3,87	6,15	2,22	4,40	3,08	2,58
K ₂ O	0,23	0,17	0,24	0,48	0,66	0,56	0,22	0,21	0,62	0,06	0,25	0,17	0,14
Σ O ₂ %	100,00	100,41	100,78	100,13	101,25	100,61	100,22	100,72	100,81	100,89	100,50	100,04	100,21
<i>Fórmula estrutural calculada com base em 32 oxigénios</i>													
Si	2,365	2,332	2,400	2,489	2,603	2,551	2,381	2,356	2,588	2,195	2,363	2,271	2,214
Ti	-	-	-	-	-	-	-	-	-	0,002	0,006	0,004	0,002
A ₁ /A ₁ IV	1,621	1,658	1,587	1,491	1,366	1,429	1,607	1,635	1,383	1,787	1,599	1,701	1,763
Al VI	0,000	0,000	0,000	0,000	0,000	0,000	0,000	0,000	0,000	0,000	0,000	0,000	0,000
Fe ³⁺	0,021	0,021	0,023	0,027	0,041	0,026	0,023	0,023	0,035	0,027	0,030	0,028	0,027
Mg	-	-	-	-	-	-	-	-	-	0,006	0,006	0,005	0,004
Ca	0,623	0,657	0,583	0,500	0,391	0,435	0,605	0,621	0,415	0,777	0,610	0,710	0,753
Sr	0,004	0,002	0,006	0,005	0,005	0,004	0,002	0,002	0,000	-	-	-	-
Ba	-	-	-	-	-	-	-	-	-	-	-	-	-
Na	0,349	0,307	0,375	0,449	0,535	0,518	0,360	0,338	0,532	0,196	0,387	0,273	0,229
K	0,013	0,010	0,014	0,028	0,038	0,032	0,012	0,012	0,035	0,004	0,015	0,010	0,008
Rb	-	-	-	-	-	-	-	-	-	-	-	-	-
Σ Cat#	4,985	4,987	4,988	4,990	4,979	4,996	4,990	4,991	4,987	4,995	5,017	5,002	5,015
Ab	35,3	31,5	38,4	45,7	55,2	52,3	36,8	34,6	54,2	20,1	38,2	27,5	23,1
An	63,0	67,4	59,7	50,9	40,4	44,0	61,7	63,6	42,3	79,6	60,3	71,5	77,0
Or	1,3	1,0	1,4	2,8	3,9	3,2	1,3	1,2	3,6	0,4	1,4	1,0	0,4

FN Núcleo de Fenocrystal
FB Bordo de Fenocrystal
FI Zona Intermédia de Fenocrystal
IP Núcleo de Inclusão em Plagioclase
CM Cristal da Matriz
CMN Cristal da Matriz Núcleo
CMB Cristal da Matriz Bordo

Sistema Vulcânico de Santa Bárbara - Plagioclases

...continuação

	PMT-54						PMT-63					
	pig-1-n FN	pig-2-inc IP	pig-2-b FB	pig-2-i FI	pig-3-inc IP	pig-2-i FI	pig-2-i FN	pig-2-i FI	pig-3-b FB	pig-3-b FI	pig-3-i FB	pig-3-i FI
SiO ₂	45,97	51,19	52,01	53,97	53,15	52,74	53,24	50,81	51,82	55,98	49,99	48,70
TiO ₂	0,07	0,10	0,13	0,12	0,18	0,12	0,12	0,15	0,09	0,17	0,12	0,07
Al ₂ O ₃	33,50	30,77	30,67	29,58	29,43	29,61	29,87	31,30	30,57	27,62	30,63	33,40
Fe ₂ O ₃	0,63	0,72	0,76	0,82	0,76	0,82	0,65	0,68	0,68	0,78	0,76	0,71
MgO	0,04	0,11	0,11	0,14	0,12	0,14	0,10	0,10	0,11	0,10	0,11	0,09
CaO	16,89	13,66	13,54	11,83	12,24	11,83	12,14	13,84	12,87	10,24	13,98	16,20
SiO	n.d.	n.d.	n.d.	n.d.	n.d.	n.d.	n.d.	n.d.	n.d.	n.d.	n.d.	n.d.
Na ₂ O	1,76	3,65	4,53	4,22	4,53	4,56	3,63	4,04	5,33	3,38	2,12	5,91
K ₂ O	0,06	0,20	0,20	0,31	0,25	0,31	0,28	0,21	0,24	0,35	0,16	0,07
Σ O _{X%}	98,92	100,40	101,06	101,29	100,35	100,09	100,97	100,72	100,43	100,57	99,13	101,35
<i>Fórmula estrutural calculada com base em 32 oxigénios</i>												
Si	2,139	2,324	2,342	2,415	2,402	2,392	2,393	2,302	2,347	2,510	2,302	2,202
Ti	0,002	0,003	0,004	0,004	0,006	0,004	0,004	0,005	0,003	0,006	0,004	0,002
Al/Al IV	1,838	1,646	1,628	1,560	1,568	1,583	1,583	1,672	1,632	1,459	1,663	1,780
Al VI	0,000	0,000	0,000	0,000	0,000	0,000	0,000	0,000	0,000	0,000	0,000	0,000
Fe ³⁺	0,022	0,024	0,026	0,027	0,026	0,028	0,028	0,022	0,023	0,023	0,026	0,024
Mg	0,003	0,007	0,007	0,009	0,008	0,009	0,006	0,007	0,008	0,007	0,008	0,006
Ca	0,842	0,665	0,654	0,567	0,593	0,575	0,585	0,672	0,625	0,492	0,690	0,785
Sr	-	-	-	-	-	-	-	-	-	-	-	-
Ba	-	-	-	-	-	-	-	-	-	-	-	-
Na	0,159	0,321	0,319	0,393	0,370	0,398	0,398	0,319	0,355	0,463	0,302	0,185
K	0,003	0,012	0,011	0,017	0,014	0,018	0,016	0,012	0,014	0,020	0,009	0,004
Rb	-	-	-	-	-	-	-	-	-	-	-	-
Σ Cat#	5,010	5,003	4,992	4,993	4,987	5,007	5,007	5,011	5,007	4,983	5,004	4,989
Ab	15,8	32,2	32,4	40,2	37,9	40,2	39,8	31,8	35,7	47,5	30,1	19,0
An	83,8	66,6	66,4	58,0	60,7	58,0	58,6	67,0	62,9	50,4	68,9	80,5
Or	0,3	1,2	1,2	1,8	1,5	1,8	1,6	1,2	1,4	2,1	0,9	0,4

FN Núcleo de Fenocristal
FB Bordo de Fenocristal
FI Zona Intermédia de Fenocristal
IP Núcleo de Inclusão em Plagioclase
CM Cristal da Matriz
CMN Cristal da Matriz Núcleo
CMB Cristal da Matriz Bordo

Sistema Vulcânico de Santa Bárbara - Plagioclases

...continuação

	PMT-63				PMT-83			
	plg-3-l2 FI	plg-3-13 FI	plg-3-N FN	Plag-1-b2 FB	Plag-1-n2-1 FN	Plag-1-b3-2 FB	Plag-1-n3-3 FN	Plag-1-n4 CM
SiO ₂	47,45	47,63	48,07	58,45	56,85	61,25	56,11	59,25
TiO ₂	0,10	0,09	0,08	n.d.	n.d.	n.d.	n.d.	n.d.
Al ₂ O ₃	33,49	33,24	33,10	26,52	27,32	24,38	27,37	24,92
Fe ₂ O ₃	0,72	0,63	0,70	0,62	0,37	0,60	0,48	0,78
MgO	0,10	0,10	0,13	n.d.	n.d.	n.d.	n.d.	n.d.
CaO	16,23	16,24	16,35	8,39	9,04	6,08	9,40	6,76
SrO	n.d.	n.d.	n.d.	0,16	0,13	0,26	0,00	0,33
Na ₂ O	2,17	2,06	2,12	6,23	5,80	7,36	5,67	6,76
K ₂ O	0,08	0,06	0,07	0,47	0,34	0,81	0,33	0,79
Σ O _{2%}	100,34	100,06	100,62	100,85	99,86	100,73	99,38	99,59
<i>Fórmula estrutural calculada com base em 32 oxigénios</i>								
Si	2,172	2,184	2,193	2,599	2,555	2,713	2,537	2,664
Ti	0,004	0,003	0,003	-	-	-	-	-
Al/Al IV	1,807	1,797	1,779	1,390	1,447	1,273	1,459	1,320
Al VI	0,000	0,000	0,000	0,000	0,000	0,000	0,000	0,000
Fe ³⁺	0,025	0,022	0,024	0,021	0,013	0,020	0,016	0,026
Mg	0,007	0,007	0,009	-	-	-	-	0,021
Ca	0,796	0,798	0,799	0,400	0,435	0,288	0,456	0,325
Sr	-	-	-	0,004	0,003	0,003	0,007	0,000
Ba	-	-	-	-	-	-	-	-
Na	0,192	0,183	0,187	0,537	0,505	0,632	0,497	0,589
K	0,005	0,004	0,004	0,027	0,020	0,046	0,019	0,046
Rb	-	-	-	-	-	-	-	-
Σ Cat#	5,007	4,997	4,998	4,978	4,979	4,984	4,980	4,981
Ab	19,4	18,6	18,9	55,5	52,4	65,0	51,2	60,8
An	80,2	81,1	80,7	41,3	45,2	29,6	46,9	33,6
Or	0,5	0,4	0,4	2,8	2,0	4,7	2,0	4,7

FN Núcleo de Fenocristal
 FB Bordo de Fenocristal
 FI Zona Intermédia de Fenocristal
 IP Núcleo de Inclusão em Plagioclase

MFN Núcleo de Microfenocristal
 MFB Bordo de Microfenocristal

CM Cristal da Matriz
 CMN Cristal da Matriz Núcleo
 CMB Cristal da Matriz Bordo

Sistema Vulcânico dos Cinco Picos - Plagioclases

	PV-1						PV-2						PV-2					
	plg-1-m CM		plg-2-b FB		plg-2-i1 FI		plg-2-i2 FI		plg-2-n FN		plg-2-b1 FB		plg-2-n2 FN		plg-2-b2 FB			
SiO ₂	52,98	56,41	55,78	50,16	51,60	55,19	53,98	51,78	48,51									
TiO ₂	0,21	0,22	0,17	0,11	0,10	0,18	0,13	0,09	0,08									
Al ₂ O ₃	29,00	27,51	27,90	31,67	30,73	27,95	28,40	30,76	32,08									
Fe ₂ O ₃	1,04	0,80	0,82	0,80	0,67	0,88	0,63	0,77	0,79									
MgO	0,10	0,07	0,07	0,06	0,08	0,07	0,12	0,09	0,07									
CaO	11,70	9,89	10,14	14,20	13,70	10,13	10,22	13,38	15,10									
SrO	n.d.	n.d.	n.d.	n.d.	n.d.	n.d.	n.d.	n.d.	n.d.									
Na ₂ O	4,59	5,54	5,27	3,11	3,36	5,54	5,68	3,69	2,69									
K ₂ O	0,31	0,45	0,48	0,16	0,18	0,44	0,33	0,14	0,13									
Σ O _x %	99,93	100,89	100,63	100,27	100,42	100,39	99,49	100,70	99,45									
Fórmula estrutural calculada com base em 32 oxigénios																		
Si	2,407	2,520	2,501	2,282	2,337	2,485	2,455	2,339	2,234									
Ti	0,007	0,008	0,006	0,004	0,003	0,006	0,004	0,003	0,003									
Al/Al IV	1,553	1,449	1,474	1,699	1,641	1,483	1,522	1,638	1,741									
Al VI	0,000	0,000	0,000	0,000	0,000	0,000	0,000	0,000	0,000									
Fe ³⁺	0,036	0,027	0,028	0,027	0,023	0,030	0,022	0,026	0,027									
Mg	0,006	0,004	0,005	0,004	0,005	0,005	0,008	0,006	0,005									
Ca	0,570	0,474	0,487	0,692	0,665	0,489	0,498	0,648	0,745									
Sr	-	-	-	-	-	-	-	-	-									
Ba	-	-	-	-	-	-	-	-	-									
Na	0,404	0,480	0,458	0,274	0,295	0,484	0,501	0,323	0,240									
K	0,018	0,025	0,027	0,009	0,010	0,026	0,019	0,008	0,008									
Rb	-	-	-	-	-	-	-	-	-									
Σ Cat#	5,002	4,987	4,985	4,993	4,980	5,007	5,029	4,992	5,003									
Ab	40,8	49,0	47,1	28,1	30,4	48,5	49,2	33,0	24,2									
An	57,4	48,4	50,1	70,9	68,5	49,0	48,9	66,1	75,1									
Or	1,8	2,6	2,8	1,0	1,1	2,6	1,9	0,8	0,8									

FN Núcleo de Fenocristal
FB Bordo de Fenocristal
FI Zona Intermédia de Fenocristal
IP Núcleo de Inclusão em Plagioclase
MFN Núcleo de Microfenocristal
MFB Bordo de Microfenocristal
CM Cristal da Matriz
CMN Cristal da Matriz Núcleo
CMB Cristal da Matriz Bordo

Sistema Vulcânico Fissural - Espinela

continua...

	PMT-8	PMT-14	PMT-15			PMT-24	PMT-27		
	OXID-1-n1	OXID-1-n1-1	OXID-1-n4	OXID-3-n2	OXID-3-n3	OXID-x-n	OXID-2-n1-4	OXID-2-n2	OXID-x-m2
	IMFOL	IFOL	IFOL	IMFOL	IMFOL	IMFOL	IFOL	IFOL	CM
SiO ₂	0,96	5,00	6,20	2,66	2,91	0,38	3,04	2,79	0,41
TiO ₂	19,96	1,03	1,02	14,88	1,99	0,21	10,64	11,03	16,19
Al ₂ O ₃	1,53	20,76	21,34	11,04	7,34	1,93	9,94	10,76	0,13
Cr ₂ O ₃	0,24	38,18	36,35	7,88	14,36	0,81	14,53	14,69	0,03
Fe ₂ O ₃ (c)	26,21	0,00	0,00	15,07	37,74	66,10	19,26	17,41	36,79
FeO	47,27	24,99	24,58	41,30	28,29	22,64	37,02	38,47	44,37
V ₂ O ₃	0,00	0,00	0,00	0,00	0,00	0,00	0,00	0,00	0,00
MnO	0,00	0,00	0,00	0,00	0,00	0,61	0,36	0,38	0,53
MgO	2,12	9,25	11,08	5,58	6,13	5,21	6,40	5,52	0,93
ZnO	0,11	0,05	0,05	0,07	0,01	0,13	0,04	0,06	0,18
NiO	0,02	0,09	0,08	0,12	0,25	0,11	0,13	0,13	0,03
Σ Ox%	98,43	99,35	100,68	98,60	99,02	98,13	101,37	101,23	99,61
Fórmula estrutural calculada com base em 32 oxigénios									
Si	0,036	0,156	0,188	0,091	0,102	0,014	0,102	0,094	0,016
Ti	0,559	0,024	0,023	0,384	0,052	0,006	0,268	0,279	0,459
Al/Al IV	0,000	0,000	0,000	0,000	0,000	0,000	0,000	0,000	0,000
Al VI	0,067	0,763	0,763	0,447	0,303	0,085	0,392	0,426	0,006
Cr	0,007	0,941	0,871	0,214	0,397	0,024	0,384	0,390	0,001
Fe ³⁺	0,735	0,000	0,000	0,389	0,993	1,851	0,485	0,440	1,044
Fe ²⁺	1,474	0,651	0,623	1,185	0,827	0,705	1,036	1,080	1,399
V	0,000	0,000	0,000	0,000	0,000	0,000	0,000	0,000	0,000
Mn ²⁺	0,000	0,000	0,000	0,000	0,000	0,019	0,010	0,011	0,017
Mg	0,118	0,430	0,501	0,285	0,319	0,289	0,319	0,276	0,052
Zn	0,003	0,001	0,001	0,002	0,000	0,004	0,001	0,001	0,005
Ni	0,000	0,002	0,002	0,003	0,007	0,003	0,004	0,003	0,001
Σ Cat#	3,000	2,968	2,972	3,000	3,000	3,000	3,000	3,000	3,000
XCr	9,7	55,2	53,3	32,4	56,7	22,0	49,5	47,8	11,4
XFe ²⁺	92,6	60,3	55,5	80,6	72,1	70,9	76,5	79,6	96,4
YFe ³⁺	90,8	0,0	0,0	37,1	58,7	94,5	38,4	35,0	99,4

- F Fenocristal
- MF Microfenocristal
- IFOL Inclusão em Fenocristal de Olivina
- IMFOL Inclusão em Microfenocristal de Olivina
- IFPX Inclusão em Fenocristal de Piroxena
- CM Cristal da Matriz

Sistema Vulcânico Fissural - Espinela

...continuação

	PMT-61			PMT-88					
	OXID-2-n1	OXID-2-n2	OXID-4-n1	OXID-1-n1	OXID-2-n1	OXID-2-n2	OXID-olv1-n1	OXID-olv1-n2	OXID-olv3-n1
	MF	MF	IFOL	IFPX	F	F			MF
SiO ₂	0,98	4,37	5,90	0,96	5,62	6,31	5,15	5,44	6,57
TiO ₂	21,08	1,90	2,16	19,96	2,01	1,96	1,16	1,17	1,73
Al ₂ O ₃	2,41	19,82	21,69	1,53	22,01	21,79	18,09	17,97	19,17
Cr ₂ O ₃	2,18	35,54	30,89	0,24	32,19	32,80	40,08	39,77	37,95
Fe ₂ O ₃ (c)	21,25	0,90	0,99	26,21	0,00	0,00	0,00	0,00	0,00
FeO	48,18	29,25	28,22	47,27	27,61	25,83	24,32	24,59	23,45
V ₂ O ₃	0,00	0,00	0,00	0,00	0,00	0,00	0,00	0,00	0,00
MnO	0,52	0,65	0,53	0,00	0,00	0,01	0,00	0,00	0,00
MgO	2,09	8,38	10,89	2,12	10,20	11,32	9,47	10,24	11,95
ZnO	0,09	0,11	0,07	0,11	0,10	0,08	0,06	0,13	0,04
NiO	0,03	0,10	0,11	0,02	0,02	0,17	0,11	0,09	0,11
Σ Ox%	98,79	101,03	101,45	98,43	99,75	100,27	98,46	99,40	100,96
<i>Fórmula estrutural calculada com base em 32 oxigénios</i>									
Si	0,036	0,137	0,179	0,036	0,173	0,192	0,163	0,171	0,199
Ti	0,585	0,045	0,049	0,559	0,047	0,045	0,028	0,028	0,039
Al/Al IV	0,000	0,000	0,000	0,000	0,000	0,000	0,000	0,000	0,000
Al VI	0,105	0,733	0,777	0,067	0,800	0,780	0,676	0,664	0,684
Cr	0,063	0,882	0,743	0,007	0,785	0,788	1,005	0,986	0,908
Fe ³⁺	0,590	0,021	0,023	0,735	0,000	0,000	0,000	0,000	0,000
Fe ²⁺	1,487	0,768	0,718	1,474	0,712	0,656	0,645	0,645	0,593
V	0,000	0,000	0,000	0,000	0,000	0,000	0,000	0,000	0,000
Mn ²⁺	0,016	0,017	0,014	0,000	0,000	0,000	0,000	0,000	0,000
Mg	0,115	0,392	0,493	0,118	0,469	0,513	0,448	0,479	0,539
Zn	0,003	0,003	0,001	0,003	0,002	0,002	0,001	0,003	0,001
Ni	0,001	0,003	0,003	0,000	0,000	0,004	0,003	0,002	0,003
Σ Cat#	3,000	3,000	3,000	3,000	2,988	2,979	2,969	2,977	2,966
XCr	37,7	54,6	48,9	9,7	49,5	50,2	59,8	59,8	57,1
XFe ²⁺	92,8	66,2	59,3	92,6	60,3	56,1	59,0	57,4	52,4
YFe ³⁺	77,8	1,3	1,5	90,8	0,0	0,0	0,0	0,0	0,0

F Fenocristal

MF Microfenocristal

IFOL Inclusão em Fenocristal de Olivina

IMFOL Inclusão em Microfenocristal de Olivina

IFPX Inclusão em Fenocristal de Piroxena

CM Cristal da Matriz

Sistema Vulcânico Fissural - Espinela

...continuação

	PMT-88	PMT-101						
	OXID-olv4-n1	OXID-1-n2	Oliv-cum-inc4	Oliv-cum-inc5	Oliv-cum-inc6	Oliv-cum-inc7	Oliv-cum-inc8	Oliv-B-inc2
	IFOL	IFOL	IFOL	IFOL	IFOL	IFOL	IFOL	IFOL
SiO ₂	5,03	6,66	0,28	0,22	0,26	0,37	0,35	0,32
TiO ₂	1,24	2,13	1,47	1,43	1,70	2,05	1,56	2,99
Al ₂ O ₃	18,39	25,37	20,65	20,12	20,63	20,43	20,37	28,97
Cr ₂ O ₃	39,12	28,21	37,60	37,89	36,44	34,28	33,46	21,79
Fe ₂ O ₃ (c)	0,00	0,00	9,68	9,93	11,26	12,20	12,22	13,06
FeO	24,87	26,33	14,08	14,12	14,31	16,27	18,71	16,91
V ₂ O ₃	0,00	0,00	0,00	0,00	0,00	0,00	0,00	0,00
MnO	0,00	0,00	5,22	5,30	5,02	4,79	4,72	3,00
MgO	9,43	11,61	11,57	11,32	11,85	10,96	8,88	12,79
ZnO	0,10	0,06	-	-	-	-	-	-
NiO	0,11	0,14	-	-	-	-	-	-
Σ Ox%	98,28	100,50	100,56	100,34	101,49	101,33	100,26	99,82
Fórmula estrutural calculada com base em 32 oxigénios								
Si	0,160	0,198	0,009	0,007	0,008	0,011	0,011	0,010
Ti	0,030	0,048	0,035	0,034	0,040	0,048	0,037	0,068
Al/Al IV	0,000	0,000	0,000	0,000	0,000	0,000	0,000	0,000
Al VI	0,689	0,891	0,759	0,744	0,752	0,750	0,766	1,029
Cr	0,983	0,664	0,927	0,940	0,891	0,845	0,844	0,519
Fe ³⁺	0,000	0,000	0,227	0,234	0,262	0,286	0,293	0,296
Fe ²⁺	0,661	0,656	0,367	0,370	0,370	0,424	0,499	0,426
V	0,000	0,000	0,000	0,000	0,000	0,000	0,000	0,000
Mn ²⁺	0,000	0,000	0,138	0,141	0,131	0,126	0,127	0,077
Mg	0,447	0,515	0,538	0,530	0,546	0,509	0,422	0,575
Zn	0,002	0,001	-	-	-	-	-	-
Ni	0,003	0,003	-	-	-	-	-	-
Σ Cat#	2,975	2,977	3,000	3,000	3,000	3,000	3,000	3,000
XCr	58,8	42,7	55,0	55,8	54,2	53,0	52,4	33,5
XFe ²⁺	59,7	56,0	40,6	41,2	40,4	45,5	54,2	42,6
YFe ³⁺	0,0	0,0	11,9	12,2	13,8	15,2	15,4	16,1

- F Fenocristal
- MF Microfenocristal
- IFOL Inclusão em Fenocristal de Olivina
- IMFOL Inclusão em Microfenocristal de Olivina
- IPFX Inclusão em Fenocristal de Piroxena
- CM Cristal da Matriz

Sistema Vulcânico de Santa Barbara - Espinela

	PMT-71		PMT-73		PMT-74				PMT-83	
	OXID-1-n	OXID-1-n1	OXID-1-n3	OXID-px2-n1	OXID-px2-n2	OXID-px1-n3	OXID-px3-n	OXID-2-n1	OXID-3-n1	
	MF	F	F	IFPX	F	F	MF	IFOL	F	
SiO ₂	0,35	1,45	1,54	0,34	0,37	0,39	0,40	1,05	1,07	
TiO ₂	18,89	18,16	18,10	18,11	20,15	4,10	19,41	21,06	20,39	
Al ₂ O ₃	2,33	4,03	4,14	3,60	3,48	5,88	1,12	2,14	2,42	
Cr ₂ O ₃	4,07	0,08	0,06	0,06	0,12	0,10	0,20	0,02	0,00	
Fe ₂ O ₃ (c)	25,16	24,64	27,03	29,06	25,07	53,89	29,16	22,77	23,98	
FeO	44,57	44,35	44,99	43,16	45,83	32,97	47,31	47,62	47,28	
V ₂ O ₃	0,00	0,00	0,00	0,00	0,00	0,00	0,00	0,00	0,00	
MnO	0,61	0,00	0,01	0,47	0,52	0,16	0,57	0,00	0,00	
MgO	2,47	3,17	3,51	2,97	2,51	1,98	1,05	2,50	2,43	
ZnO	0,10	0,07	0,07	0,08	0,06	0,06	0,15	0,07	0,13	
NiO	0,00	0,01	0,02	0,01	0,03	0,04	0,00	0,03	0,00	
Fórmula estrutural calculada com base em 32 oxigénios										
Σ Ox%	98,55	95,95	99,46	97,87	98,15	99,58	99,37	97,25	97,71	
Si	0,013	0,054	0,055	0,013	0,014	0,014	0,015	0,039	0,040	
Ti	0,526	0,510	0,490	0,504	0,560	0,113	0,547	0,593	0,571	
Al/Al IV	0,000	0,000	0,000	0,000	0,000	0,000	0,000	0,000	0,000	
Al VI	0,102	0,178	0,176	0,157	0,152	0,254	0,049	0,094	0,106	
Cr	0,119	0,002	0,002	0,002	0,004	0,003	0,006	0,001	0,000	
Fe ³⁺	0,701	0,692	0,732	0,809	0,697	1,488	0,821	0,641	0,672	
Fe ²⁺	1,380	1,385	1,354	1,335	1,416	1,011	1,481	1,490	1,472	
V	0,000	0,000	0,000	0,000	0,000	0,000	0,000	0,000	0,000	
Mn ²⁺	0,019	0,000	0,000	0,015	0,016	0,005	0,018	0,000	0,000	
Mg	0,136	0,177	0,189	0,164	0,138	0,108	0,058	0,139	0,135	
Zn	0,003	0,002	0,002	0,002	0,002	0,002	0,004	0,002	0,003	
Ni	0,000	0,000	0,001	0,000	0,001	0,001	0,000	0,001	0,000	
Σ Cat#	3,000	3,000	3,000	3,000	3,000	3,000	3,000	3,000	3,000	
XCr	54,0	1,2	1,0	1,1	2,3	1,1	10,5	0,7	0,1	
XFe ²⁺	91,0	88,7	87,8	89,1	91,1	90,3	96,2	91,4	91,6	
YFe ³⁺	76,1	79,4	80,5	83,6	81,8	85,3	93,7	87,1	86,3	

- F Fenocristal
 MF Microfenocristal
 IFOL Inclusão em Fenocristal de Olivina
 IMFOL Inclusão em Microfenocristal de Olivina
 IFPX Inclusão em Fenocristal de Piroxena
 CM Cristal da Matriz

Ilmenite

	Fissural						Santa Bárbara					
	PMT-8			PMT-17			PMT-27			PMT-54		
	CM	F	OxID-x-m	CM	CM	OxID-x-m1-m	CM	CM	OxID-x-m1-m	OxID-4-n	OxID-1-n1	OxID-1-n2
SiO ₂	1,74	0,21	0,91	0,81	0,69	1,74	0,24	0,30	1,70	1,51	1,51	1,57
TiO ₂	48,56	48,90	48,03	47,44	46,89	48,56	46,96	47,83	47,52	47,31	47,31	48,13
Al ₂ O ₃	0,13	0,25	0,00	0,00	0,15	0,13	0,33	0,16	0,36	0,34	0,34	0,27
Cr ₂ O ₃	0,03	0,07	0,00	0,03	0,00	0,03	0,01	0,01	0,00	0,01	0,01	0,02
Fe ₂ O ₃ (c)	4,80	5,65	6,86	9,25	9,00	4,80	8,95	7,11	6,38	6,77	6,77	4,69
FeO(c)	38,86	35,54	39,75	39,65	39,64	38,86	36,20	35,18	38,16	38,55	38,55	39,17
V ₂ O ₃	0,00	3,72	0,00	0,00	0,00	0,00	3,44	3,55	0,00	0,00	0,00	0,00
MnO	0,00	0,43	0,78	0,77	0,60	0,00	0,47	0,61	0,00	0,00	0,00	0,00
MgO	3,86	4,63	2,05	1,79	1,52	3,86	3,28	4,07	3,70	3,20	3,20	3,35
CaO	-	0,00	-	-	-	-	0,00	0,25	-	-	-	-
ZnO	0,01	-	0,04	0,02	0,02	0,01	-	-	0,01	0,11	0,00	0,00
NiO	0,01	-	0,06	0,00	0,02	0,01	-	-	0,00	0,00	0,00	0,01
Σ Ox%	97,980	99,400	98,480	99,760	98,540	97,980	99,860	99,080	97,830	97,790	97,790	97,220
Fórmula estrutural calculada com base em 6 oxigénios												
Si	0,043	0,005	0,023	0,020	0,018	0,043	0,006	0,007	0,042	0,038	0,038	0,040
Ti	0,909	0,902	0,912	0,892	0,894	0,909	0,872	0,889	0,892	0,893	0,893	0,912
Al/Al IV	0,000	0,000	0,000	0,000	0,000	0,000	0,000	0,000	0,000	0,000	0,000	0,000
Al VI	0,004	0,007	0,000	0,000	0,004	0,004	0,010	0,005	0,011	0,010	0,010	0,008
Cr	0,001	0,001	0,000	0,001	0,000	0,000	0,000	0,000	0,000	0,000	0,000	0,000
Fe ³⁺	0,090	0,104	0,130	0,174	0,172	0,090	0,166	0,132	0,120	0,128	0,128	0,089
Fe ²⁺	0,809	0,729	0,839	0,829	0,841	0,809	0,748	0,727	0,727	0,797	0,797	0,825
V	0,000	0,073	0,000	0,000	0,000	0,000	0,068	0,070	0,000	0,000	0,000	0,000
Mn ²⁺	0,000	0,009	0,017	0,016	0,013	0,000	0,010	0,013	0,000	0,000	0,000	0,000
Mg	0,143	0,169	0,077	0,067	0,057	0,143	0,121	0,150	0,138	0,120	0,120	0,126
Ca	-	0,000	-	-	-	-	0,000	0,007	-	-	-	-
Zn	0,000	-	0,001	0,000	0,000	0,000	-	-	0,000	0,002	0,000	0,000
Ni	0,000	-	0,001	0,000	0,000	0,000	-	-	0,000	0,000	0,000	0,000
Σ Cat#	2,000	2,000	2,000	2,000	2,000	2,000	2,000	2,000	2,000	2,000	2,000	2,000
Ilmenite	81,1	76,0	84,1	83,0	84,3	81,1	77,8	76,1	80,1	81,5	81,5	82,9
Geiqueilite	14,4	17,6	7,7	6,7	5,8	14,4	12,5	15,7	13,8	12,1	12,1	12,6
Pirofanite	0,0	0,9	1,7	1,6	1,3	0,0	1,0	1,3	0,0	0,0	0,0	0,0
Hematite	4,5	5,4	6,5	8,7	8,6	4,5	8,7	6,9	6,0	6,4	6,4	4,5

F Fenocristal
MF Microfenocristal

IFPX Cristal da Matriz
CM Inclusão em Fenocristal de Piroxena

Anexo II – Análise de rocha total

Para análise de rocha total (elementos maiores e traço) as amostras foram enviadas para o *Activation Laboratories Ltd.* (Ancaster, Canadá) e a referência seleccionada foi a *4Lithoresearch* que consiste no conjunto da referência *4B* (fusão de rocha total com metaborato de lítio/tetraborato de lítio e análise por ICP) e referência *4B2* (elementos traço por ICP/MS). Para uma maior exactidão relativamente aos elementos Ag, Cd, Cu, Ni, Pb, Zn, Bi e S optou-se, como recomendado pelo laboratório, pela referência *4B1*. Os limites de detecção (I.d.) são os seguintes:

Óxido	I.d. (%)	Óxido	I.d. (%)	Óxido	I.d. (%)	Óxido	I.d. (%)
SiO ₂	0.01	TiO ₂	0.001	MgO	0.01	P ₂ O ₅	0.01
Al ₂ O ₃	0.01	Na ₂ O	0.01	MnO	0.001	LOI	0.01
Fe ₂ O ₃	0.01	K ₂ O	0.01	CaO	0.01		
Elemento	I.d. (ppm)	Elemento	I.d. (ppm)	Elemento	I.d. (ppm)	Elemento	I.d. (ppm)
Ag	0.5	In	0.1	Tl	0.05	Eu	0.005
As	0.5	Mo	2	V	5	Gd	0.01
Ba	3	Nb	0.2	W	0.5	Tb	0.01
Be	1	Ni	1	Y	0.5	Dy	0.01
Bi	0.1	Pb	5	Zn	1	Ho	0.01
Co	1	Rb	1	Zr	1	Er	0.01
Cr	5	Sb	0.2	La	0.05	Tm	0.005
Cs	0.1	Sc	0.1	Ce	0.05	Yb	0.01
Cu	1	Sn	1	Pr	0.01	Lu	0.002
Ga	1	Sr	2	Nd	0.05	U	0.01
Ge	0.5	Ta	0.01	Sm	0.01	Th	0.05
Hf	0.1						

*LOI – *Loss on ignition*

Análise de Rocha Total - Sistema Vulcânico Fissural

continua...

Amostra	PMT-3	PMT-4	PMT-5	PMT-8	PMT-9	PMT-13	PMT-14	PMT-15	PMT-17	PMT-18	PMT-19	PMT-21	PMT-24	PMT-27
Class.	Basalto	Havaíto												
%														
SiO ₂	48,15	47,38	47,77	47,15	47,13	48,18	46,76	47,03	46,65	47,91	47,52	48,14	47,65	50,00
Al ₂ O ₃	14,26	14,19	14,15	13,17	13,12	14,76	13,55	13,79	14,58	14,38	14,27	14,33	13,54	15,26
Fe ₂ O ₃	13,06	13,07	12,77	10,54	11,66	11,34	10,19	10,29	12,76	12,89	12,65	12,04	12,69	12,19
MnO	0,20	0,198	0,20	0,16	0,17	0,18	0,15	0,16	0,19	0,20	0,20	0,18	0,19	0,21
MgO	6,11	6,49	6,24	11,74	10,18	7,74	11,65	11,20	5,67	6,14	6,29	6,93	7,23	4,67
CaO	9,60	10,07	9,69	11,40	10,55	9,97	10,85	10,85	9,67	9,70	9,68	9,96	9,68	8,31
Na ₂ O	3,57	3,26	3,55	2,47	2,88	3,34	2,77	2,68	3,70	3,46	3,46	3,28	3,31	4,23
K ₂ O	1,25	1,09	1,17	0,87	0,88	1,17	0,84	0,90	1,13	1,23	1,14	1,17	1,10	1,39
TiO ₂	3,71	3,673	3,60	2,45	2,91	2,79	2,25	2,35	3,58	3,60	3,50	3,31	3,47	3,18
P ₂ O ₅	1,06	0,89	1,00	0,38	0,75	0,66	0,35	0,40	1,49	1,03	0,96	0,73	0,84	1,30
LOI	-0,72	-0,78	-0,76	-0,35	-0,62	-0,32	-0,18	-0,11	-0,31	-0,65	-0,71	-0,61	-0,07	-0,77
TOTAL	100,25	99,53	99,37	99,98	99,59	99,80	99,19	99,54	99,11	99,88	98,94	99,44	99,62	99,96
ppm														
Sc	24	25	24	31	29	26	32	30	24	24	24	26	24	18
Ag	-0,3	-0,3	-0,3	-0,3	-0,3	-0,3	-0,3	-0,3	-0,3	-0,3	-0,3	-0,3	-0,3	-0,3
Cd	0,3	-0,3	-0,3	0,5	0,5	0,4	0,4	-0,3	0,5	0,5	-0,3	-0,3	0,5	0,6
Cu	45	43	39	79	57	42	83	75	36	41	44	44	53	22
Ni	59	60	56	283	196	124	269	267	36	56	63	96	117	16
Pb	-3	-3	-3	-3	-3	-3	-3	-3	-3	-3	-3	-3	-3	5
Zn	128	110	105	78	85	88	71	78	103	111	112	102	109	119
Bi	6	7	5	4	5	3	4	4	7	7	8	8	8	7
V	280	300	280	249	273	278	253	264	303	281	290	277	268	210
Cr	126	159	156	706	486	311	668	617	79	140	152	230	277	23
Co	32	35	32	48	46	39	49	48	32	33	34	36	36	23
Ga	21	21	20	15	17	19	16	16	21	20	21	19	19	22
Ge	1,4	1,5	1,4	1,3	0,9	1,3	1,3	1,4	1,2	1,1	1,2	1,4	1,3	1,5
Rb	24	23	25	18	20	23	20	20	25	24	26	22	20	28
Sr	530	542	525	445	477	486	420	430	666	520	532	523	497	678
Y	39,9	37,7	38,1	21,1	28,9	29,6	21,3	22,2	42	37,9	38,4	31,2	33,4	46,3
Zr	195	188	194	125	147	154	123	130	182	187	194	175	170	253
Nb	44,4	40,7	44,7	30,1	35,5	37,7	29	29,4	43	44,2	45,6	38,4	38,4	56,5
Mo	-2	-2	-2	-2	-2	-2	-2	-2	-2	-2	-2	-2	-2	2
Sn	2	2	2	1	1	2	1	1	2	2	2	2	2	2
Cs	0,2	0,2	0,2	0,1	0,2	0,2	0,1	0,2	0,2	0,2	0,2	-0,1	-0,1	0,2
Ba	597	527	575	289	489	393	286	309	536	615	607	458	518	883
La	54,9	49,2	54,2	30	43,5	43,9	27,8	29,4	66,2	58,9	57,7	44,1	48	71,7
Ce	113	101	111	59,7	88,4	86,5	54,9	57,7	138	119	118	89,3	97,5	145
Pr	14	12,6	13,8	7,36	11	10,6	6,72	7,08	17,6	14,8	14,7	11,3	12,4	18,1
Nd	60,6	54,5	59,4	30,9	47,3	45,2	28,1	29,7	78,2	64,2	63,4	48,1	53,2	76,7
Sm	13,3	12	13,1	7,01	10,5	9,83	6,42	6,76	16,7	14	13,8	10,9	11,9	16,6
Eu	4,78	4,34	4,7	2,5	4,05	3,45	2,21	2,27	6,07	5,01	4,91	3,9	4,3	6,04
Gd	12,3	11,1	11,8	6,23	9,49	9	5,9	6,26	15	12,7	12,4	9,79	10,8	14,8
Tb	1,87	1,75	1,84	1,01	1,46	1,43	0,98	1,02	2,21	1,91	1,91	1,54	1,67	2,23
Dy	9,58	8,88	9,3	5,24	7,43	7,45	5,19	5,31	10,7	9,66	9,65	7,84	8,43	11,3
Ho	1,75	1,63	1,69	0,98	1,33	1,38	0,98	1,02	1,93	1,78	1,76	1,44	1,54	2,05
Er	4,33	4,04	4,2	2,4	3,28	3,47	2,48	2,58	4,58	4,36	4,3	3,55	3,81	5,01
Tm	0,559	0,52	0,536	0,329	0,416	0,459	0,342	0,357	0,558	0,554	0,551	0,45	0,48	0,627
Yb	3,28	3,06	3,11	1,87	2,45	2,67	1,98	2,06	3,28	3,21	3,23	2,71	2,84	3,68
Lu	0,433	0,407	0,416	0,251	0,316	0,365	0,266	0,284	0,43	0,438	0,436	0,36	0,377	0,497
Hf	5,5	5,2	5,5	3,6	4,3	4,5	3,7	3,8	5,2	5,5	5,6	5,1	4,9	6,9
Ta	3,33	3,18	3,27	2,03	2,52	2,72	1,92	2,12	3,22	3,28	3,43	2,74	2,79	4,17
W	-0,5	-0,5	-0,5	-0,5	-0,5	-0,5	-0,5	-0,5	-0,5	-0,5	-0,5	-0,5	-0,5	0,6
Tl	0,06	0,06	0,05	-0,05	-0,05	0,15	-0,05	-0,05	0,05	0,05	0,08	-0,05	-0,05	-0,05
La	54,9	49,2	54,2	30	43,5	43,9	27,8	29,4	66,2	58,9	57,7	44,1	48	71,7
Th	2,95	2,67	2,81	1,79	1,91	2,2	1,62	1,68	2,44	2,65	2,69	2,29	2,36	3,76
U	0,96	0,86	0,9	0,52	0,6	0,69	0,49	0,49	0,79	0,79	0,87	0,67	0,78	1,27

Análise de Rocha Total - Sistema Vulcânico Fissural

...continuação

Amostra	PMT-28	PMT-30	PMT-31	PMT-51	PMT-56	PMT-57	PMT-59	PMT-61	PMT-79	PMT-84	PMT-85	PMT-86	PMT-87	PMT-88
Class.	Havaíto	Havaíto	Basalto	Havaíto	Havaíto	Basalto	Havaíto	Basalto						
%														
SiO ₂	49,15	49,30	46,81	47,18	47,12	47,24	46,85	47,35	48,09	48,87	50,08	48,13	48,67	47,49
Al ₂ O ₃	15,13	14,53	13,73	13,99	14,44	14,31	13,95	14,46	14,46	14,09	14,37	14,78	14,36	13,89
Fe ₂ O ₃	12,01	12,71	12,55	12,05	11,64	12,10	13,15	12,10	12,27	13,36	13,18	13,08	13,85	13,48
MnO	0,21	0,24	0,18	0,18	0,17	0,18	0,19	0,18	0,19	0,23	0,24	0,200	0,23	0,21
MgO	4,62	4,13	8,14	8,55	8,12	7,77	7,34	6,63	6,52	4,24	4,15	5,06	4,41	6,21
CaO	8,34	7,96	10,24	10,51	11,09	10,60	10,57	10,36	9,91	8,34	8,10	9,13	8,91	9,72
Na ₂ O	4,15	4,30	3,19	3,08	2,95	3,09	3,07	3,20	3,72	3,98	4,16	3,76	3,77	3,35
K ₂ O	1,41	1,49	0,89	0,99	0,92	0,94	0,97	1,21	1,06	1,56	1,45	1,13	1,38	1,25
TiO ₂	3,14	3,25	3,33	3,06	2,98	3,20	3,70	3,38	3,41	3,60	3,48	3,598	3,85	3,81
P ₂ O ₅	1,29	1,55	1,01	0,86	0,74	0,92	0,71	0,78	0,84	1,43	1,46	0,87	1,41	1,14
LOI	-0,68	-0,70	-0,61	-0,61	-0,37	-0,73	-0,83	-0,61	-0,58	-0,72	-0,83	-0,44	-0,92	-0,61
TOTAL	98,77	98,76	99,46	99,84	99,81	99,62	99,65	99,03	99,89	98,97	99,84	99,31	99,92	99,94
ppm														
Sc	18	17	28	28	28	29	28	26	24	18	17	20	18	24
Ag	-0,3	-0,3	-0,3	-0,3	-0,3	-0,3	-0,3	-0,3	-0,3	-0,3	-0,3	0,8	0,3	0,3
Cd	-0,3	0,6	-0,3	-0,3	0,3	0,3	-0,3	-0,3	-0,3	0,6	-0,3	-0,3	-0,3	-0,3
Cu	23	13	47	56	57	47	43	40	41	16	16	5	15	37
Ni	17	-1	120	131	116	89	75	63	62	-1	-1	27	-1	48
Pb	-3	4	-3	-3	-3	-3	-3	4	-3	-3	-3	-3	-3	-3
Zn	116	131	90	87	86	81	96	89	95	94	102	114	98	95
Bi	7	5	6	6	7	3	6	6	6	4	7	3	3	7
V	223	190	313	278	283	286	329	302	308	256	235	297	295	346
Cr	27	-20	316	290	282	232	236	189	194	-20	-20	51	-20	161
Co	23	19	41	41	40	38	40	36	37	25	23	32	29	37
Ga	23	24	19	20	19	20	21	21	20	24	25	24	24	21
Ge	1,3	1,5	1,3	1,4	1,4	1,4	1,2	1,3	1,2	1,7	1,5	1,6	1,4	1,5
Rb	28	29	21	18	18	18	20	23	24	28	28	22	26	25
Sr	692	740	536	561	552	573	533	560	531	682	684	697	697	538
Y	46,8	55,3	33,6	33,2	30,6	34	34,4	35,5	35,4	53,3	54,5	35,6	51,7	40,1
Zr	253	290	158	155	153	162	177	198	189	286	296	252	271	186
Nb	57,7	65,2	42,5	33,2	35,1	37,5	39,7	43,5	49	70,5	72,2	70,6	67,2	51,2
Mo	3	2	-2	-2	-2	-2	-2	-2	-2	3	3	-2	2	-2
Sn	2	2	1	1	1	1	2	2	1	3	2	7	2	5
Cs	0,2	0,2	-0,1	-0,1	-0,1	-0,1	0,1	0,2	-0,1	0,1	-0,1	0,2	0,2	-0,1
Ba	722	512	604	503	337	449	426	474	468	441	466	326	414	607
La	68,8	80,2	46,5	33,5	29,9	35	34	37,6	49,2	77	76,4	41,7	67,5	52,8
Ce	139	163	96,4	69,7	62,6	73,1	70,4	77,4	99,9	158	156	87,4	140	109
Pr	17,4	20,5	12,2	8,94	8,08	9,42	8,9	9,74	12,5	19,9	19,7	11	17,9	13,8
Nd	74,1	88,3	53,7	39,5	35,3	41,6	38,7	42	52,4	83,7	83,1	46,9	76	58,8
Sm	16,1	19,4	12	9,07	8,09	9,55	8,97	9,43	11,4	18,4	18,3	10,6	16,9	12,9
Eu	5,93	6,83	4,82	3,59	3,06	3,71	3,28	3,39	4,09	6,35	6,4	3,65	5,89	4,73
Gd	14,4	17,3	10,8	8,64	7,78	9,18	8,64	8,91	10,8	17	17,2	10,3	16,1	12,5
Tb	2,19	2,61	1,61	1,32	1,22	1,36	1,32	1,37	1,62	2,49	2,55	1,48	2,37	1,8
Dy	11	13	7,97	6,82	6,26	6,98	6,97	7,18	8	12,3	12,4	7,79	11,6	8,94
Ho	2,01	2,36	1,46	1,24	1,15	1,27	1,3	1,34	1,48	2,25	2,25	1,41	2,1	1,64
Er	4,89	5,77	3,55	3,06	2,84	3,15	3,26	3,35	3,69	5,44	5,45	3,71	5,09	4,01
Tm	0,616	0,729	0,439	0,394	0,373	0,397	0,426	0,439	0,473	0,684	0,687	0,473	0,637	0,497
Yb	3,68	4,25	2,67	2,35	2,22	2,39	2,52	2,62	2,77	4,01	4,03	2,85	3,77	2,99
Lu	0,478	0,567	0,343	0,314	0,301	0,325	0,356	0,367	0,366	0,517	0,534	0,388	0,481	0,395
Hf	6,8	7,8	4,5	4,1	4,1	4,3	4,7	5,1	5	7,4	7,6	6,6	6,9	5
Ta	4,01	4,62	2,76	2,46	2,33	2,54	2,66	2,91	2,95	4,38	4,51	3,62	4,15	3,11
W	0,7	0,7	-0,5	-0,5	-0,5	-0,5	-0,5	-0,5	-0,5	0,7	0,7	0,6	0,6	-0,5
Tl	-0,05	-0,05	-0,05	-0,05	-0,05	-0,05	-0,05	-0,05	-0,05	-0,05	-0,05	0,07	0,07	-0,05
La	68,8	80,2	46,5	33,5	29,9	35	34	37,6	49,2	77	76,4	41,7	67,5	52,8
Th	3,65	4,19	2,13	2,22	2,1	2,31	2,49	2,88	2,74	4,2	4,39	3,7	3,96	2,91
U	1,27	1,47	0,71	0,77	0,72	0,75	0,84	0,87	0,83	4,98	1,55	1,35	1,34	0,96

Análise de Rocha Total - Sistema Vulcânico Fissural

...continuação

Amostra	PMT-89	PMT-90	PMT-97	PMT-98	PMT-101	PMT-Serr-2
Class.	Basalto	Havaíto	Basalto	Havaíto	Basalto	Basalto
%						
SiO ₂	47,62	49,38	47,56	47,51	47,44	47,68
Al ₂ O ₃	13,92	14,32	15,87	14,26	14,12	14,77
Fe ₂ O ₃	13,36	13,61	12,12	13,82	11,83	10,89
MnO	0,21	0,23	0,18	0,22	0,18	0,148
MgO	6,48	4,33	6,00	5,18	8,51	8,64
CaO	9,93	8,55	10,52	9,33	10,52	10,31
Na ₂ O	3,21	3,84	3,11	3,84	3,07	3,06
K ₂ O	1,14	1,51	1,03	1,42	0,86	0,71
TiO ₂	3,77	3,72	3,06	3,95	3,06	2,665
P ₂ O ₅	1,05	1,43	0,43	1,46	0,83	0,34
LOI	-0,89	-1,02	-0,49	-1,04	-0,79	-0,44
TOTAL	99,78	99,91	99,39	99,94	99,62	98,80
ppm						
Sc	25	20	23	23	28	25
Ag	-0,3	-0,3	0,5	-0,3	-0,3	-0,3
Cd	-0,3	-0,3	-0,3	0,4	-0,3	-0,3
Cu	32	17	38	24	47	33
Ni	50	-1	32	13	121	152
Pb	-3	-3	-3	-3	-3	17
Zn	66	102	93	80	81	81
Bi	3	5	5	4	6	4
V	329	267	342	321	290	225
Cr	191	-20	46	46	310	314
Co	36	27	42	31	43	47
Ga	21	24	20	22	19	20
Ge	1,2	1,5	1,4	1,6	1,2	1,6
Rb	26	26	22	28	17	15
Sr	570	686	601	565	542	464
Y	40,1	52,8	28,5	46,2	31,3	27,1
Zr	194	275	163	205	147	168
Nb	47,1	65,9	41,7	53,6	39,4	35,1
Mo	-2	-2	-2	-2	-2	-2
Sn	2	2	1	2	1	2
Cs	0,2	0,1	0,1	0,2	-0,1	0,2
Ba	646	438	287	746	441	188
La	41,7	68,8	31,8	60,4	37,3	22,6
Ce	88,9	140	64,2	125	77,4	48,1
Pr	11	17,8	7,92	15,9	9,91	5,99
Nd	51,4	75,5	32,4	67,9	43	26,4
Sm	10,8	16,9	7,42	14,8	9,58	5,96
Eu	4,23	5,82	2,57	5,53	3,82	2,22
Gd	11,2	16	7,18	14,4	9,4	6,4
Tb	1,69	2,36	1,15	2,04	1,37	1,02
Dy	8,15	11,5	5,93	10,1	6,7	5,42
Ho	1,58	2,11	1,12	1,85	1,24	0,92
Er	3,85	5,11	2,9	4,47	3,06	2,46
Tm	0,474	0,641	0,391	0,552	0,379	0,343
Yb	2,82	3,81	2,32	3,31	2,24	2,07
Lu	0,393	0,496	0,31	0,425	0,293	0,273
Hf	4,9	7	4,3	5,3	3,9	4,5
Ta	3,02	4,25	2,38	3,4	2,34	2,03
W	-0,5	0,5	-0,5	-0,5	-0,5	0,5
Tl	-0,05	-0,05	-0,05	-0,05	-0,05	-0,05
La	41,7	68,8	31,8	60,4	37,3	22,6
Th	2,88	4,2	2,28	3,28	2,09	2,3
U	0,89	1,45	0,74	1,04	0,68	0,82

Análise de Rocha Total - Sistema Vulcânico de Santa Bárbara

continua...

Amostra	PMT-43	PMT-45	PMT-46	PMT-53	PMT-54	PMT-58	PMT-63	PMT-65	PMT-66	PMT-68	PMT-70	PMT-71	PMT-72
Class.	Riólito	Mugearito	Havaíto	Havaíto	Havaíto	Riólito	Havaíto	Traquibasalto K	Havaíto	Havaíto	Basalto	Basalto	Basalto
%													
SiO ₂	68,10	53,75	51,17	49,91	50,04	68,67	49,30	50,35	50,13	49,79	48,06	48,45	49,01
Al ₂ O ₃	12,73	15,25	15,40	18,30	18,43	12,73	14,87	15,41	15,27	14,69	16,17	16,35	16,42
Fe ₂ O ₃	5,51	10,79	12,47	10,32	10,34	5,49	12,90	12,31	12,08	12,90	12,02	11,80	11,78
MnO	0,205	0,21	0,20	0,16	0,16	0,206	0,21	0,20	0,20	0,21	0,17	0,17	0,17
MgO	0,10	3,20	3,78	3,31	3,33	0,26	3,93	3,71	3,65	3,92	4,65	4,64	4,54
CaO	0,50	6,59	8,15	9,56	9,64	0,51	8,06	7,92	7,98	7,96	9,77	9,84	9,63
Na ₂ O	6,53	4,43	3,91	3,85	3,88	5,98	4,09	3,93	4,14	3,97	3,50	3,72	3,69
K ₂ O	4,32	2,14	1,68	1,32	1,25	4,32	1,48	1,98	1,72	1,49	1,31	1,22	1,18
TiO ₂	0,331	2,59	3,38	2,92	2,93	0,335	3,40	3,34	3,26	3,38	3,62	3,70	3,62
P ₂ O ₅	0,03	0,99	0,79	0,57	0,56	0,02	0,89	0,87	0,85	0,86	0,59	0,58	0,58
LOI	0,51	-0,36	-0,63	-0,20	-0,21	0,44	-0,12	0,12	-0,31	-0,20	-0,03	-0,30	-0,31
TOTAL	98,86	99,56	100,30	100,01	100,34	98,96	99,01	100,13	98,96	98,97	99,84	100,17	100,29
ppm													
Sc	3	14	17	15	16	3	17	17	17	18	18	19	19
Ag	3,7	0,5	0,4	0,4	0,3	3,3	0,4	0,4	0,4	0,3	0,4	-0,3	0,3
Cd	0,8	-0,3	-0,3	0,3	-0,3	0,6	0,3	0,4	0,4	-0,3	0,4	-0,3	-0,3
Cu	4	16	22	29	29	4	19	56	28	18	40	26	30
Ni	-1	-1	3	17	16	-1	-1	5	6	-1	34	33	30
Pb	18	4	-3	-3	-3	23	-3	4	-3	-3	59	-3	-3
Zn	262	130	122	93	96	243	124	116	113	116	97	92	93
Bi	6	4	3	2	2	8	4	6	4	4	-2	4	
V	-5	169	270	238	241	-5	254	270	264	273	304	325	323
Cr	-20	-20	-20	-20	-20	-20	-20	-20	-20	-20	48	62	61
Co	-1	16	27	24	24	-1	24	24	24	26	34	35	35
Ga	35	26	25	24	24	35	24	26	25	26	24	23	23
Ge	2,3	1,3	1,4	1,1	1,2	2,7	1,4	1,6	1,4	1,4	1,4	1,3	1,4
Rb	130	46	35	25	25	117	23	36	35	30	25	24	25
Sr	-2	579	607	779	767	6	634	654	647	677	717	695	685
Y	101	54,9	44,3	33,5	33,4	100	43,7	49,6	47,6	47,9	34	32,7	32,7
Zr	1225	416	331	241	241	1217	313	371	357	334	262	255	254
Nb	211	80,1	69,6	48,2	49,4	227	63,2	75,3	73	69,8	57	57,6	57,1
Mo	4	3	2	2	2	3	3	3	3	2	3	2	2
Sn	18	3	3	2	2	18	2	2	2	2	2	2	2
Cs	1,3	0,4	0,2	-0,1	-0,1	0,6	0,1	0,1	0,2	0,2	0,1	-0,1	-0,1
Ba	164	531	457	347	343	162	395	466	445	410	331	306	301
La	137	88,4	73,4	40,3	40,1	140	52,5	61,9	61,1	56,9	42,6	47,1	48,1
Ce	266	172	144	79,4	78,9	267	107	122	120	114	84,2	92,9	95,5
Pr	29,5	20,7	17,2	9,6	9,65	29,9	13,1	14,5	14,5	13,9	10,3	11,3	11,6
Nd	108	83,1	69,6	39,6	39,8	109	54,7	60,2	60	58,4	42,5	45,6	47,2
Sm	22,4	17,9	15,2	8,92	8,79	22,5	12,4	13,3	13,1	13	9,48	9,99	10,2
Eu	3,33	5,53	4,76	3,02	3	3,38	4,04	4,28	4,15	4,25	3,09	3,33	3,35
Gd	20,1	15,6	13,1	8,13	8,15	20,2	11,4	12,2	12	11,9	8,54	9,29	9,39
Tb	3,39	2,46	2,11	1,3	1,28	3,42	1,76	1,91	1,89	1,88	1,35	1,4	1,41
Dy	19,5	12,7	10,7	6,79	6,65	19,4	9,21	9,92	9,8	9,81	7,01	7,01	7,09
Ho	3,76	2,34	1,95	1,27	1,24	3,8	1,72	1,83	1,81	1,84	1,29	1,31	1,3
Er	11,3	5,95	4,89	3,18	3,16	11,5	4,24	4,71	4,61	4,64	3,29	3,19	3,29
Tm	1,59	0,797	0,65	0,436	0,432	1,61	0,579	0,641	0,628	0,624	0,443	0,425	0,428
Yb	9,94	4,75	3,8	2,6	2,56	9,84	3,38	3,75	3,69	3,64	2,56	2,54	2,61
Lu	1,38	0,629	0,504	0,353	0,349	1,38	0,455	0,5	0,513	0,496	0,356	0,332	0,339
Hf	29,2	11	8,9	6,1	6	29,6	8,1	9,2	8,9	8,6	6,6	6,2	6,3
Ta	12,5	5,6	4,8	3,42	3,4	12,5	4,46	5	4,82	4,65	3,6	3,58	3,67
W	3,4	1,1	0,9	0,8	0,6	2,7	0,7	0,9	0,9	0,8	0,6	0,6	0,6
Tl	0,25	0,08	-0,05	-0,05	0,06	0,18	-0,05	-0,05	-0,05	-0,05	0,07	0,14	-0,05
La	137	88,4	73,4	40,3	40,1	140	52,5	61,9	61,1	56,9	42,6	47,1	48,1
Th	20,5	6,69	4,89	4,04	4,06	20,7	5,26	5,99	5,88	5,45	3,94	3,89	3,98
U	7,62	2,4	1,54	1,5	1,54	7,89	1,89	2,2	2,18	2,07	1,45	1,34	1,35

Análise de Rocha Total - Sistema Vulcânico de Santa Bárbara

...continuação

Amostra	PMT-73	PMT-74	PMT-75	PMT-76	PMT-77	PMT-78	PMT-81	PMT-83	PMT-120	PMT-121	PMT-204	PMT-SE2
Class.	Mugearito	Mugearito	Mugearito	Mugearito	Havaíto	Havaíto	Benmoreíto	Benmoreíto	Mugearito	Havaíto	Traquito	Riolito
%												
SiO ₂	51,12	50,94	51,87	53,37	50,13	50,31	57,59	59,56	52,12	47,66	67,04	67,77
Al ₂ O ₃	15,86	16,04	15,86	15,56	16,83	16,87	16,50	16,77	14,77	14,63	14,12	12,72
Fe ₂ O ₃	11,09	10,76	10,87	10,29	10,68	10,68	7,77	7,43	11,37	13,28	5,19	5,63
MnO	0,18	0,18	0,20	0,20	0,17	0,17	0,18	0,20	0,195	0,187	0,215	0,206
MgO	3,55	3,45	3,32	3,10	3,58	3,60	1,93	1,66	3,49	4,48	0,19	0,19
CaO	7,68	7,72	7,11	6,31	8,50	8,54	4,32	3,93	7,09	8,95	0,75	0,53
Na ₂ O	4,68	4,63	4,64	5,34	4,17	4,25	6,25	5,68	4,47	3,77	6,73	5,98
K ₂ O	1,76	1,72	1,80	2,07	1,33	1,38	2,57	2,97	1,89	1,30	4,14	4,28
TiO ₂	2,92	2,82	2,77	2,52	2,98	3,00	1,56	1,39	2,824	3,972	0,386	0,331
P ₂ O ₅	0,79	0,78	0,85	1,01	0,75	0,74	0,53	0,43	0,99	0,58	0,05	0,02
LOI	-0,51	-0,47	-0,09	-0,64	-0,08	-0,30	-0,33	-0,29	-0,26	-0,15	0,24	0,90
TOTAL	99,11	98,57	99,17	99,12	99,04	99,24	98,88	99,74	98,96	98,66	99,05	98,56
ppm												
Sc	16	14	14	13	16	15	8	8	17	21	4	3
Ag	0,5	0,3	0,6	0,6	0,6	0,4	0,7	0,7	1,6	1,1	2,8	3,9
Cd	-0,3	-0,3	-0,3	-0,3	-0,3	-0,3	0,3	0,5	-0,3	0,9	0,3	0,5
Cu	25	24	19	15	25	25	9	11	18	31	3	10
Ni	5	7	-1	-1	7	8	-1	-1	4	21	1	1
Pb	-3	4	7	-3	6	-3	6	-3	-3	-3	13	20
Zn	114	108	117	121	108	110	113	121	140	105	194	256
Bi	2	2	8	-2	7	5	2	4	-2	-2		
V	250	216	211	179	259	264	70	45	222	324	5	-5
Cr	-20	-20	-20	-20	-20	-20	-20	-20	-20	-20		
Co	24	22	20	17	24	25	6	5	22	37	-1	-1
Ga	25	22	25	26	24	24	27	27	26	22	32	36
Ge	1,4	1,4	1,5	1,5	1,4	1,5	1,4	1,6	1,8	1,6	2,2	2,6
Rb	38	35	37	41	24	25	54	56	42	26	96	122
Sr	648	599	625	608	686	694	544	498	532	543	12	5
Y	45	40,1	47,5	53,6	39,7	39,6	52,6	53,7	47,8	32,4	75	99
Zr	339	303	376	415	292	291	464	499	388	255	882	1224
Nb	73,1	67,1	79,2	90,8	65,4	64,4	95,5	100,5	89,4	63,1	181	220
Mo	4	3	3	3	2	2	3	2	-2	-2		
Sn	2	2	3	3	2	2	3	3	9	7	14	18
Cs	-0,1	-0,1	0,2	0,1	0,2	0,1	0,1	-0,1	0,4	0,1	0,9	1,1
Ba	424	379	455	495	353	359	592	627	495	353	696	168
La	68	62,5	75,2	88,1	63,1	62,7	92,8	103,8	62,2	38,3	106	138
Ce	134	122	150	171	123	123	174	187	128	79,1	207	269
Pr	16,1	14,6	18	20,6	14,9	14,7	20,4	22,2	15,6	9,8	23,3	29,7
Nd	63,7	58,1	72	81,8	59,3	59	76,7	82,5	64	40,6	86,4	109
Sm	13,7	12,4	15,4	17,3	12,7	12,6	15,7	16,6	14	9,18	17,5	22,5
Eu	4,46	3,97	4,84	5,34	4,09	4,08	4,93	5,13	4,37	3	3,46	3,37
Gd	12,8	11,4	13,9	15,8	11,6	11,6	13,9	14,7	13,2	8,72	16	20,3
Tb	1,94	1,72	2,15	2,39	1,78	1,76	2,2	2,31	1,96	1,32	2,65	3,43
Dy	9,88	8,83	10,8	11,9	8,95	8,83	11,4	11,9	10,3	6,97	14,9	19,6
Ho	1,81	1,64	1,98	2,22	1,67	1,63	2,17	2,28	1,87	1,28	2,91	3,8
Er	4,56	4,17	4,93	5,53	4,18	4,08	5,63	5,84	5,08	3,49	8,5	11
Tm	0,619	0,545	0,653	0,745	0,551	0,537	0,78	0,813	0,694	0,467	1,27	1,64
Yb	3,66	3,29	3,85	4,37	3,26	3,22	4,69	4,79	4,1	2,84	7,47	9,87
Lu	0,479	0,432	0,525	0,577	0,432	0,425	0,627	0,65	0,561	0,381	1,06	1,38
Hf	8,4	7,5	9,4	10,2	7,4	7,5	11,5	12,2	9,9	6,6	21,9	29,7
Ta	4,68	4,18	5,02	5,78	4,02	4,01	6,03	6,25	4,86	3,44	9,98	12,7
W	0,9	0,8	1	1	0,7	0,6	1,1	1	3,6	0,6	2,4	1,8
Tl	-0,05	-0,05	-0,05	-0,05	0,06	0,06	0,43	0,06	0,05	-0,05	0,11	0,23
La	68	62,5	75,2	88,1	63,1	62,7	92,8	103,8	62,2	38,3	106	138
Th	5,72	5,14	6,48	6,88	4,58	4,53	7,96	8,53	6,56	4	14,7	20,9
U	2,03	1,79	2,16	2,32	1,6	1,51	2,72	2,1	2,33	1,46	5,38	7,76

Análise de Rocha Total - Sistema Vulcânico dos Cinco Picos

Amostra	PV-1	PMT-32	PMT-33	PMT-34	PMT-35	PMT-36	PMT-37	PMT-48	PMT-91
Class.	Havaíto	Havaíto	Basalto	Basalto	Basalto	Mugearito	Havaíto	Havaíto	Basalto
%									
SiO ₂	47,03	47,12	46,83	46,34	46,86	51,22	47,76	47,52	46,77
Al ₂ O ₃	15,00	14,81	14,94	14,75	15,04	15,46	15,04	14,85	14,47
Fe ₂ O ₃	13,29	13,43	13,33	13,34	13,58	11,31	13,44	13,08	14,35
MnO	0,202	0,20	0,20	0,20	0,20	0,22	0,21	0,22	0,206
MgO	4,63	4,63	4,54	4,86	4,55	3,27	3,89	4,17	4,91
CaO	9,16	9,19	9,06	9,54	9,06	7,10	8,07	8,43	9,76
Na ₂ O	3,59	3,50	3,32	3,34	3,33	4,64	3,76	4,08	3,42
K ₂ O	1,45	1,45	1,41	1,37	1,42	1,83	1,43	1,46	1,10
TiO ₂	3,723	3,88	3,78	4,12	3,70	2,99	3,86	3,53	4,052
P ₂ O ₅	0,72	0,77	0,72	0,95	0,70	1,19	0,80	1,68	0,63
LOI	0,29	-0,02	0,45	0,16	0,49	-0,13	1,14	0,04	-0,27
TOTAL	99,07	98,97	98,58	98,96	98,94	99,09	99,39	98,97	99,40
ppm									
Sc	22	21	22	21	21	12	18	17	25
Ag	1,1	-0,3	-0,3	-0,3	-0,3	0,4	0,3	-0,3	1,1
Cd	0,5	-0,3	-0,3	-0,3	0,5	-0,3	0,3	-0,3	1,2
Cu	29	34	44	29	42	11	16	16	29
Ni	20	14	18	9	19	-1	-1	-1	18
Pb	-3	6	-3	3	-3	-3	-3	-3	-3
Zn	107	112	114	107	114	78	111	95	103
Bi	2	8	3	5	8	5	7	4	-2
V	344	372	345	351	359	143	272	253	393
Cr	-20	-20	-20	-20	-20	-20	-20	-20	-20
Co	36	37	35	34	37	12	29	21	44
Ga	22	23	21	22	22	22	22	22	21
Ge	1,8	1,5	1,5	1,4	1,3	1,4	1,5	1,4	1,8
Rb	26	27	25	27	28	39	25	25	19
Sr	526	585	549	655	557	598	565	657	593
Y	33,6	41,7	39,4	38,6	37,4	47,3	39,2	50	33,1
Zr	226	240	222	223	237	288	221	208	190
Nb	62,9	57,6	53,8	56,6	55,3	65,1	52,9	54,3	56,4
Mo	-2	-2	-2	-2	-2	-2	-2	-2	-2
Sn	7	5	2	2	2	2	2	2	6
Cs	0,2	-0,1	-0,1	0,1	0,1	-0,1	-0,1	-0,1	-0,1
Ba	423	430	420	424	443	538	504	686	425
La	39,8	53,5	55,1	53,9	49,1	62,5	45,8	79,8	36,2
Ce	82,1	106	96,9	108	96,2	124	87,7	149	69
Pr	10,2	13	13	13,4	11,8	15,2	11,7	20	8,99
Nd	42,8	54,4	53,8	56,4	48,7	63,6	49,8	86	38,9
Sm	9,44	12	11,7	12,2	10,6	13,7	11,2	18,4	8,67
Eu	3,09	3,85	3,68	3,97	3,4	4,39	3,9	6,52	3,09
Gd	8,99	10,7	10,5	10,8	9,46	12,4	10,2	16,5	8,57
Tb	1,36	1,7	1,67	1,65	1,52	1,9	1,58	2,4	1,26
Dy	7,23	8,98	8,81	8,73	8,03	9,95	8,32	11,9	6,69
Ho	1,34	1,67	1,65	1,6	1,51	1,86	1,53	2,18	1,25
Er	3,81	4,3	4,21	4,03	3,9	4,67	3,83	5,21	3,48
Tm	0,499	0,582	0,577	0,528	0,537	0,634	0,502	0,647	0,435
Yb	2,96	3,39	3,3	3,06	3,09	3,69	3,05	3,77	2,58
Lu	0,407	0,477	0,448	0,42	0,431	0,501	0,406	0,499	0,365
Hf	6	6,3	6	6	6,1	7,3	5,8	5,7	5,4
Ta	3,61	4,01	3,78	3,99	3,74	4,38	3,57	3,66	2,87
W	1,6	-0,5	-0,5	-0,5	-0,5	-0,5	-0,5	-0,5	-0,5
Tl	-0,05	-0,05	-0,05	-0,05	-0,05	-0,05	-0,05	-0,05	-0,05
La	39,8	53,5	55,1	53,9	49,1	62,5	45,8	79,8	36,2
Th	3,54	3,36	3,2	3,3	3,59	4,48	3,1	3,16	2,72
U	0,82	0,87	0,92	0,85	1	1,48	1	0,93	0,87

Análise de Rocha Total - Sistema Vulcânico do Pico Alto

Amostra	PMT-41	PMT-50	PMT-96	PMT-103	PMT-116	PMT-117	PMT-119
Class.	Traquito						
%							
SiO ₂	65,73	66,30	65,73	65,84	66,87	67,31	66,27
Al ₂ O ₃	11,56	13,13	10,33	12,39	10,58	10,11	11,75
Fe ₂ O ₃	7,69	6,33	8,44	7,13	8,38	8,71	7,73
MnO	0,295	0,231	0,300	0,271	0,301	0,309	0,290
MgO	0,17	0,46	0,54	0,29	0,13	0,18	0,22
CaO	0,58	0,58	0,77	0,65	0,46	0,44	0,57
Na ₂ O	6,71	6,28	5,66	6,80	7,40	7,00	6,91
K ₂ O	4,31	4,53	3,87	4,33	4,23	4,22	4,34
TiO ₂	0,518	0,501	0,501	0,496	0,489	0,495	0,526
P ₂ O ₅	0,05	0,05	0,04	0,05	0,04	0,04	0,03
LOI	1,23	0,81	2,65	0,74	-0,05	0,33	0,55
TOTAL	98,83	99,20	98,82	99,00	98,83	99,15	99,19
ppm							
Sc	2	2	2	3	2	2	3
Ag	3,3	3,7	4,6	2,9	4,3	4,8	3,3
Cd	0,6	0,8	0,9	0,7	1,2	1,3	0,5
Cu	4	6	5	3	4	4	3
Ni	-1	-1	-1	-1	-1	-1	1
Pb	21	21	22	14	21	22	17
Zn	295	244	357	252	367	371	260
Bi							
V	-5	-5	6	-5	-5	-5	-5
Cr							
Co	-1	-1	-1	-1	-1	-1	-1
Ga	39	38	38	39	38	40	39
Ge	2,8	2,7	2,6	2,4	3	3,2	2,6
Rb	146	163	138	135	180	196	145
Sr	2	14	17	9	4	6	4
Y	103	107	132	91	131	141	83
Zr	1089	1254	1473	980	1455	1571	1088
Nb	238	258	314	227	304	332	241
Mo							
Sn	17	20	20	16	21	23	17
Cs	1,1	0,4	1,3	1,1	1,7	1,8	0,4
Ba	48	114	82	76	56	75	53
La	144	148	187	128	184	197	100
Ce	274	276	369	246	360	392	202
Pr	30	30,1	38,5	27,3	38	40,9	23,2
Nd	110	105	137	99,6	136	146	85,2
Sm	22,2	21,2	28	20,1	27,8	29,6	18,3
Eu	2,94	2,76	3,69	2,64	3,61	3,87	2,45
Gd	20	19	25	17,7	24,8	26,2	16,8
Tb	3,43	3,34	4,34	3,07	4,34	4,66	2,92
Dy	19,9	19,6	25,4	17,7	25,2	27,3	17,2
Ho	3,92	3,94	5,12	3,48	5,03	5,42	3,47
Er	11,9	12,2	15,5	10,6	15,3	16,6	10,2
Tm	1,7	1,8	2,24	1,49	2,18	2,35	1,54
Yb	10,4	10,9	13,4	9,17	13,3	14,2	9,47
Lu	1,47	1,55	1,88	1,31	1,84	2,01	1,38
Hf	26	30,6	35,8	23,6	35,2	38,6	26,5
Ta	13,8	14,7	17,7	12,1	17,5	18,9	13,5
W	2,3	2,2	2,3	2,4	3,8	4,4	1,1
Tl	0,33	0,17	0,34	0,22	0,4	0,38	0,06
La	144	148	187	128	184	197	100
Th	18,4	22,1	24,9	16,2	24,4	26,8	15,4
U	6,26	7,53	8,52	5,53	8,3	9,11	5,86

Classificação Normativa - Sistema Vulcânico Fissural

Amostra	PMT-3	PMT-4	PMT-5	PMT-8	PMT-9	PMT-13	PMT-14	PMT-15	PMT-18	PMT-19	PMT-21	PMT-24	PMT-27	PMT-28
Classif. Le Bas	Basalto	Havaíto												
Quarzo	0,00	0,00	0,00	0,00	0,00	0,00	0,00	0,00	0,00	0,00	0,00	0,00	0,00	0,00
Anortite	19,25	21,00	19,44	22,45	20,43	21,99	22,42	23,24	20,19	20,17	20,30	21,14	19,07	18,58
Na ₂ SiO ₃	0,00	0,00	0,00	0,00	0,00	0,00	0,00	0,00	0,00	0,00	0,00	0,00	0,00	18,79
Acmite	0,00	0,00	0,00	0,00	0,00	0,00	0,00	0,00	0,00	0,00	0,00	0,00	0,00	0,00
Diópsido	17,60	19,18	18,38	25,61	22,02	19,05	23,95	22,95	15,29	17,51	18,04	19,47	19,61	11,69
Hiperstena	1,28	1,28	0,21	0,00	0,00	0,00	0,00	0,00	0,00	0,00	1,69	0,71	1,40	1,77
Albite	30,21	27,84	30,29	17,91	23,46	26,78	18,27	19,46	31,00	29,45	29,70	28,01	28,43	35,88
Ortociasse	7,39	6,50	6,97	5,14	5,26	6,97	5,02	5,38	6,80	7,33	6,86	6,97	6,62	8,21
Volastonite	0,00	0,00	0,00	0,00	0,00	0,00	0,00	0,00	0,00	0,00	0,00	0,00	0,00	0,00
Olivina	11,87	12,18	12,62	19,32	18,33	14,86	19,90	19,33	12,99	11,69	12,57	12,27	13,00	5,44
Nefelina	0,00	0,00	0,00	1,66	0,58	0,94	2,98	1,88	0,44	0,00	0,00	0,00	0,00	0,00
Leucite	0,00	0,00	0,00	0,00	0,00	0,00	0,00	0,00	0,00	0,00	0,00	0,00	0,00	0,00
Apatite	2,46	2,09	2,34	0,88	1,76	1,55	0,83	0,93	3,52	2,41	2,25	1,71	1,97	3,04
Cromite	0,00	0,00	0,00	0,00	0,00	0,00	0,00	0,00	0,00	0,00	0,00	0,00	0,00	0,00
Ilmenite	7,05	7,03	6,89	4,67	5,56	5,34	4,35	4,52	6,91	6,88	6,74	6,34	6,69	6,06
Magnetite	2,89	2,91	2,86	2,35	2,60	2,52	2,29	2,31	2,87	2,84	2,68	2,84	3,77	3,76
Hematite	0,00	0,00	0,00	0,00	0,00	0,00	0,00	0,00	0,00	0,00	0,00	0,00	0,00	0,00

continua...

Classificação Normativa - Sistema Vulcânico Fissura

Classificação Normativa - Sistema Vulcânico Fissural

...continuação

Amostra	PMT-90	PMT-97	PMT-98	PMT-101	PMT-Serr-2
Clasif. Le Bas	Havaíito	Basalto	Havaíito	Basalto	Basalto
Quartzo	0,00	0,00	0,00	0,00	0,00
Anortite	17,39	26,58	17,51	22,31	24,92
Na ₂ SiO ₃	0,00	0,00	0,00	0,00	0,00
Acmite	0,00	0,00	0,00	0,00	0,00
Diópsido	12,97	19,15	15,80	20,03	20,05
Hiperstena	12,24	0,00	0,00	0,04	0,16
Albite	32,58	26,12	32,40	26,15	26,32
Ortoclase	8,92	6,15	8,39	5,14	4,25
Volastonite	0,00	0,00	0,00	0,00	0,00
Olivina	1,32	12,11	10,70	15,93	15,89
Nefelina	0,00	0,29	0,05	0,00	0,00
Leucite	0,00	0,00	0,00	0,00	0,00
Apatite	3,31	1,00	3,38	1,92	0,81
Cromite	0,00	0,00	0,00	0,00	0,00
Ilmenite	7,07	5,89	7,50	5,85	5,15
Magnetite	4,20	2,71	4,26	2,62	2,45
Hematite	0,00	0,00	0,00	0,00	0,00

Classificação Normativa - Sistema Vulcânico de Santa Bárbara

continua

Classificação Normativa - Sistema Vulcânico de Santa Bárbara

Classificação Normativa - Sistema Vulcânico dos Cinco Picos

Classificação Normativa - Sistema Vulcânico do Pico Alto

Anexo III – Análise isotópica dos gases nobres

As análises isotópicas dos gases nobres (He e Ne) foram obtidas no *Institut de Physique du Globe de Paris* (IPGP) a partir do espectrómetro de massa ARESIBO I. Este espectrómetro encontra-se associado a linhas de extracção e purificação dos gases, as quais foram desenvolvidas em vidro do tipo Glass S747. A vantagem em utilizar vidro em detrimento de metal no estudo dos gases nobres reside no facto do primeiro promover uma adsorção muito baixa para o Ar, Kr e Xe. Apresenta, contudo, o inconveniente de favorecer a difusão de He e, em menor escala, de Ne, aumentando significativamente o ruído de fundo quando comparado com o obtido nas linhas em metal.

Do ponto de vista experimental, as baixas concentrações de He e Ne normalmente incorporadas nas fases minerais são susceptíveis de inviabilizar uma análise precisa nas linhas fabricadas em vidro como consequência dos elevados “brancos”⁵⁰ que aí se obtêm. Para solucionar esse problema, o Prof. Doutor Manuel Moreira e o Engenheiro André Lecomte instalaram, em 2002, uma linha de purificação e extracção de gases nobres feita em metal (Fig. A.III.1). Esta nova linha permitiu reduzir drasticamente a difusão de He e Ne no percurso que os conduz até ao espectrómetro propriamente dito. O processo de extracção e purificação dos gases encontra-se totalmente automatizado, sendo o seu controle assegurado por um programa informático elaborado em *Labview* pelo Prof. Doutor Manuel Moreira.

A.III.1. A linha de extracção

A extracção dos gases nobres a partir das rochas vulcânicas e/ou minerais nelas incluídos, pode ser realizada através do esmagamento das amostras ou, alternativamente, aquecendo-as até que se atinja o seu ponto de fusão.

⁵⁰ Os “brancos” correspondem a experiências realizadas nas mesmas condições e respeitando os mesmos tempos de medição que os reservados para cada uma das amostras. Como as condições de vácuo nunca são atingidas, as razões isotópicas obtidas nos brancos são similares às razões isotópicas existentes na atmosfera.

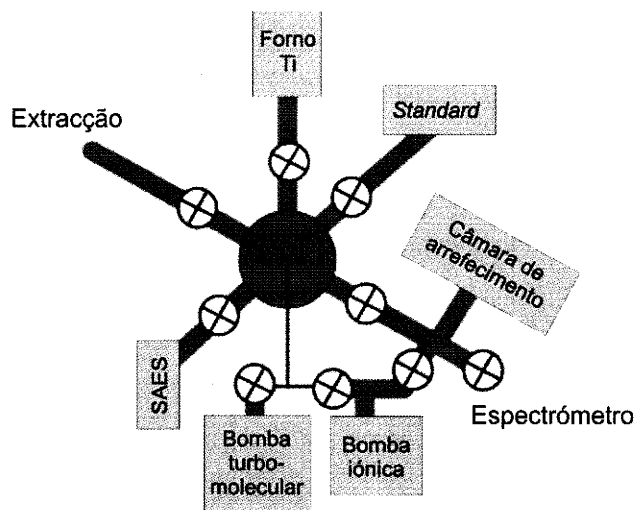


Fig. A.III.1. Esboço esquemático da linha metálica de extração e purificação dos gases raros implantada no espectrómetro de massa ARESIBO I.

O dispositivo para esmagar as amostras consiste num tubo de inox, no interior do qual se coloca a amostra e uma esfera de aço (Fig. A.III.2). Uma vez que a extração dos gases é processada em “vácuo” (com uma pressão de cerca de 10^{-9} torr) o esmagamento é realizado manualmente com o auxílio de um íman exterior ao tubo e ao longo do qual se faz subir e descer a esfera de aço colocada sobre a amostra.

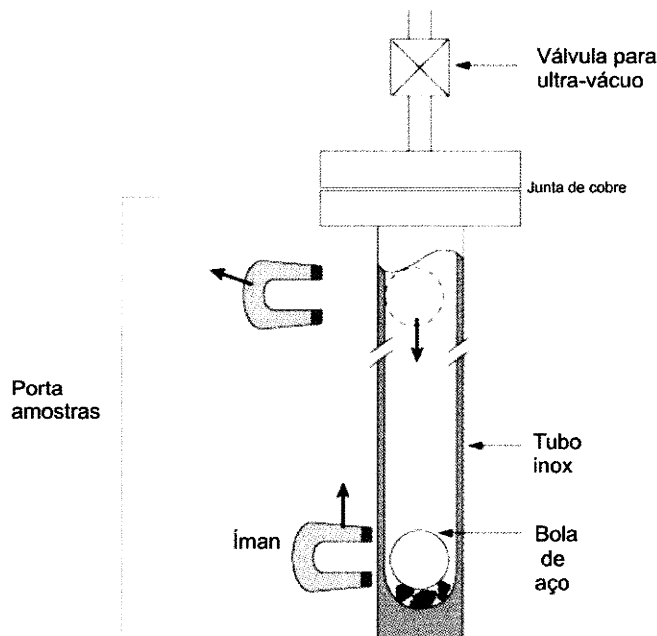


Fig. A.III.2. Esquema ilustrativo do processo de extração dos gases nobres por esmagamento. Na verdade, o esmagamento da amostra não se processa pela queda da esfera de aço sob a acção da gravidade, mas pela força com que a bola é empurrada para baixo sob a influência do íman.

Durante o período nocturno, o tubo de inox onde se processa o esmagamento da amostra a analisar é aquecido por uma resistência (a uma temperatura de cerca de 150-200 °C) de forma a facilitar a remoção dos gases que se possam encontrar adsorvidos nas suas paredes. Evita-se, assim, um eventual efeito de “memória” que possa influenciar os resultados analíticos obtidos para cada amostra.

No processo de fusão, utiliza-se um forno ligado a um gerador de alta-frequência que alimenta uma bobine disposta em torno de um recipiente de molibdénio ou tântalo onde é colocada a amostra. O calor gerado por indução permite que se atinjam temperaturas na ordem dos 1850 °C.

A.III.2. A linha de purificação

A linha de purificação dos gases nobres é constituída por um forno cerâmico, um dispositivo SAES (liga de Zr, Fe e Al) e uma câmara de arrefecimento (Fig. A.III.I). No interior do forno cerâmico encontram-se dispostos fragmentos de Ti metálico que são aquecidos a uma temperatura próxima de 800 °C. A esta temperatura, os fragmentos de Ti reagem com grande parte dos gases reactivos (e.g. CO₂, N₂) partindo as ligações moleculares e formando outras com o Ti (e.g. TiN, TiO) (Moreira, 1997). A menores temperaturas, o Ti é susceptível de aprisionar moléculas de H₂O e parte do hidrogénio, fazendo com que apenas os gases nobres resistam incólumes a este primeiro estádio de purificação. A “armadilha” do tipo SAES é normalmente colocada à temperatura ambiente e a sua função é a de aprisionar o hidrogénio que não foi consumido pelo forno cerâmico. A câmara de arrefecimento funciona como um crióstato arrefecido por He comprimido que permite atingir temperaturas de 15 °K. No interior da câmara são colocados pedaços de carvão activo que permitem a adsorção de todos os gases raros.

A introdução dos gases no espectrómetro é feita sequencialmente, uma vez que os diferentes gases são adsorvidos a diferentes temperaturas pelos pedaços de carvão activo: o Ne é adsorvido a uma temperatura inferior a 65 °K, enquanto que a adsorção do He só se verifica para valores de temperatura inferiores a 18 °K. A entrada dos gases no espectrómetro de massa é ainda antecedida por uma outra “armadilha” constituída por fragmentos de carvão activo, a qual é imersa em azoto líquido de forma a atingir uma temperatura susceptível de aprisionar os gases nobres

pesados (Ar, Kr e Xe) que eventualmente possam ter escapado ao processo de purificação descrito anteriormente.

A.III.3. Espectrómetro de massa

O espectrómetro de massa ARESIBO I é fabricado em pyrex e constituídos por três componentes fundamentais (Fig. A.III.3): 1) uma fonte de iões; 2) um campo magnético e 3) dois sistemas de detecção.

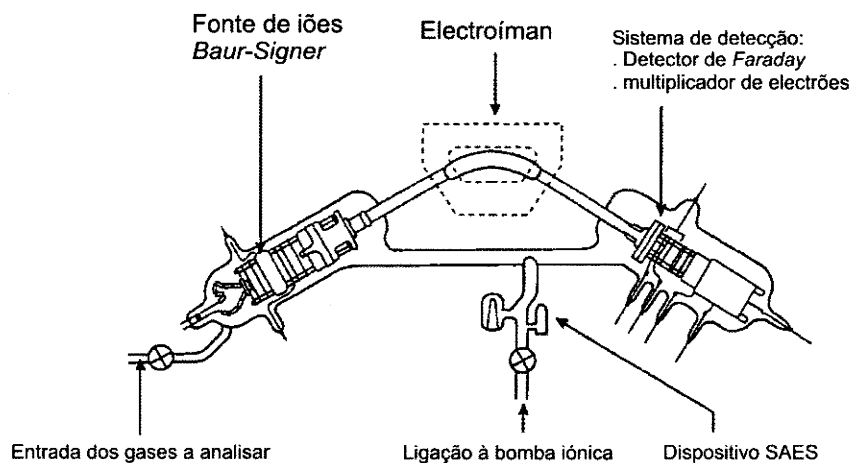


Fig. A.III.3. Esquema onde se encontram representados os diversos componentes que constituem o espectrómetro de massa ARESIBO I (adaptado de Moreira, 1997).

A estrutura da fonte é do tipo *Baur-Signer*, permitindo que o rendimento de ionização seja máximo. A ionização dos gases é assegurada pelo bombardeamento de electrões acelerados pela diferença de potencial existente entre um filamento de tungsténio e a fonte. O campo magnético é gerado por um electroíman, o qual permite separar feixes de iões de diferente massa identificados pelos diferentes raios de curvatura da sua trajectória. A resolução não é contudo suficiente para separar o ${}^3\text{He}^+$ do HD^+ , pelo que existe a necessidade de colocar no interior do espectrómetro um dispositivo do tipo SAES capaz de aprisionar o hidrogénio eventualmente introduzido. Os sistemas de detecção são constituídos por um detector de *Faraday* e um multiplicador de electrões que permite aumentar a sensibilidade para pequenos sinais. Cada sistema de detecção comporta ainda um amplificador de sinal e duas resistências que transformam a corrente nos valores de tensão medidos.

Acresce mencionar que a sensibilidade dos espectrómetros, no que diz respeito aos detectores e à discriminação de massa, é controlada periodicamente através da medição de um *standard* (Fig. A.III.1) para o qual as razões isotópicas dos vários gases são conhecidas.

A.III.4. Tratamento de resultados

Os valores de tensão são medidos em vários ciclos para cada isótopo e guardados directamente em suporte informático, sendo o tratamento estatístico assegurado por um programa escrito em MATLAB pelo Prof. Doutor Manuel Moreira. A dificuldade prende-se com a variação do sinal sistematicamente observada para cada isótopo analisado. Com efeito, a tensão medida varia em função da quantidade de gás consumida pelo processo de ionização, adsorvida pelas e difundida através das paredes de vidro dos espectrómetros. Assim, é necessário extrapolar a curva de evolução da tensão medida para o instante em que o gás é introduzido no espectrómetro. O problema quanto à extrapolação consiste no modelo escolhido, o qual pode ser do tipo linear, polinomial, exponencial, etc.

Um outro problema a resolver na fase de tratamento dos resultados diz respeito à existência de sobreposição de picos de tensão. Em sentido restrito, o espectrómetro de massa permite apenas a separação de feixes com diferentes razões q/M (sendo q a carga do ião e M a sua massa). Assim, verifica-se a ocorrência de sobreposição entre o $^{22}\text{Ne}^+$ e o CO_2^{++} ($q/M = 1/22$), entre o $^{20}\text{Ne}^+$ e o $^{40}\text{Ar}^{++}$ ($q/M = 1/20$) e entre o $^3\text{He}^+$ e o HD^+ ($q/M = 1/3$). Tomando como exemplo o primeiro caso, é possível escrever:

$${}^{22}\text{Ne}_{medido}^+ = {}^{22}\text{Ne}_{real}^+ + \text{CO}_2^{++}$$

Para conhecer o valor real de ${}^{22}\text{Ne}$ considera-se a seguinte equação:

$${}^{22}\text{Ne}_{real}^+ = {}^{22}\text{Ne}_{medido}^+ - \text{CO}_2^+_{medido} * (\text{CO}_2^{++} / \text{CO}_2^+) ,$$

correspondendo a razão ($\text{CO}_2^{++}/\text{CO}_2^+$) ao factor de correcção. Os factores de correcção são obtidos a partir da medição de fracções de gás onde existe a certeza da ausência quer de He quer de Ne.

Os resultados são ainda corrigidos face às concentrações e razões isotópicas obtidas durante a realização de um branco que antecede a análise de cada amostra. Durante o período em que decorreu a análise das amostras da ilha Terceira, os valores médios obtidos relativamente aos "brancos" de ${}^4\text{He}$ e ${}^{22}\text{Ne}$ foram iguais a $3.6 \pm 0.7 \times 10^{-10} \text{ cm}^3\text{STP}$ e $1.5 \pm 0.3 \times 10^{-13} \text{ cm}^3\text{STP}$ respectivamente (o erro corresponde ao valor de 1σ). Para cada um destes elementos, as razões isotópicas dos "brancos" foram invariavelmente similares às razões atmosféricas. Para o mesmo período, o sinal de CO_2^+ e ${}^{40}\text{Ar}^+$ foi próximo de 1000 cps e 150 cps respectivamente. Estes valores implicam um sinal de ~ 8 cps para o CO_2^{++} e ~ 15 cps para ${}^{40}\text{Ar}^{++}$ que correspondem, de um modo geral, a uma pequena percentagem do sinal obtido para o Ne (normalmente ${}^{20}\text{Ne} > 1000$ cps nas amostras analisadas). A concentração média de ${}^{22}\text{Ne}$ obtida nos "brancos" corresponde a uma percentagem variável entre 2 e 75% do mesmo isótopo analisado nas várias amostras.

Anexo IV – Obtenção de concentrados minerais

A obtenção de concentrados minerais, tendo em vista a realização de análises isotópicas de He e Ne, foi conseguida através do tratamento faseado das várias amostras de lava:

- 1) Partição das amostras na prensa hidráulica, com a obtenção de fragmentos de rocha com cerca de 16-20 cm³;
- 2) Partição no moinho de maxilas, resultando na desagregação dos vários fragmentos em grãos da dimensão máxima do areão. Após cada passagem no moinho, as amostras foram peneiradas através de um crivo com 2 mm de diâmetro de forma a separar os cristais de maior dimensão evitando, assim, que estes fossem partidos durante as passagens subsequentes;
- 3) Separação das amostras em várias fracções granulométricas. Tendo em conta a dimensão dos fenocristais de olivina (e de clinopiroxena, no caso da amostra PMT-24) observados quer em amostra de mão quer em lâmina delgada, cada uma das amostras foi peneirada com a seguinte sequência de crivos: 1, 1.4, 2 e 4 mm;
- 4) Os cristais de olivina foram posteriormente extraídos à mão (recorrendo a uma pinça de precisão) com o auxílio de uma mesa de luz. A cor verde a amarela destes minerais translúcidos torna-os facilmente identificáveis, permitindo acelerar o processo de remoção. No entanto, a extracção dos cristais de olivina significou, em média, cerca de 1h30m para cada fracção granulométrica.
- 5) Observação à lupa binocular dos concentrados minerais. Nesta fase foram removidos todos os cristais que ainda contactassem com matriz de rocha abundante, aqueles onde eram visíveis fracturas intragranulares, os que evidenciavam sintomas de alteração para idingsite e ainda todos os cristais cuja forma evidenciasse um crescimento do tipo esquelético. Uma vez que as diferenças compostionais da olivina são susceptíveis de produzir cristais de cor diferente, nesta fase tentou-se sempre que possível formar agregados minerais relativamente homogéneos (Fig.

IV.1). No que respeita a cor, a maior parte dos cristais de olivina possuía uma cor verde amarelada. Importa, contudo, salientar que em praticamente todos os concentrados era possível distinguir cristais de olivina de cor castanha e, mais raramente, de cor verde clara;

6) Lavagem dos concentrados minerais imersos em água destilada na cuba de ultra-sons. Este processo foi sistematicamente repetido até se obter água límpida e sem poeiras em suspensão.

7) Imersão dos concentrados minerais em ácido fluorídrico (HF) durante 15 a 30 minutos. Este procedimento permitiu dissolver os primeiros micrões dos cristais de olivina que estiveram em contacto com a matriz da lava excluindo, assim, a hipótese de reter uma componente radiogénica implementada a partir da vizinhança (*recoil effect*);

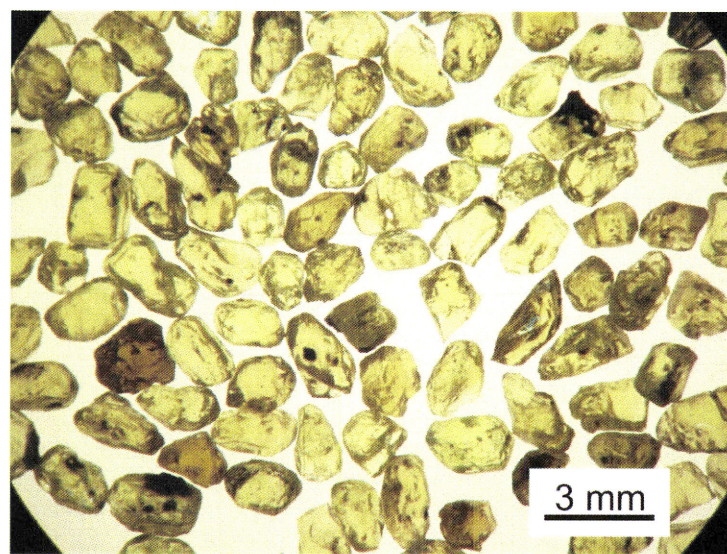


Fig. IV.1. Concentrado de fenocristais de olivina observado à lupa (luz transmitida). Nesta fase de preparação é ainda possível reconhecer uma certa heterogeneidade no que diz respeito à cor.

8) Lavagem dos concentrados minerais imersos em etanol na cuba de ultra-sons;

9) Lavagem dos concentrados minerais com acetona. Após esta fase, os concentrados minerais foram novamente observados à lupa binocular e comprovado o elevado grau de pureza e homogeneidade.

A maior parte dos concentrados finais foram preparados de forma a apresentarem um peso mínimo de ~ 0.7 g, tendo em vista a obtenção de uma boa precisão nos resultados analíticos. Refira-se que este valor é próximo do limite superior (~1 g) admitido pelo tubo de inox e acima do qual se perde grande parte da eficiência de esmagamento. A maior parte dos concentrados de olivina analisados eram formados por cristais de diâmetro entre 1 e 1.4 mm. Em algumas amostras foi possível observar a ocorrência de cristais com diâmetros superiores (por vezes até 4 mm), mas sempre em quantidade insuficiente para viabilizar a sua análise. A vantagem em analisar as fracções granulométricas de maior dimensão reside na probabilidade de cristais maiores poderem aprisionar um maior volume de inclusões de *melt* aumentando, assim, a concentração de gases nobres introduzida no espectómetro e reduzindo erro analítico.